

REGIONE MOLISE



PROVINCIA DI CAMPOBASSO



COMUNE DI GUGLIONESI



Denominazione impianto:

CONTRADA DEL FICO

Ubicazione:

**Comune di Guglionesi (CB)
Località "Contrada del Fico"**

Fogli: 85

Particelle: varie

PROGETTO DEFINITIVO

per la realizzazione di un impianto agrovoltaico da ubicare in agro del comune di Guglionesi (CB) in località "Contrada del Fico", potenza nominale pari a 45,60 MW in DC, e delle relative opere di connessione alla RTN ricadenti nei comuni di Guglionesi (CB), Palata (CB) e Montecilfone (CB).

PROPONENTE



MYT RENEWABLES DEVELOPMENT 5 S.R.L.

Piazza Fontana n. 6 - 20122 Milano (MI)
P.IVA 13075240963
PEC: mytdevelopment5srl@legalmail.it

ELABORATO

Documentazione Fotografica ante e post operam

Tav. n°

12.DF

Scala

Aggiornamenti	Numero	Data	Motivo	Eseguito	Verificato	Approvato
	Rev 0	Marzo 2024	Richiesta integrazione MIC_SS-PNRR con nota prot. 0023331-P dell'11/10/2023			

PROGETTAZIONE

Dott. Ing. ANTONIO ALFREDO AVALLONE
Contrada Lama n.18 - 75012 Bernalda (MT)
Ordine degli Ingegneri di Matera n. 924
PEC: grmgroupsrl@pec.it
Cell: 339 796 8183



IL TECNICO

Dott. Forestale ALFONSO TORTORA
Potenza (PZ) - 85100
Via Francesco Torraca n.102
Ordine dei Dott. Agronomi e Dott. Forestali della provincia di Potenza n.306



Spazio riservato agli Enti

FOTOINSERIMENTI

Scelta dei punti di presa

L'individuazione e la scelta dei punti di presa si è articolata in base a quanto previsto dal D.Lgs. 22/01/2004 n.24 art.146, comma 2 "Codice dei Beni Culturali e del Paesaggio".

I punti di osservazione e di rappresentazione fotografica dello stato attuale dell'area d'intervento e del rispettivo contesto paesaggistico, sono stati individuati e ripresi da luoghi di normale accessibilità e da percorsi panoramici, dai quali è possibile cogliere con completezza le fisionomie fondamentali del territorio.

Inoltre, tali punti, sono stati presi tenendo conto soprattutto della vincolistica presente nell'area come quella Paesaggistica, tra cui fiumi, torrenti e corsi d'acqua (art. 142 let. c) foreste e boschi (art. 142 let. g) laghi ed invasi artificiali (art. 142 let. b) oppure beni d'interesse archeologico (art. 10), tratturi (art. 10) e beni monumentali (art. 10).

In base a quanto sopra documentato, ovvero in base all'intervisibilità potenziale, luoghi di normale accessibilità e percorsi panoramici, nonché la vincolistica, sono stati individuati i punti di presa fotografici dai quali si è poi proceduto ad eseguire le simulazioni post operam attraverso lo strumento del rendering fotografico anche definito foto inserimento.

Documentazione fotografica e simulazione intervento

Uno dei primi documenti che vengono realizzati per documentare lo stato dei luoghi e avere una traccia dello stato di fatto è il report fotografico.

Tale documentazione risulta essere la forma in assoluto la più oggettiva possibile dato che si tratta di una mera riproduzione di quello che esiste nel contesto in cui è inserito. Questa caratteristica delle fotografie ha indotto il legislatore ad utilizzare tale documento anche per creare virtualmente lo stato post operam, cercando in tal modo di minimizzare la soggettività degli operatori.

Nello specifico, ottenuta l'intervisibilità, ovvero le aree dalle quali è possibile vedere l'impianto in progetto, il passo successivo è quello di individuare i punti dai quali scattare le foto per eseguire le foto inserimenti come da indicazioni contenute nell'allegato 4 del DM del 10/08/2010.

Infatti, nel Decreto Ministeriale viene detto che la simulazione delle modifiche proposte, deve essere eseguita attraverso lo strumento del rendering fotografico che illustri la situazione post operam. Il rendering deve avere, almeno, i seguenti requisiti:

- essere realizzato su immagini reali ad alta definizione;
- essere realizzato in riferimento a punti di vista significativi;
- essere realizzato su immagini realizzate in piena visibilità (assenza di nuvole, nebbia, ecc.);
- essere realizzato in riferimento a tutti i beni immobili sottoposti alla disciplina del D. Lgs. n.42/2004 per gli effetti di dichiarazione di notevole interesse e notevole interesse pubblico.

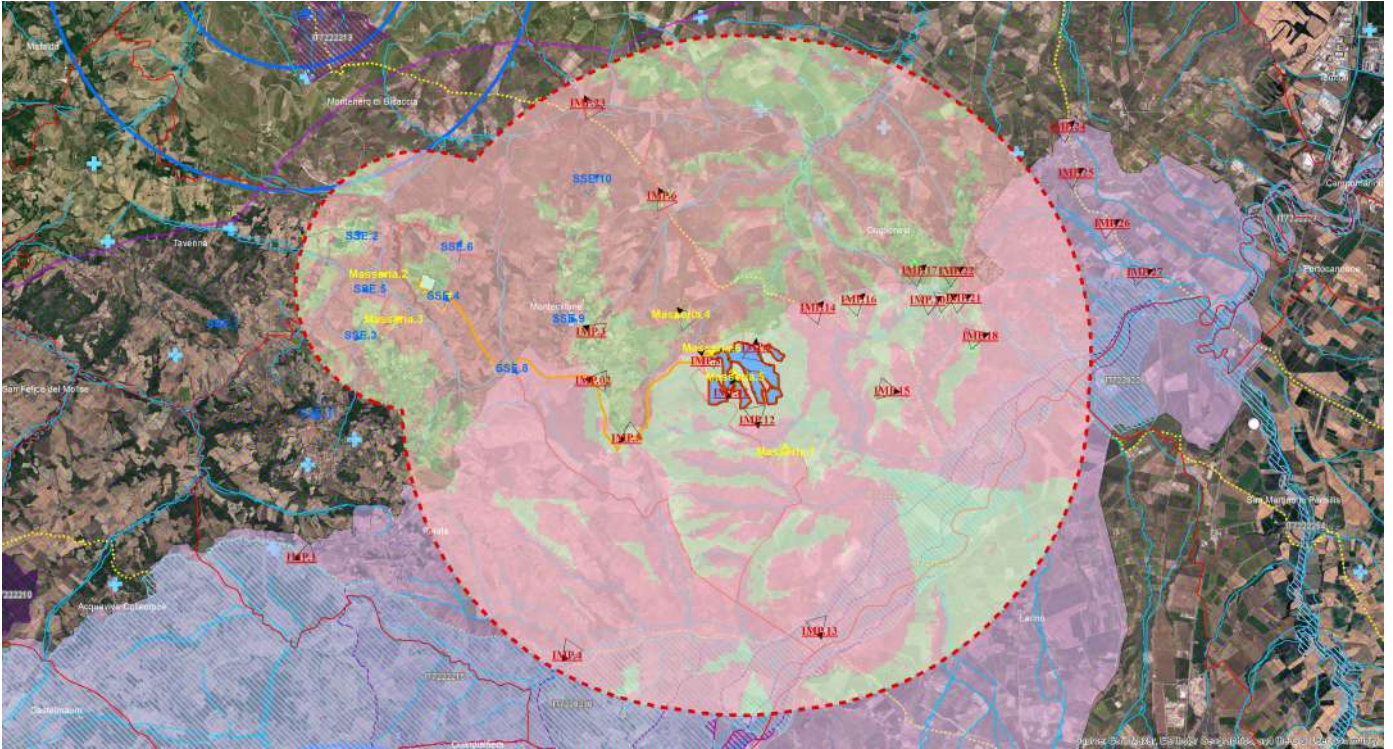
Dalla combinazione dei beni vincolati nell'area di analisi e delle aree in cui risulta presente intervisibilità si procede a scegliere i punti di presa fotografica in modo da ottemperare a quanto richiesto dal decreto.

Gli elaborati appena descritti, prodotti con vari gradi di dettaglio, sono stati utilizzati in campo per potersi muovere agevolmente e avere riferimenti sicuri e precisi ed essere certi di individuare correttamente i punti dai quali scattare le foto, che successivamente verranno elaborate per produrre le simulazioni o foto inserimenti o, come definiti dal decreto ministeriale, rendering fotografici.

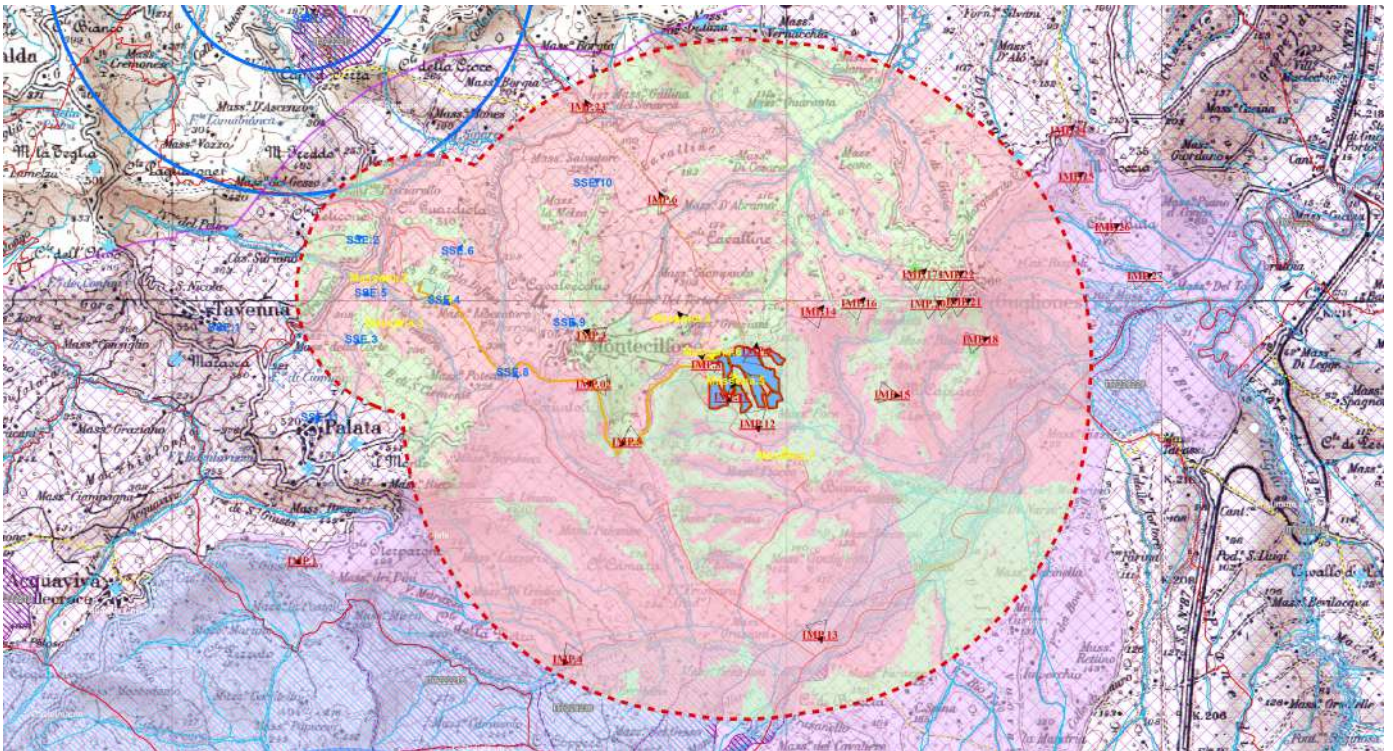
Dalle foto ottenute, scattate dai punti sopra indicati, si è proceduto a predisporre i rendering fotografici con inserito, nel contesto territoriale rappresentato nella foto, l'impianto in progetto, in modo da simulare quello che un ipotetico osservatore vedrebbe se l'impianto fotovoltaico venisse realizzato.

Ovviamente, nonostante i punti scelti tengono conto delle aree in cui vi sia intervisibilità diretta, trattandosi di intervisibilità potenziale, all'atto pratico, in talune zone, l'intervisibilità fra punto di presa e impianto non esiste, vuoi per ostacoli, piccole ondulazioni del terreno, formazioni arboree, ecc.

Tavola dei Punti di Presa



- Inquadramento Vincolistico su Ortofoto



- Inquadramento Vincolistico su IGM

PUNTI DI PRESA DELL'IMPIANTO

- Punto di Presa n°1

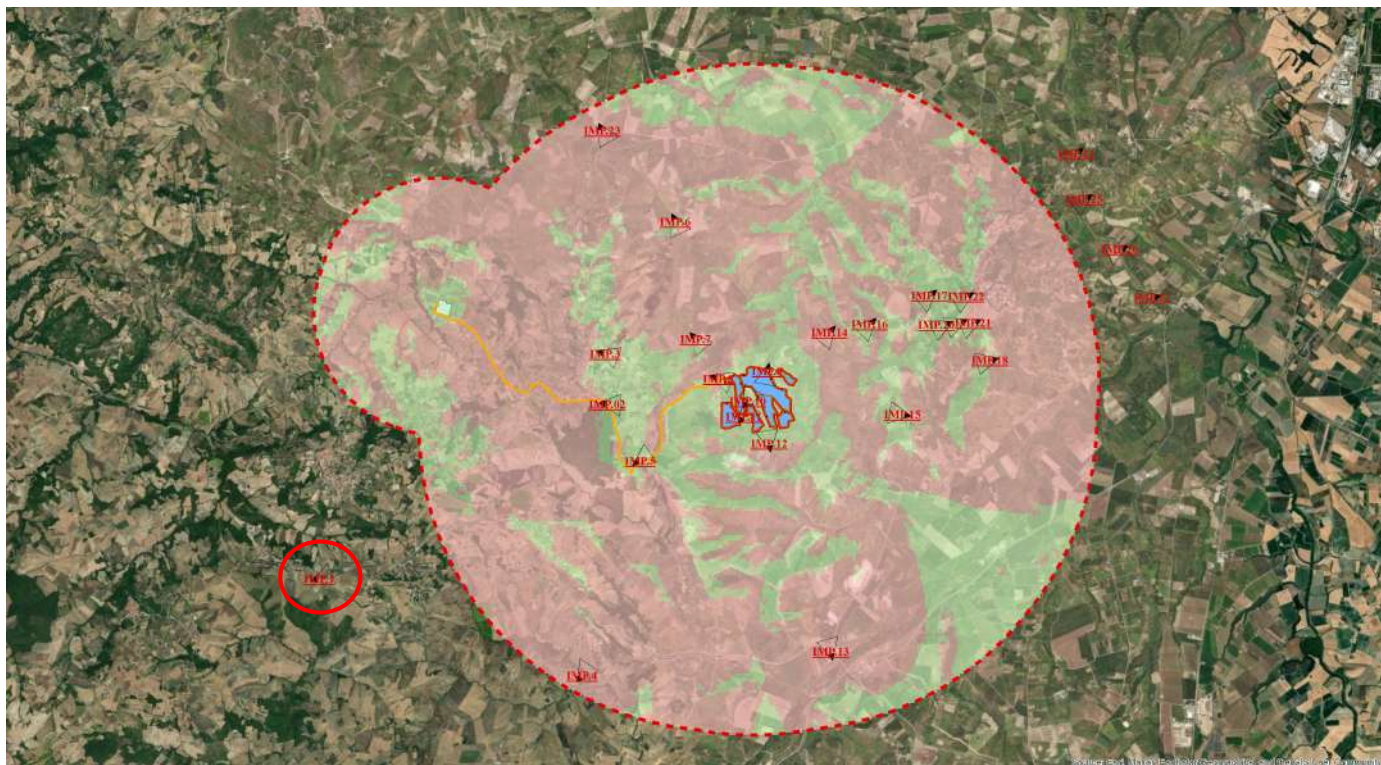


Fig. 1 Inquadramento punto di presa con cono ottico n. 1

Coordinate: 41,87196 - 14,78394

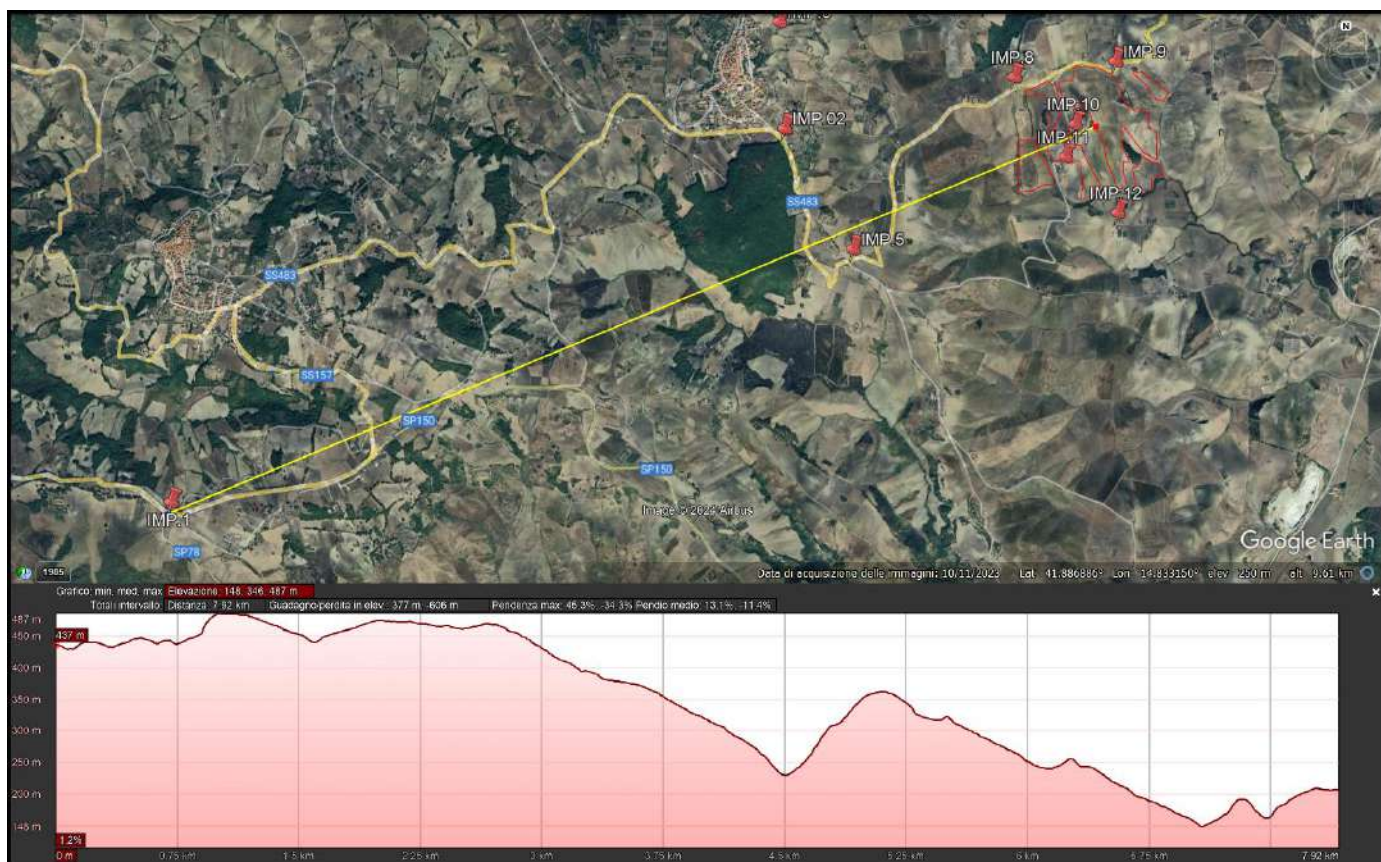


Fig. 2 Punto di presa n. 1 sezione illustrativa della morfologia del terreno

PUNTI DI PRESA DELL'IMPIANTO



Fig. 3 Punto di presa n. 1 stato di fatto (Tratturo Ateleta Biferno Sant'Andrea)



Fig. 4 Punto di presa n. 1 stato di progetto (Tratturo Ateleta Biferno Sant'Andrea)

PUNTI DI PRESA DELL'IMPIANTO

- Punto di Presa n°2

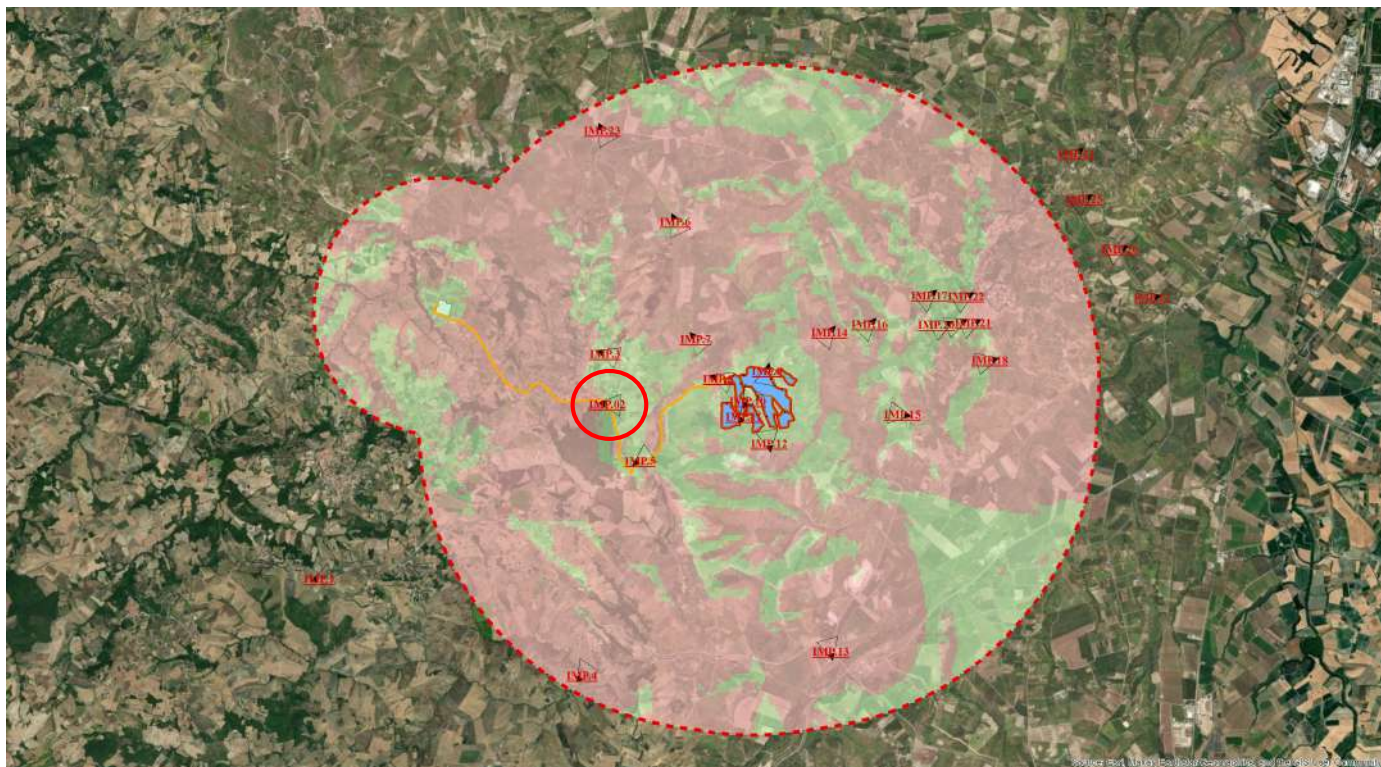


Fig. 5 Inquadramento punto di presa con cono ottico n. 2

Coordinate: 41,89793 - 14,84102

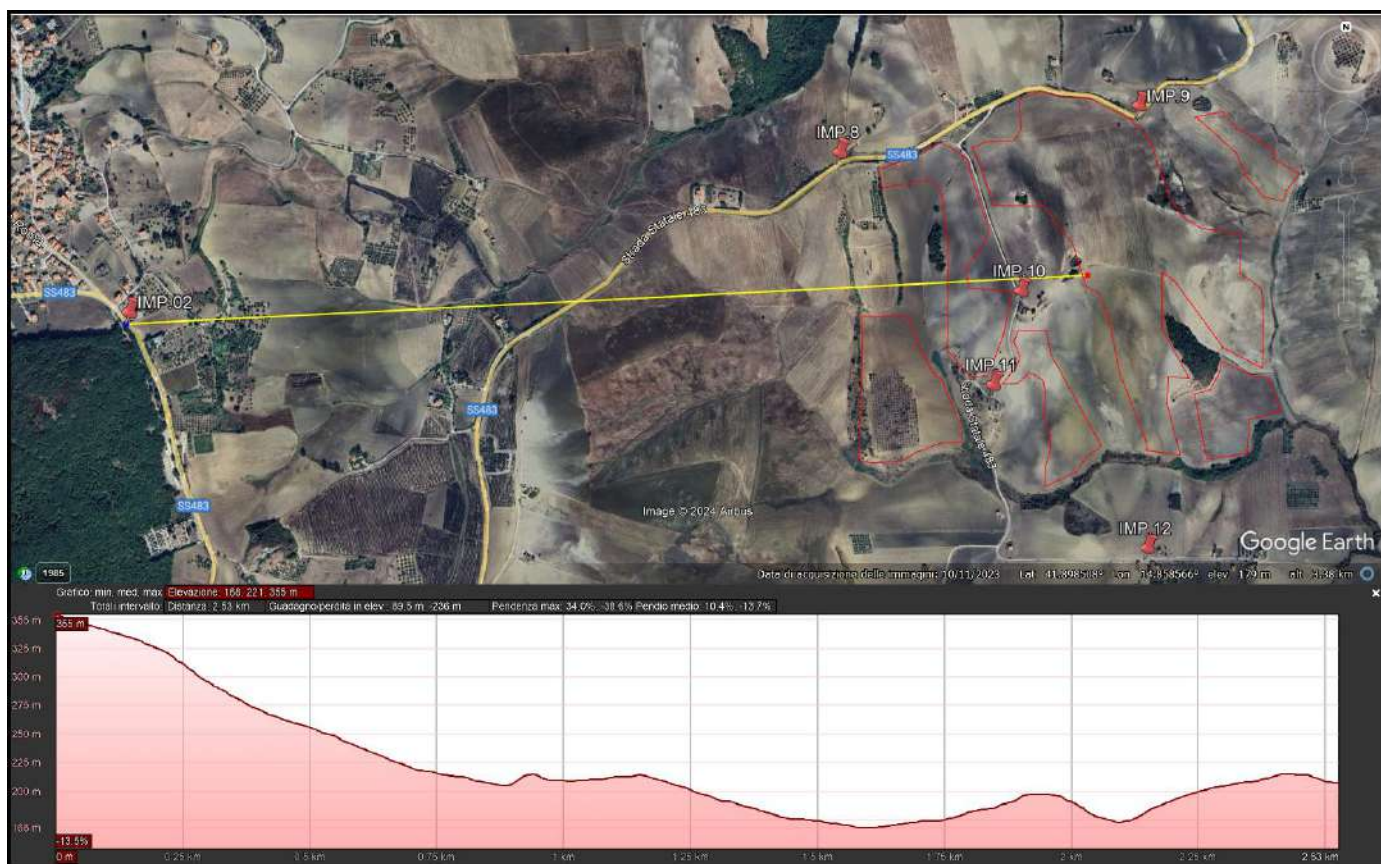


Fig. 6 Punto di presa n. 2 sezione illustrativa della morfologia del terreno

PUNTI DI PRESA DELL'IMPIANTO



Fig. 7 Punto di presa n. 2 stato di fatto (Punto panoramico del comune di Montecilfone & Bosco Coruntoli)



Fig. 8 Punto di presa n. 2 stato di progetto (Punto panoramico del comune di Montecilfone & Bosco Coruntoli)

PUNTI DI PRESA DELL'IMPIANTO

- Punto di Presa n°3

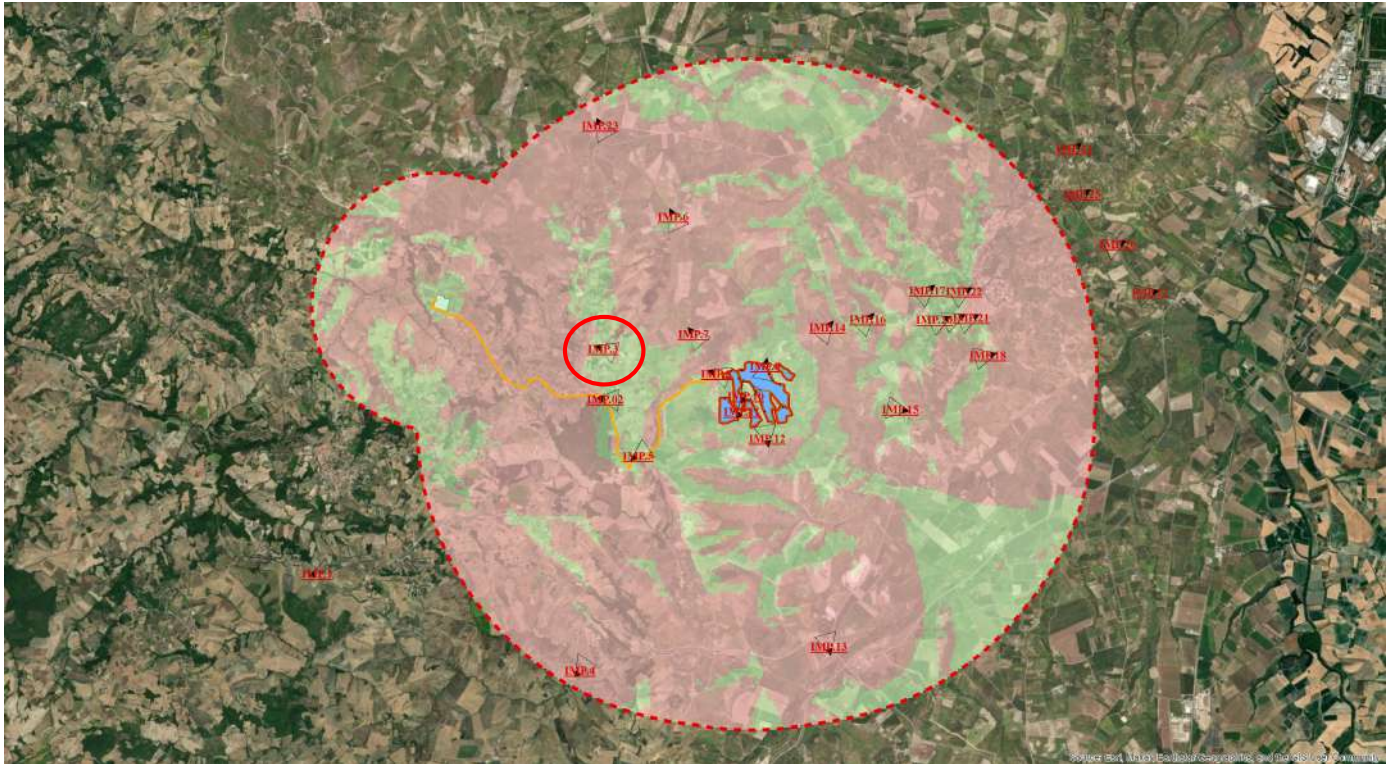


Fig. 9 Inquadramento punto di presa con cono ottico n. 3

Coordinate: 41,90540 - 14,84058

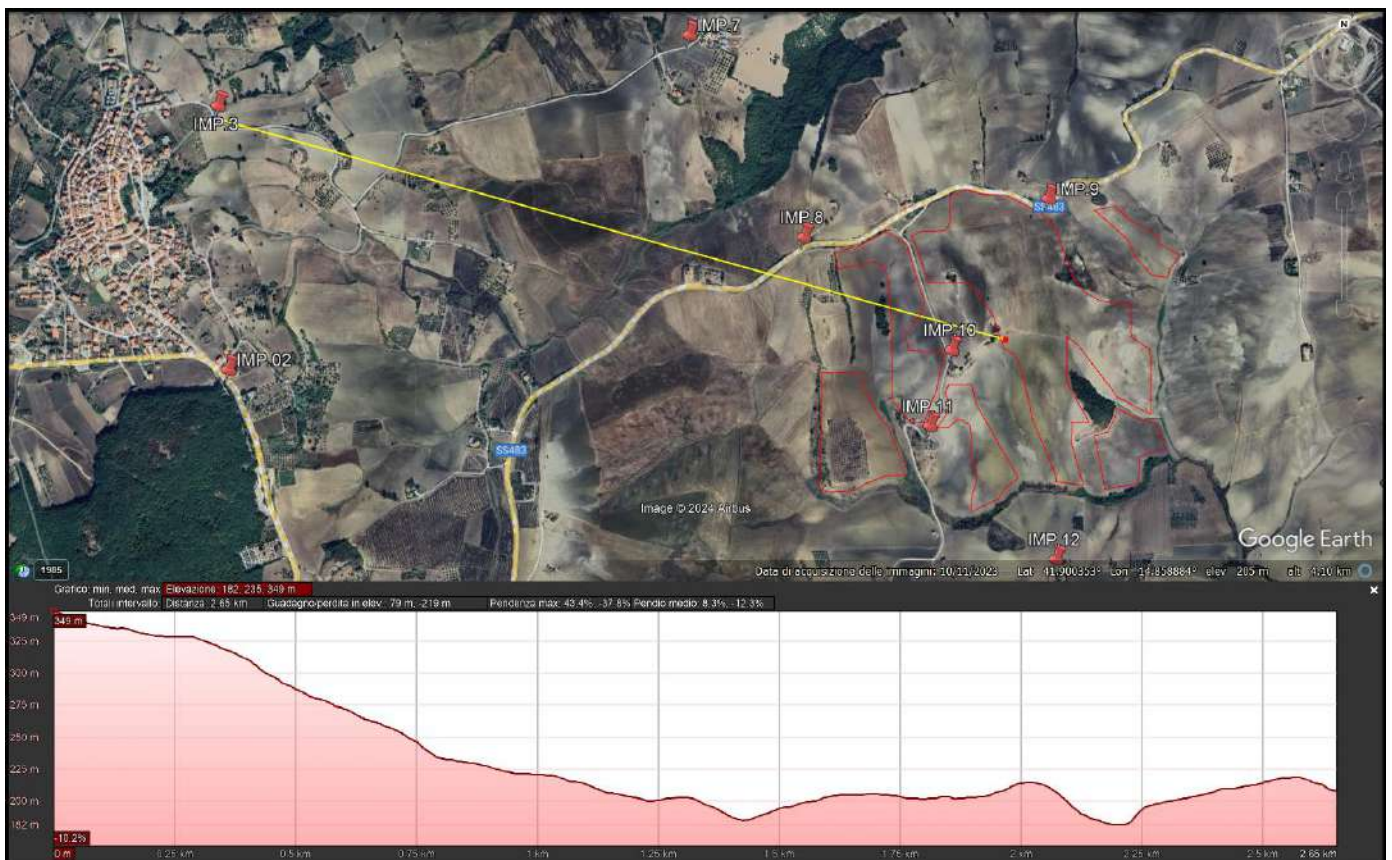


Fig. 10 Punto di presa n. 3 sezione illustrativa della morfologia del terreno

PUNTI DI PRESA DELL'IMPIANTO



Fig. 11 Punto di presa n. 3 stato di fatto (Punto panoramico del comune di Montecilfone)



Fig. 12 Punto di presa n. 3 stato di progetto (Punto panoramico del comune di Montecilfone)

PUNTI DI PRESA DELL'IMPIANTO

- Punto di Presa n°4

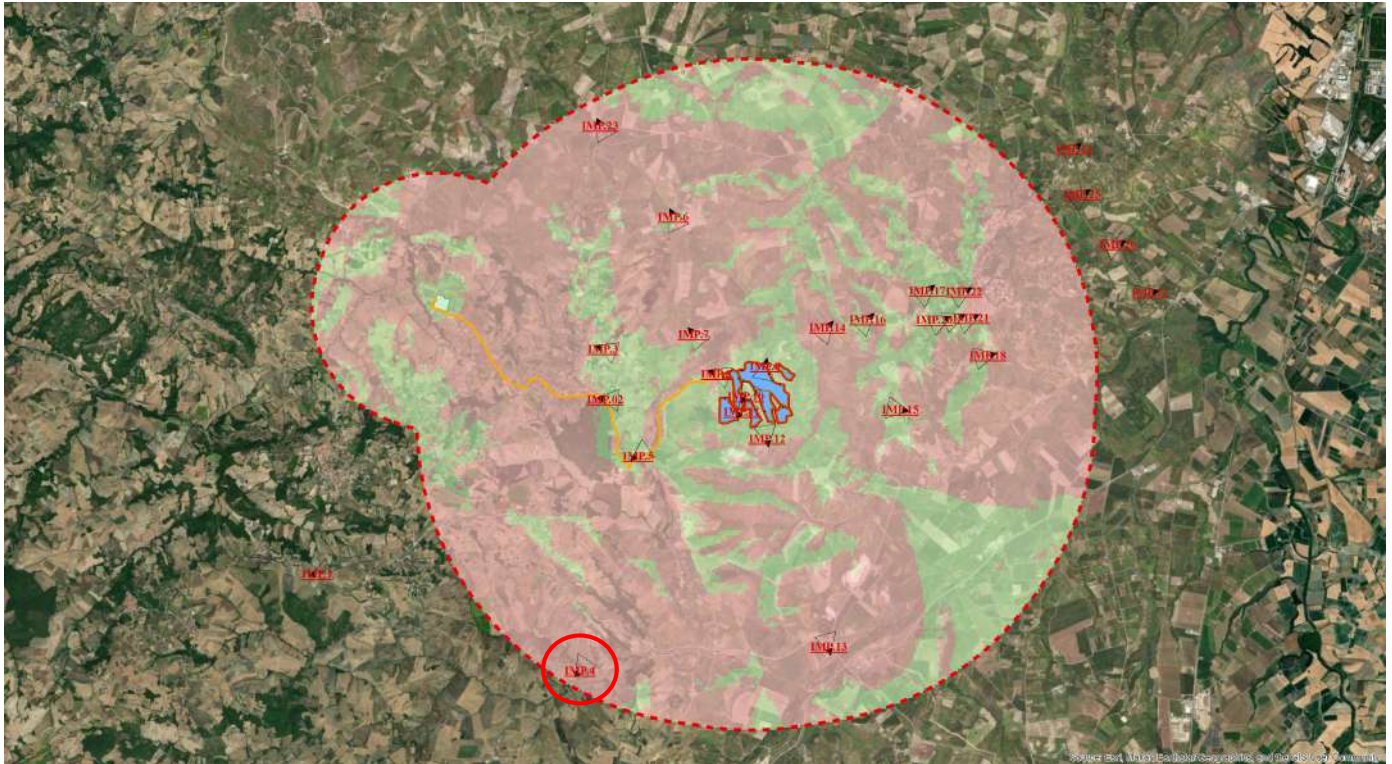


Fig. 13 Inquadramento punto di presa con cono ottico n. 4

Coordinate: 41,85769 - 14,83607

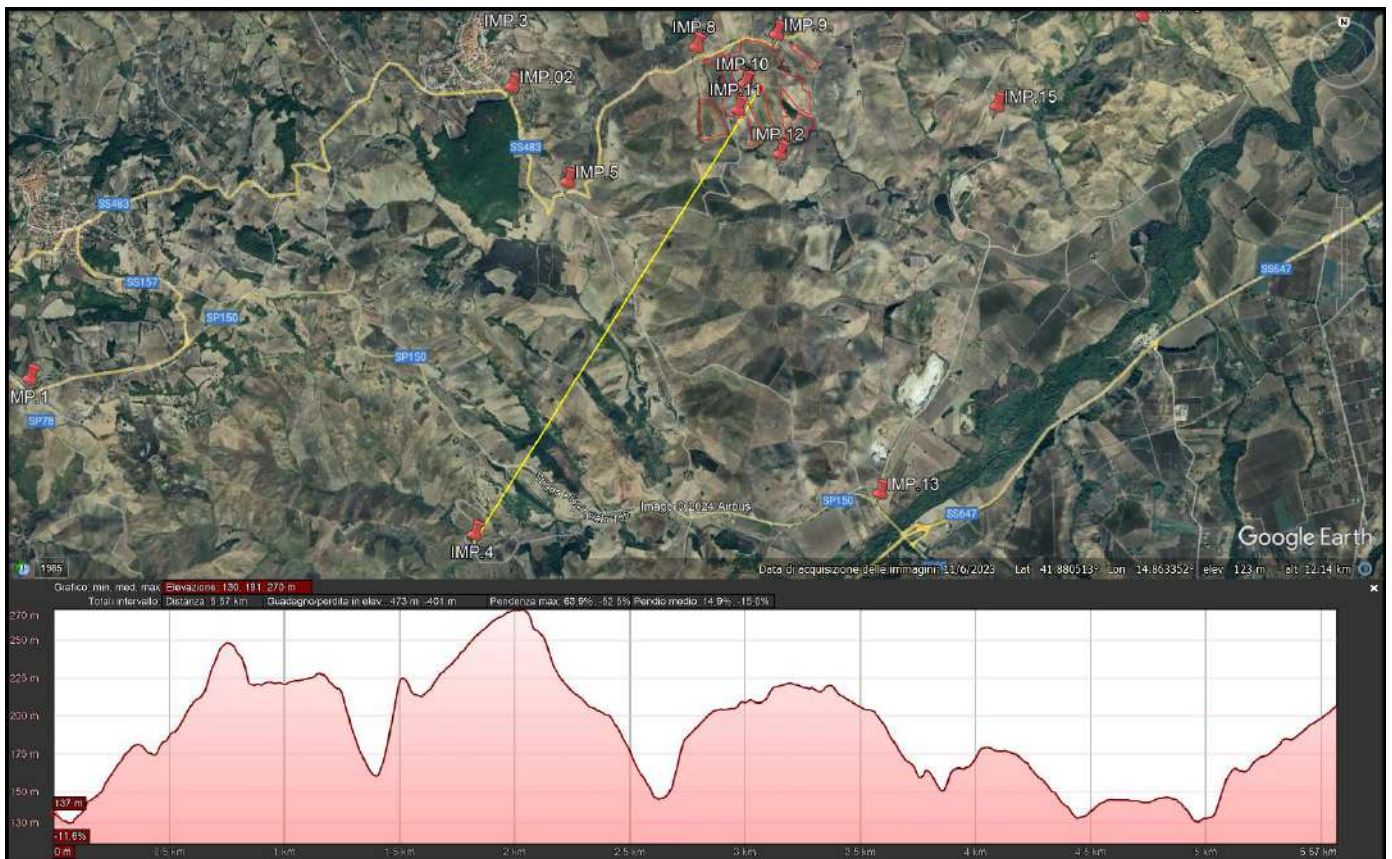


Fig. 14 Punto di presa n. 4 sezione illustrative della morfologia del terreno

PUNTI DI PRESA DELL'IMPIANTO



Fig. 15 Punto di presa n. 4 stato di fatto (Tratturo Ateleta Biferno Sant'Andrea)



Fig. 16 Punto di presa n. 4 stato di progetto (Tratturo Ateleta Biferno Sant'Andrea)

PUNTI DI PRESA DELL'IMPIANTO

- Punto di Presa n°5

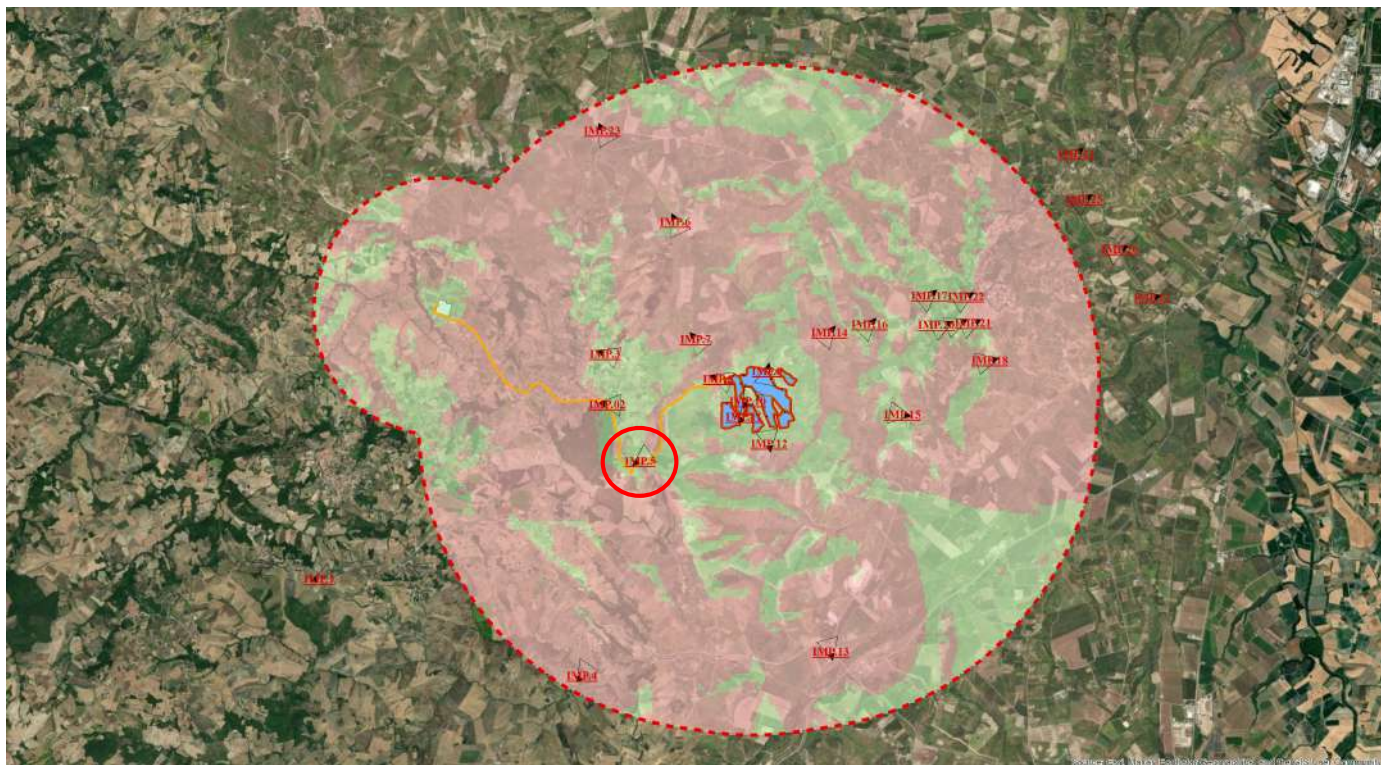


Fig. 17 Inquadramento punto di presa con cono ottico n. 5

Coordinate: 41,88952 - 14,84756

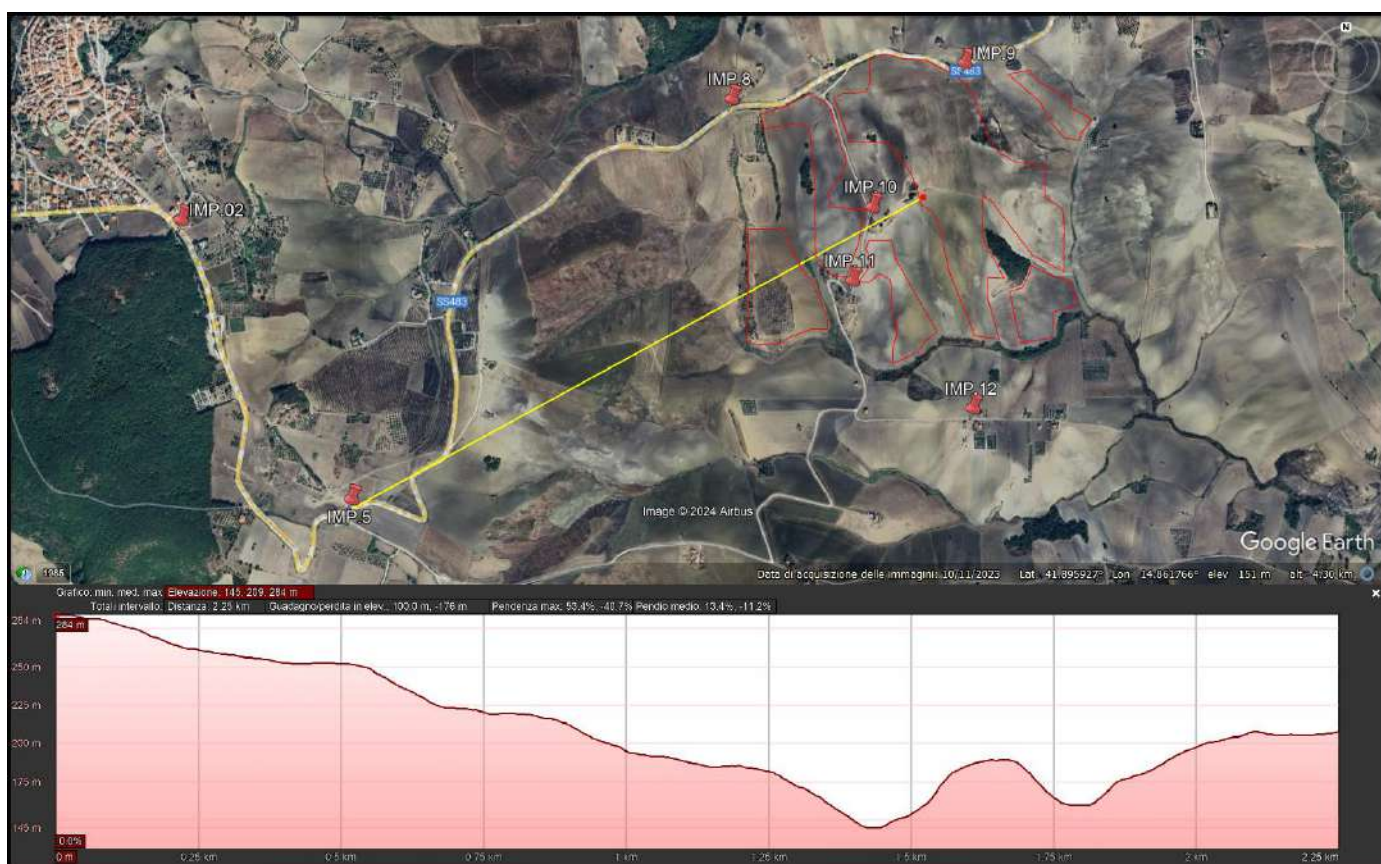


Fig. 18 Punto di presa n. 5 sezione illustrative della morfologia del terreno

PUNTI DI PRESA DELL'IMPIANTO



Fig. 19 Punto di presa n. 5 stato di fatto (Strada Statale n°483 ora SP-Termolese)



Fig. 20 Punto di presa n. 5 stato di progetto (Strada Statale n°483 ora SP-Termolese)

PUNTI DI PRESA DELL'IMPIANTO

- Punto di Presa n°6

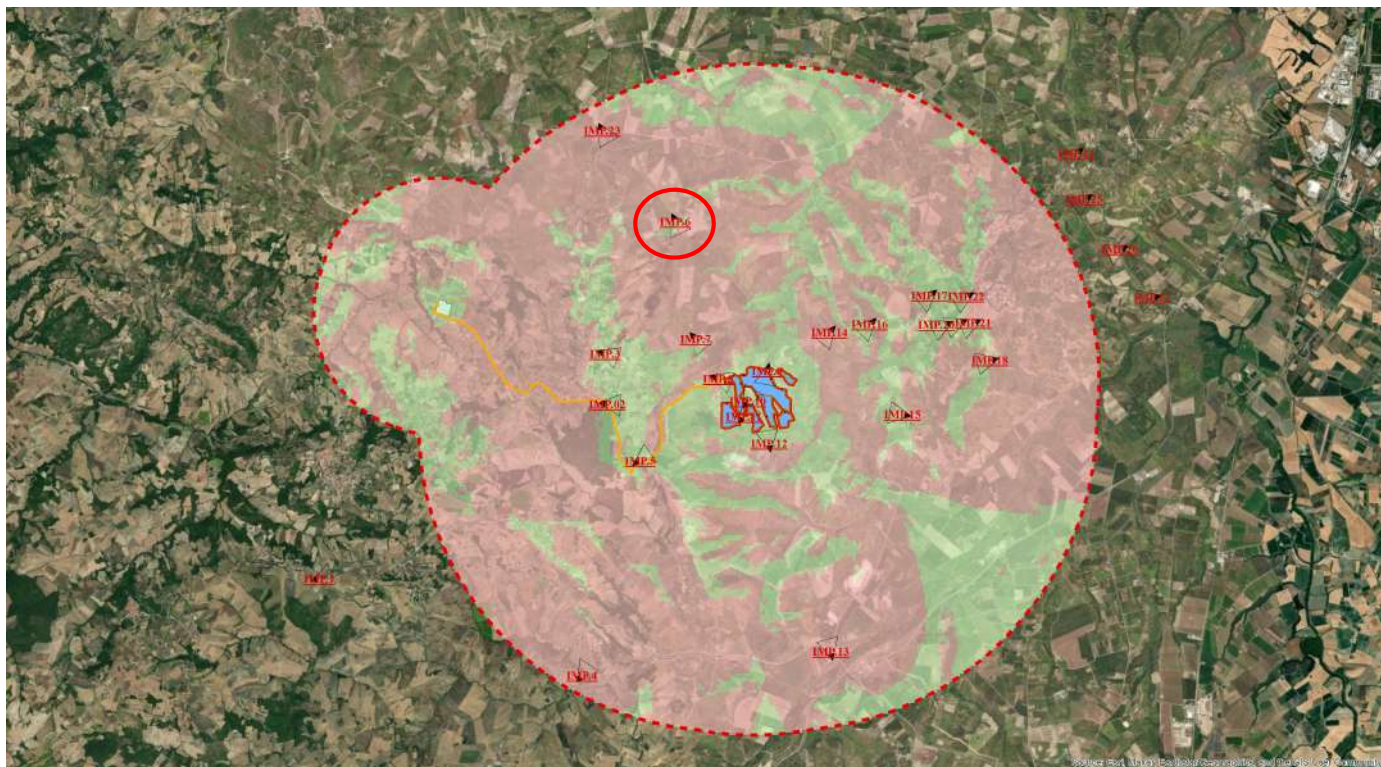


Fig. 21 Inquadramento punto di presa con cono ottico n. 6

Coordinate: 41,92504 - 14,85442

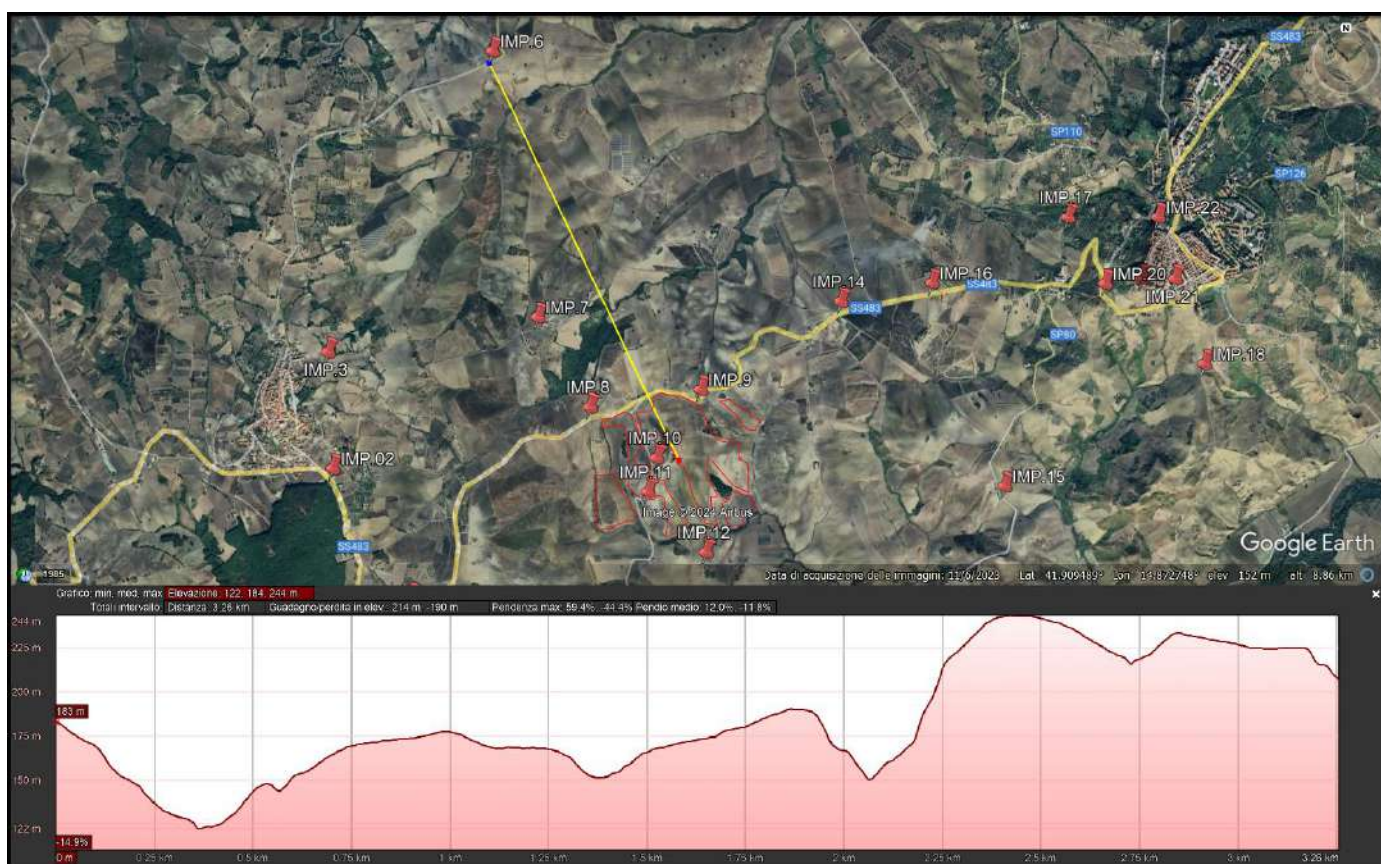


Fig. 22 Punto di presa n. 6 sezione illustrative della morfologia del terreno

PUNTI DI PRESA DELL'IMPIANTO



Fig. 23 Punto di presa n. 6 stato di fatto (Tratturo Centurelle-Montesecco)



Fig. 24 Punto di presa n. 6 stato di progetto (Tratturo Centurelle-Montesecco)

PUNTI DI PRESA DELL'IMPIANTO

- Punto di Presa n°7

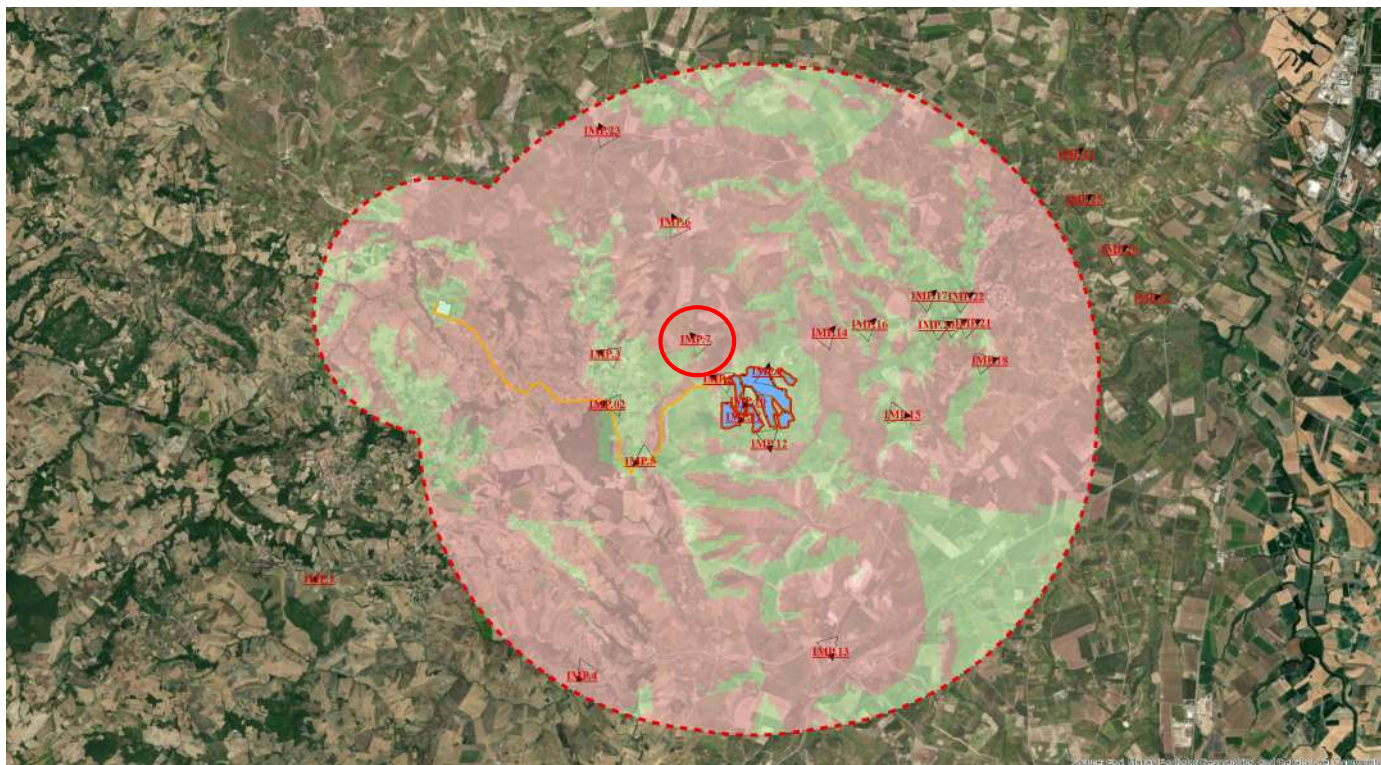


Fig. 25 Inquadramento punto di presa con cono ottico n. 7

Coordinate: 41,90763 - 14,85852

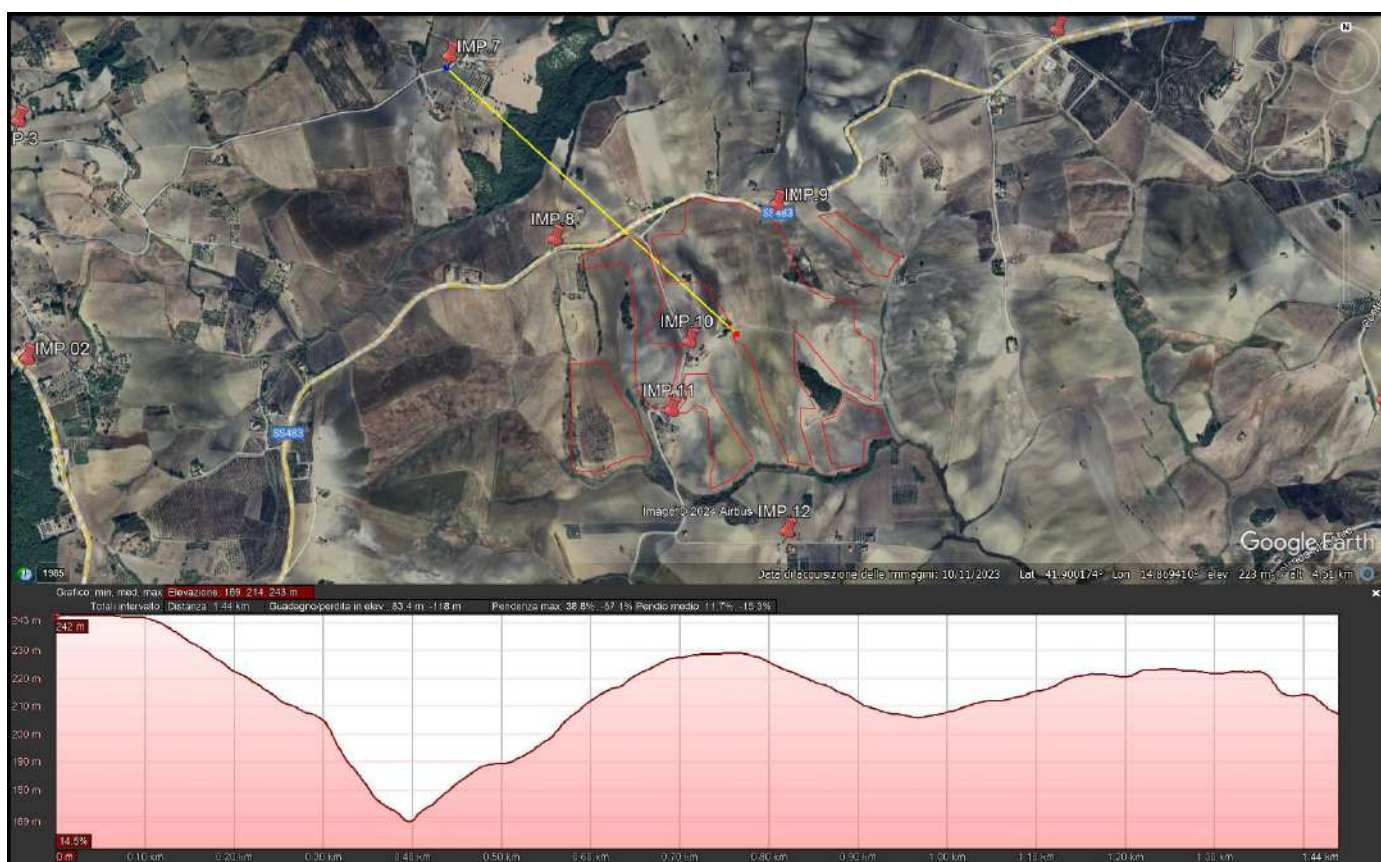


Fig. 26 Punto di presa n. 7 sezione illustrative della morfologia del terreno

PUNTI DI PRESA DELL'IMPIANTO



Fig. 27 Punto di presa n. 7 stato di fatto (Masseria Graziani)



Fig. 28 Punto di presa n. 7 stato di progetto (Masseria Graziani)

PUNTI DI PRESA DELL'IMPIANTO

- Punto di Presa n°8

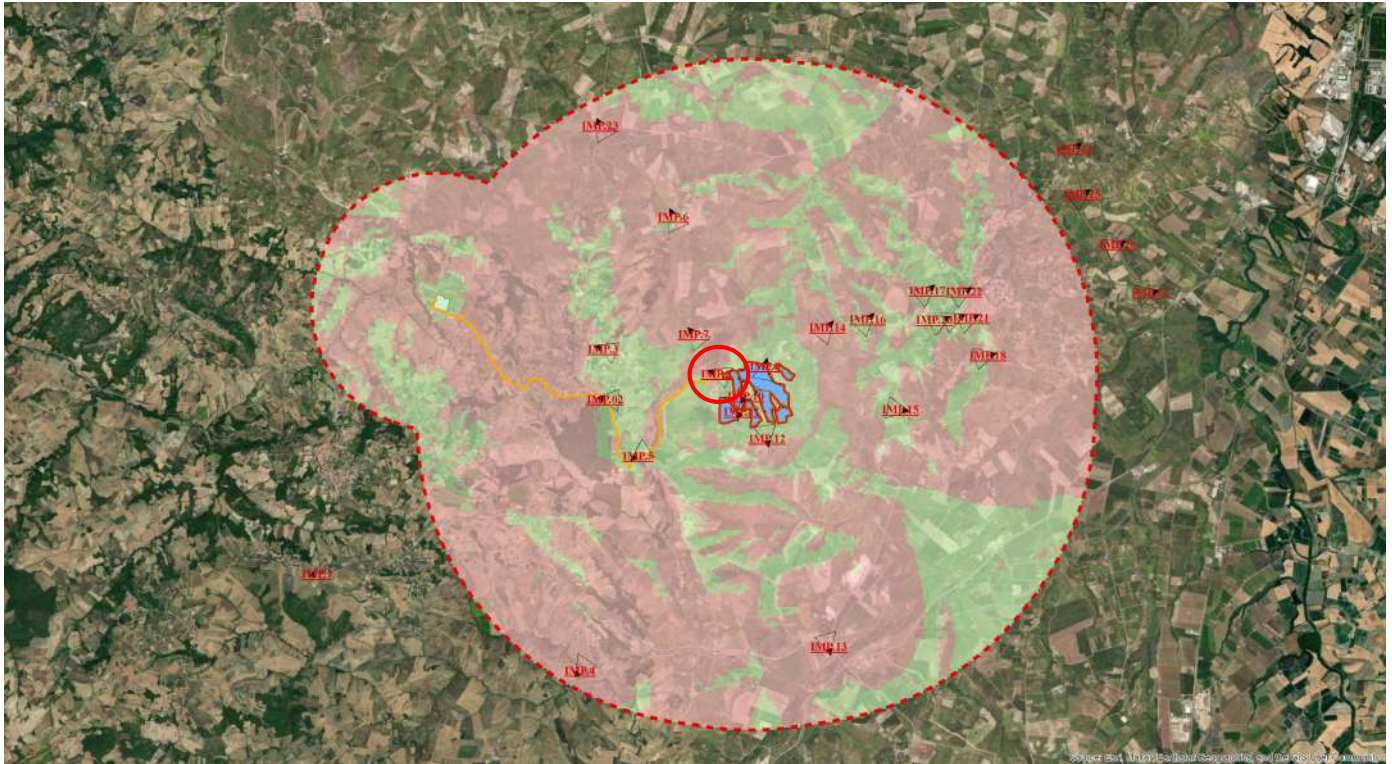


Fig. 29 Inquadramento punto di presa con cono ottico n. 8

Coordinate: 41,90175 - 14,86304



Fig. 30 Punto di presa n. 8 sezione illustrative della morfologia del terreno

PUNTI DI PRESA DELL'IMPIANTO



Fig. 31 Punto di presa n. 8 stato di fatto (Masseria Zanni)



Fig. 32 Punto di presa n. 8 stato di progetto (Masseria Zanni)

PUNTI DI PRESA DELL'IMPIANTO

- Punto di Presa n°9.a

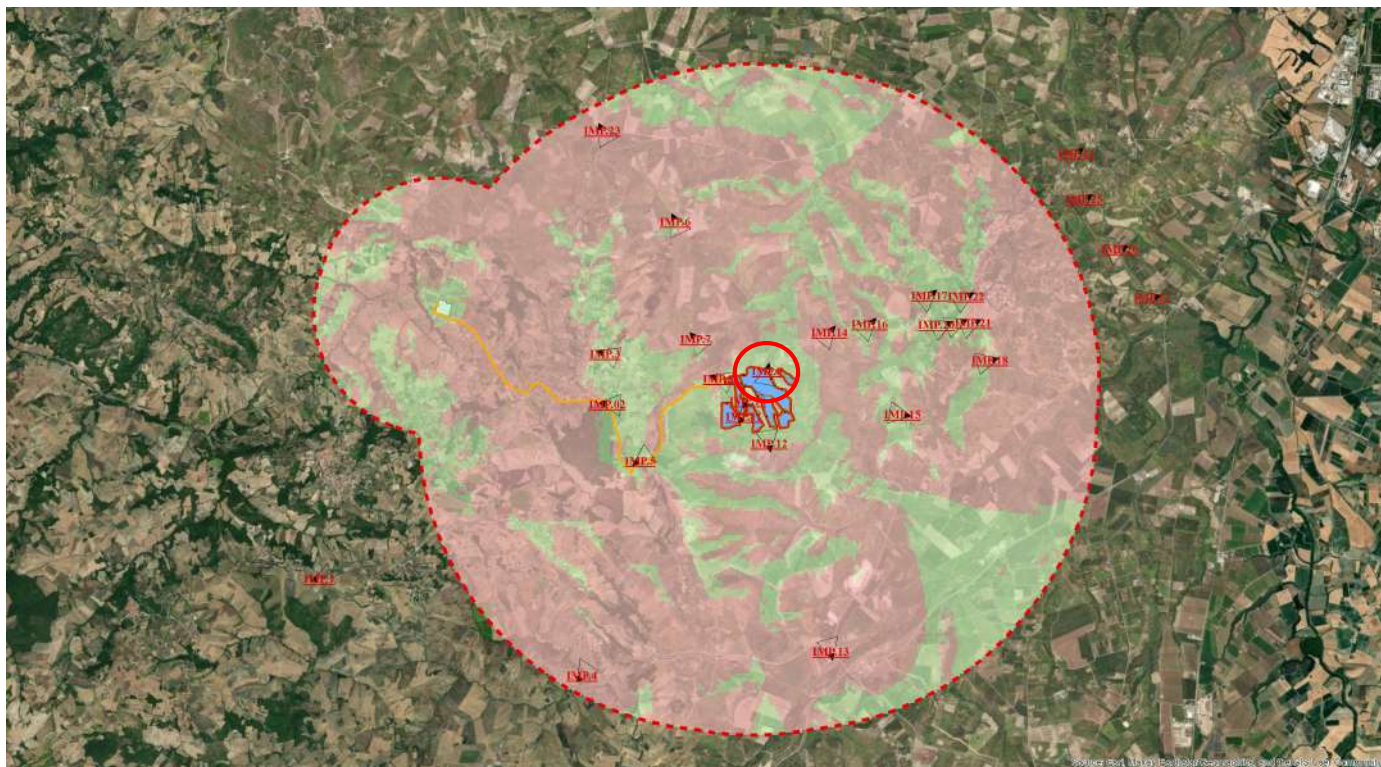


Fig. 33 Inquadramento punto di presa con cono ottico n. 9.a

Coordinate: 41,90289 - 14,87275



Fig. 34 Punto di presa n. 9.a sezione illustrativa della morfologia del terreno

PUNTI DI PRESA DELL'IMPIANTO

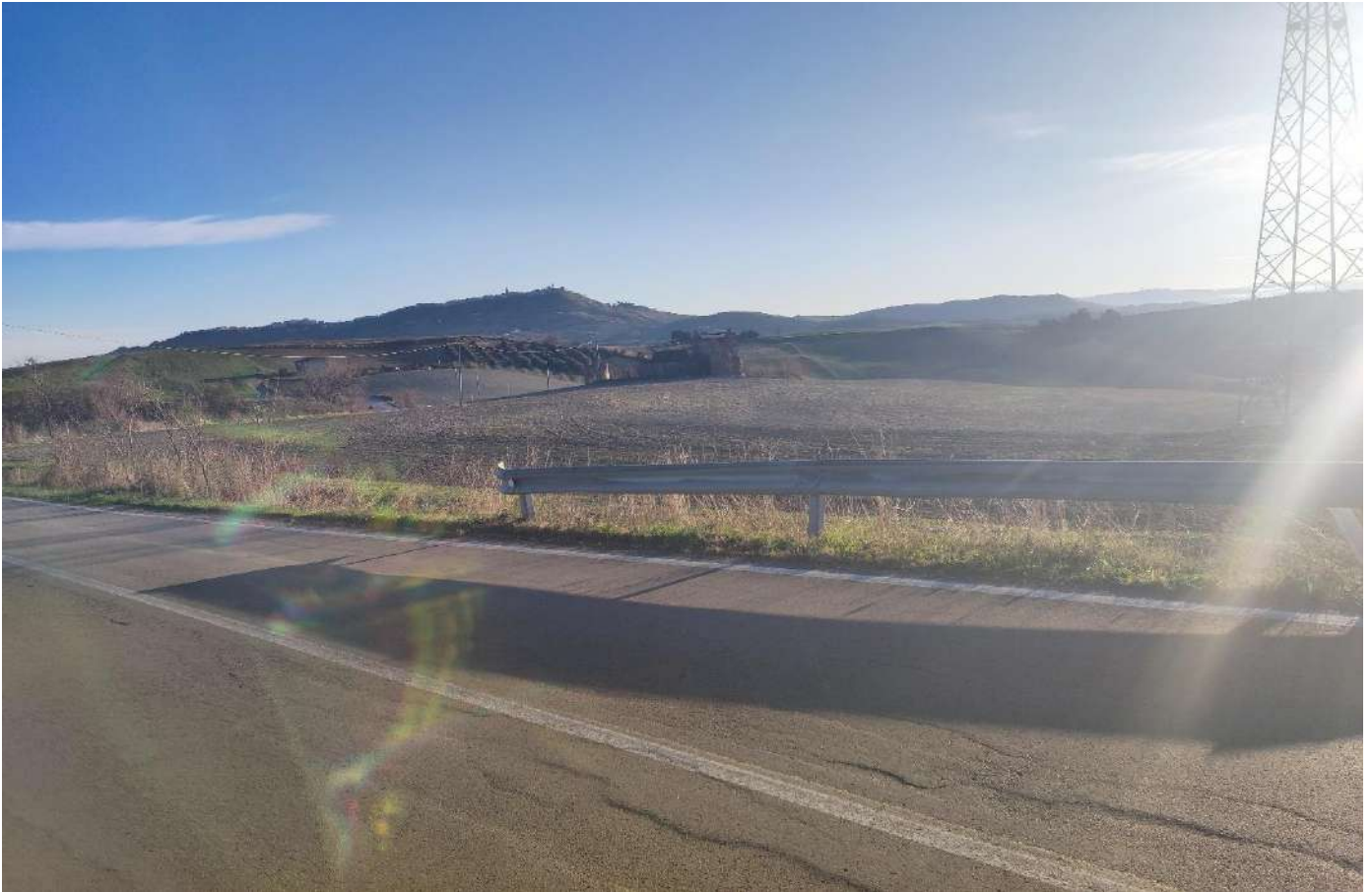


Fig. 35 Punto di presa n. 9.a stato di fatto (Strada Statale n°483 ora SP-Termolese)



Fig. 36 Punto di presa n. 9.a stato di progetto (Strada Statale n°483 ora SP-Termolese)

PUNTI DI PRESA DELL'IMPIANTO

- Punto di Presa n°9.b

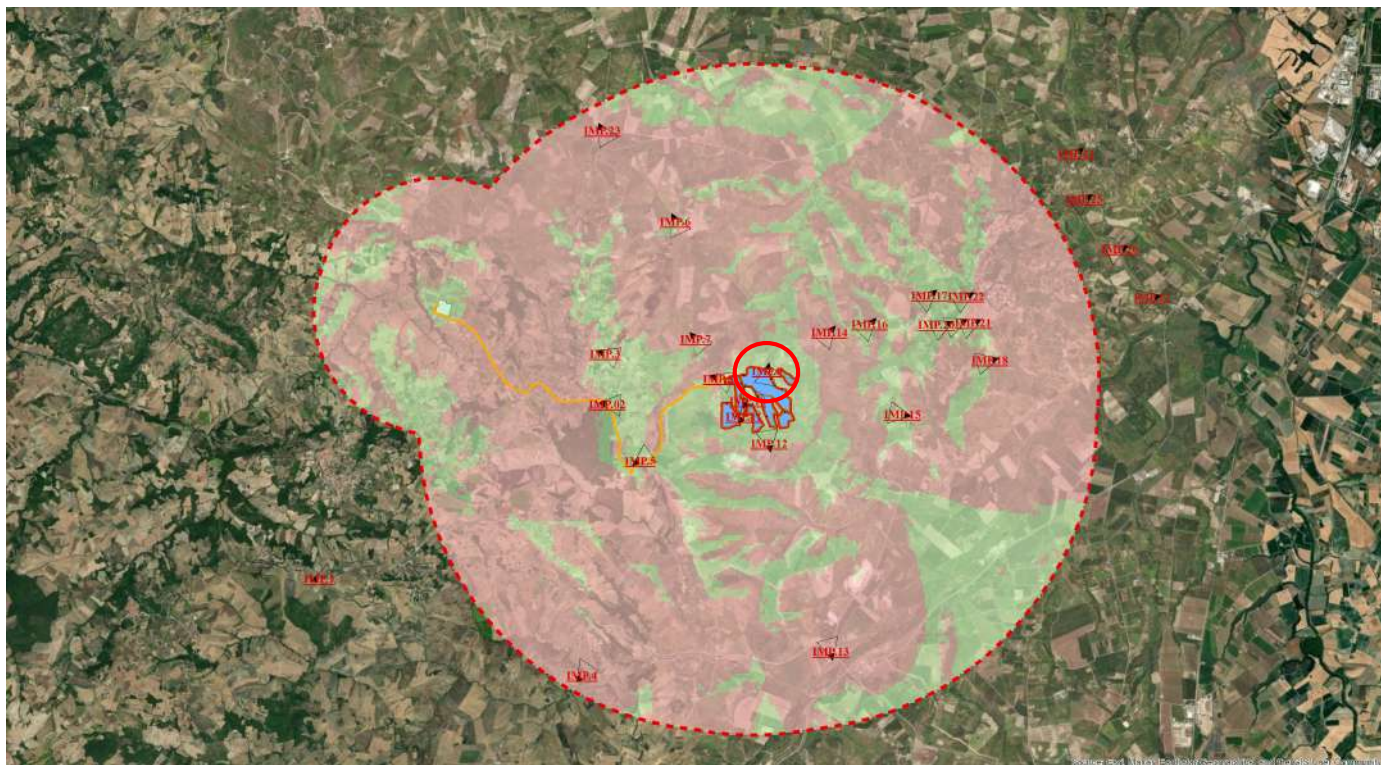


Fig. 33 Inquadramento punto di presa con cono ottico n. 9.b

Coordinate: 41,90289 - 14,87275



Fig. 34 Punto di presa n. 9.b sezione illustrative della morfologia del terreno

PUNTI DI PRESA DELL'IMPIANTO



Fig. 37 Punto di presa n. 9.b stato di fatto (Strada Statale n°483 ora SP-Termolese)



Fig. 38 Punto di presa n. 9.b stato di progetto (Strada Statale n°483 ora SP-Termolese)

PUNTI DI PRESA DELL'IMPIANTO

- Punto di Presa n°9.c

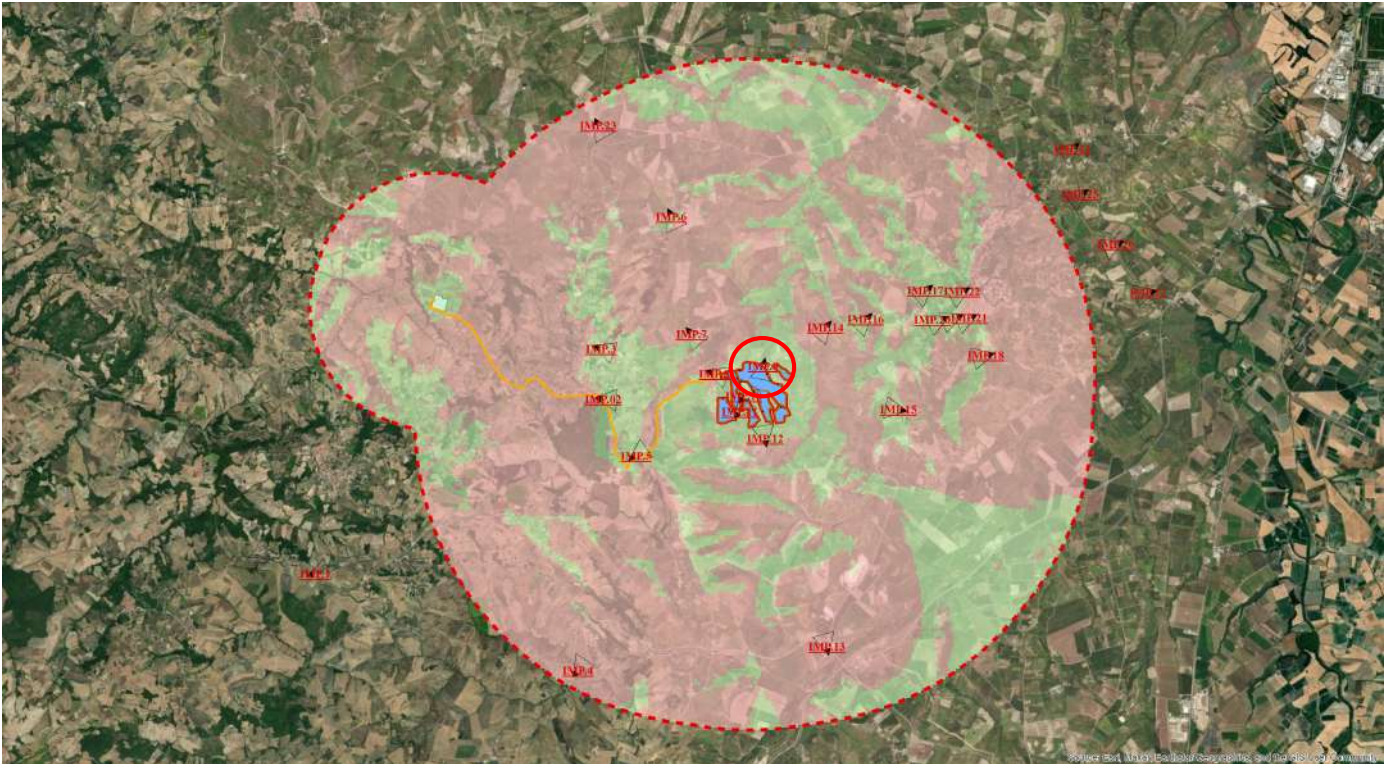


Fig. 33 Inquadramento punto di presa con cono ottico n. 9.c

Coordinate: 41,90289 - 14,87275



Fig. 34 Punto di presa n. 9.c sezione illustrativa della morfologia del terreno

PUNTI DI PRESA DELL'IMPIANTO



Fig. 39 Punto di presa n. 9.c stato di fatto (Strada Statale n°483 ora SP-Termolese)



Fig. 40 Punto di presa n. 9.c stato di progetto (Strada Statale n°483 ora SP-Termolese)

PUNTI DI PRESA DELL'IMPIANTO

- Punto di Presa n°9.d

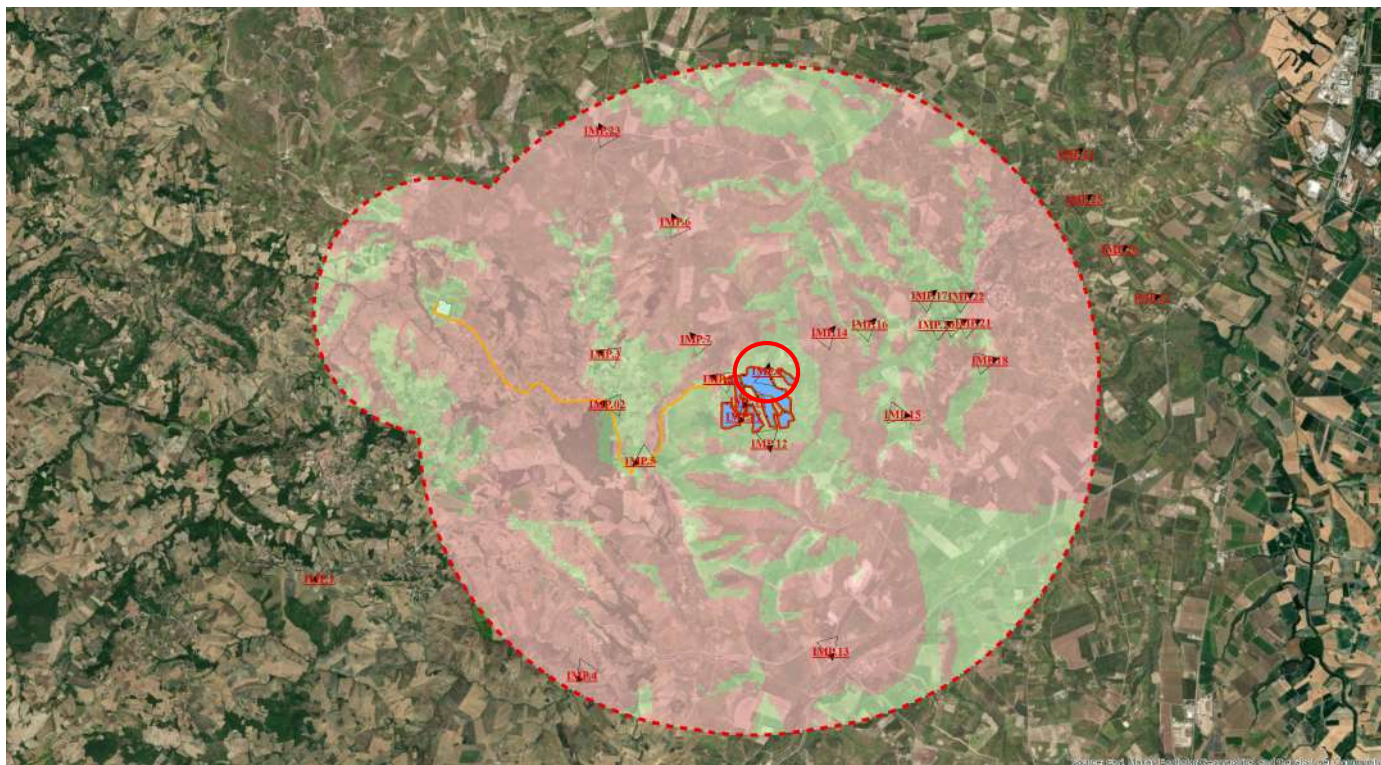


Fig. 33 Inquadramento punto di presa con cono ottico n. 9.d

Coordinate: 41,90289 - 14,87275



Fig. 34 Punto di presa n. 9.d sezione illustrativa della morfologia del terreno

PUNTI DI PRESA DELL'IMPIANTO



Fig. 41 Punto di presa n. 9.d stato di fatto (Strada Statale n°483 ora SP-Termolese)



Fig. 42 Punto di presa n. 9.d stato di progetto (Strada Statale n°483 ora SP-Termolese)

PUNTI DI PRESA DELL'IMPIANTO

- Punto di Presa n°10.a

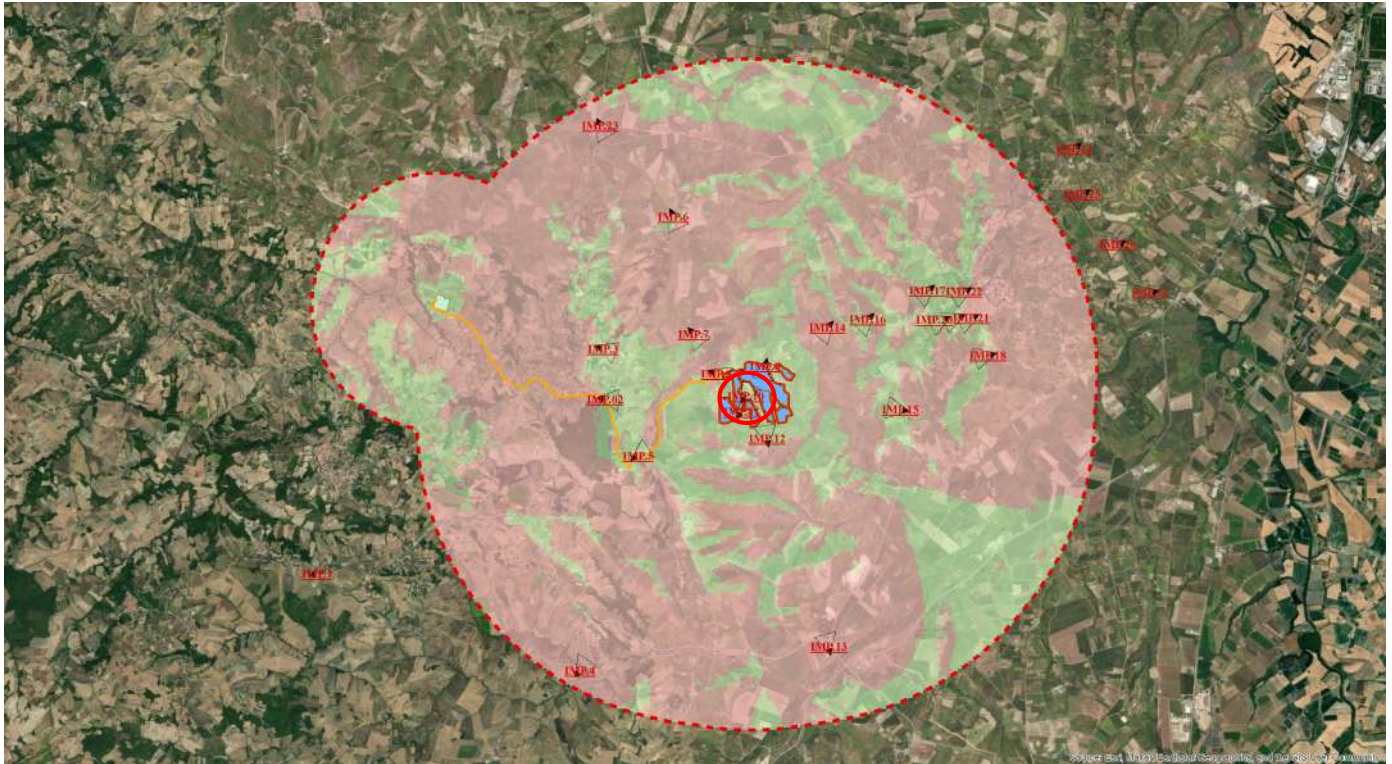


Fig. 43 Inquadramento punto di presa con cono ottico n. 10.a

Coordinate: 41,89843 - 14,86889



Fig. 44 Punto di presa n. 10.a sezione illustrative della morfologia del terreno

PUNTI DI PRESA DELL'IMPIANTO



Fig. 45 Punto di presa n. 10.a stato di fatto (Masseria Graziani)



Fig. 46 Punto di presa n. 10.a stato di progetto (Masseria Graziani)

PUNTI DI PRESA DELL'IMPIANTO

- Punto di Presa n°10.b

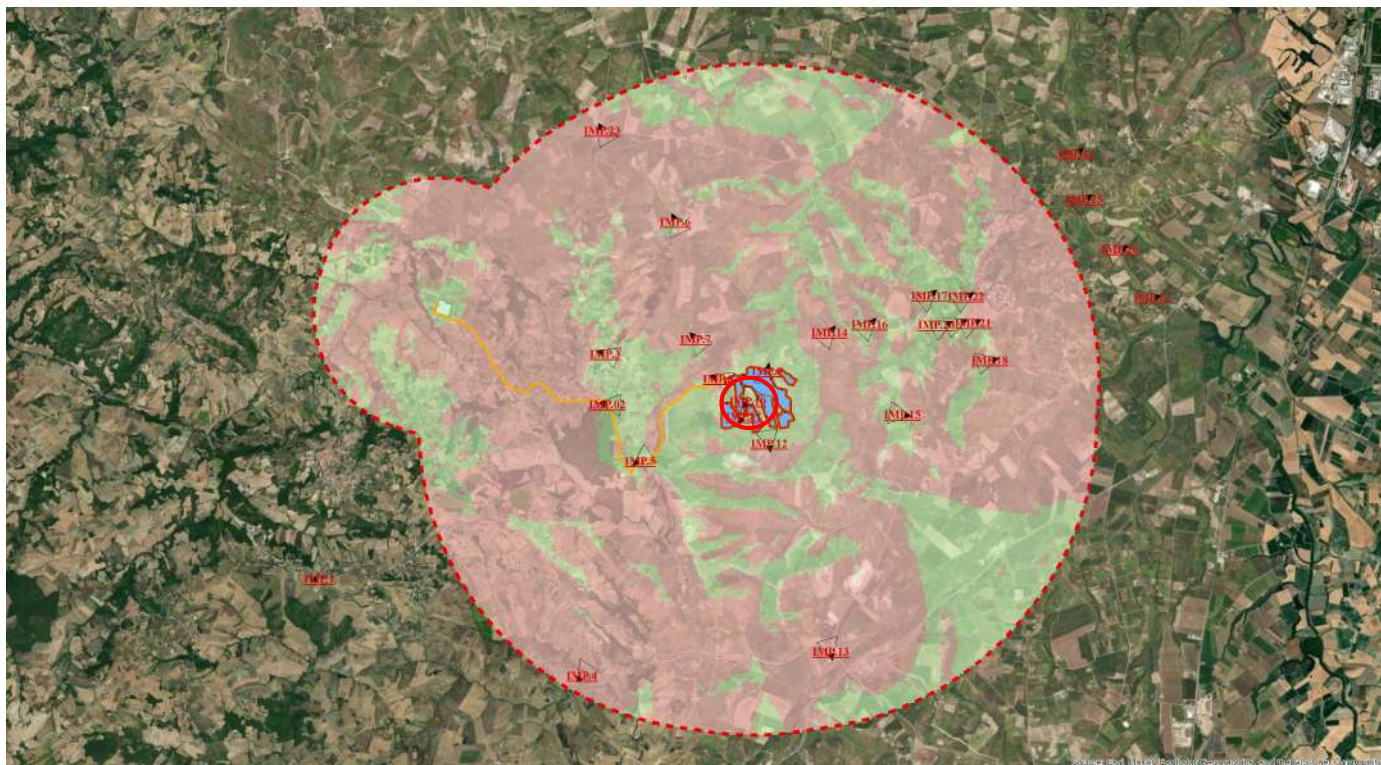


Fig. 43 Inquadramento punto di presa con cono ottico n. 10.b

Coordinate: 41,89843 - 14,86889



Fig. 44 Punto di presa n. 10.b sezione illustrative della morfologia del terreno

PUNTI DI PRESA DELL'IMPIANTO



Fig. 47 Punto di presa n. 10.b stato di fatto (Masseria Graziani)



Fig. 48 Punto di presa n. 10.b stato di progetto (Masseria Graziani)

PUNTI DI PRESA DELL'IMPIANTO

- Punto di Presa n°10.c

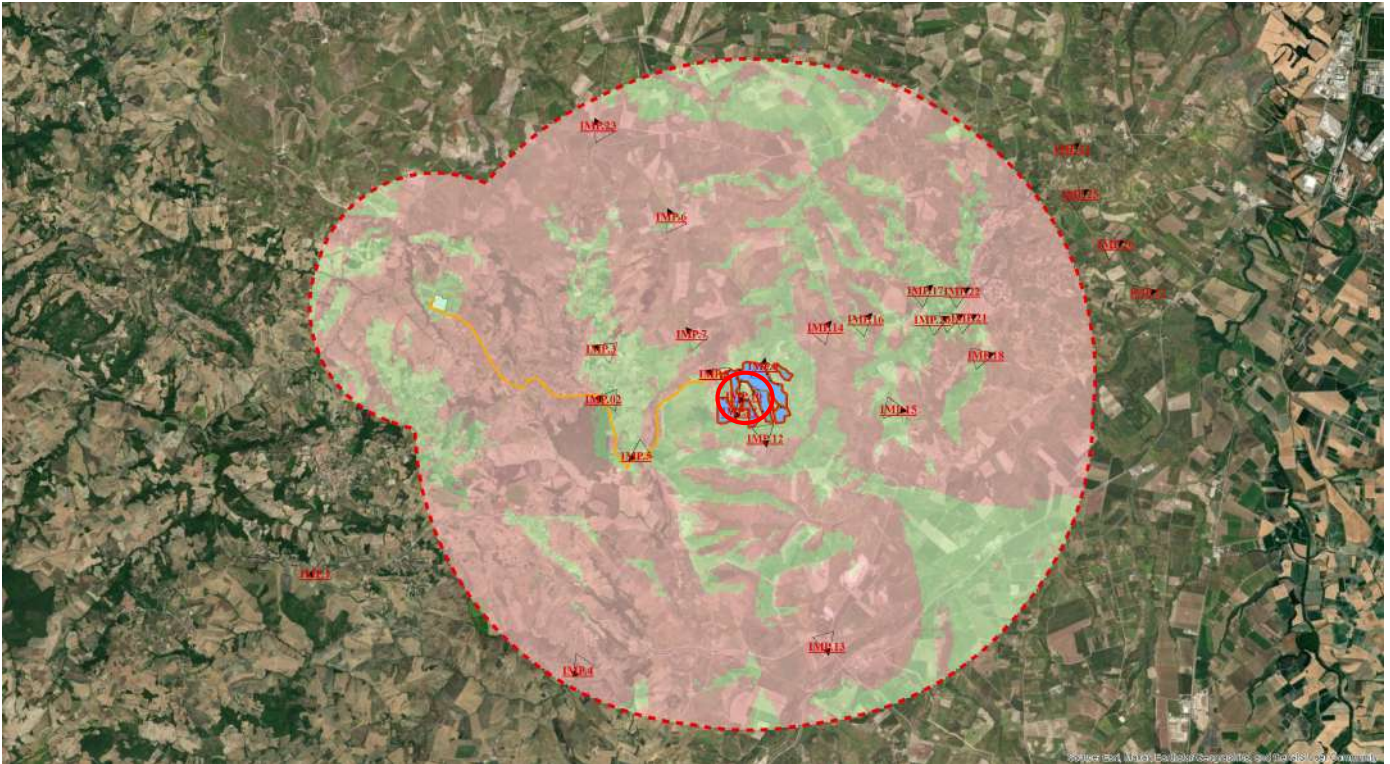


Fig. 43 Inquadramento punto di presa con cono ottico n. 10.c

Coordinate: 41,89843 - 14,86889



Fig. 44 Punto di presa n. 10.c sezione illustrative della morfologia del terreno

PUNTI DI PRESA DELL'IMPIANTO



Fig. 49 Punto di presa n. 10.c stato di fatto (Masseria Graziani)



Fig. 50 Punto di presa n. 10.c stato di progetto (Masseria Graziani)

PUNTI DI PRESA DELL'IMPIANTO

- Punto di Presa n°10.d

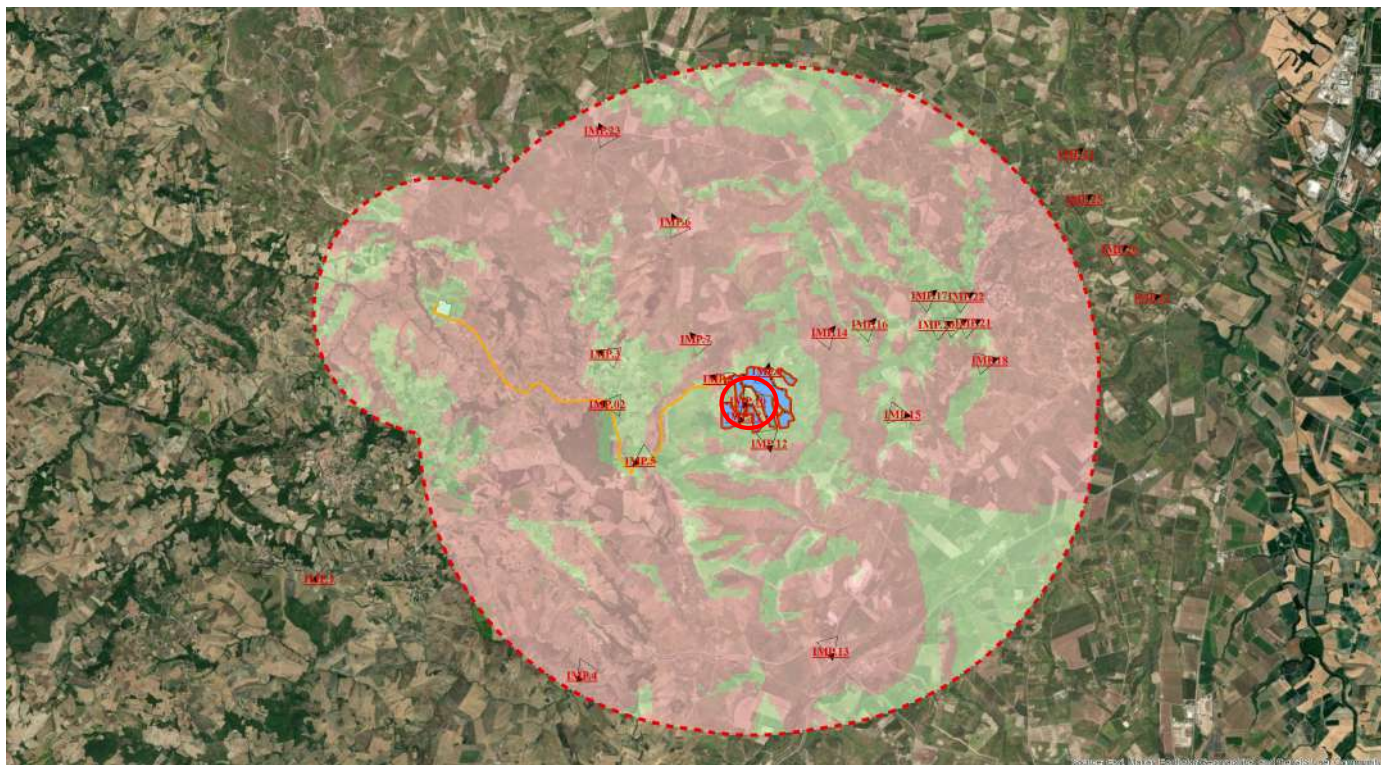


Fig. 43 Inquadramento punto di presa con cono ottico n. 10.d

Coordinate: 41,89843 - 14,86889



Fig. 44 Punto di presa n. 10.d sezione illustrative della morfologia del terreno

PUNTI DI PRESA DELL'IMPIANTO



Fig. 51 Punto di presa n. 10.d stato di fatto (Masseria Graziani)



Fig. 52 Punto di presa n. 10.d stato di progetto (Masseria Graziani)

PUNTI DI PRESA DELL'IMPIANTO

- Punto di Presa n°10.e

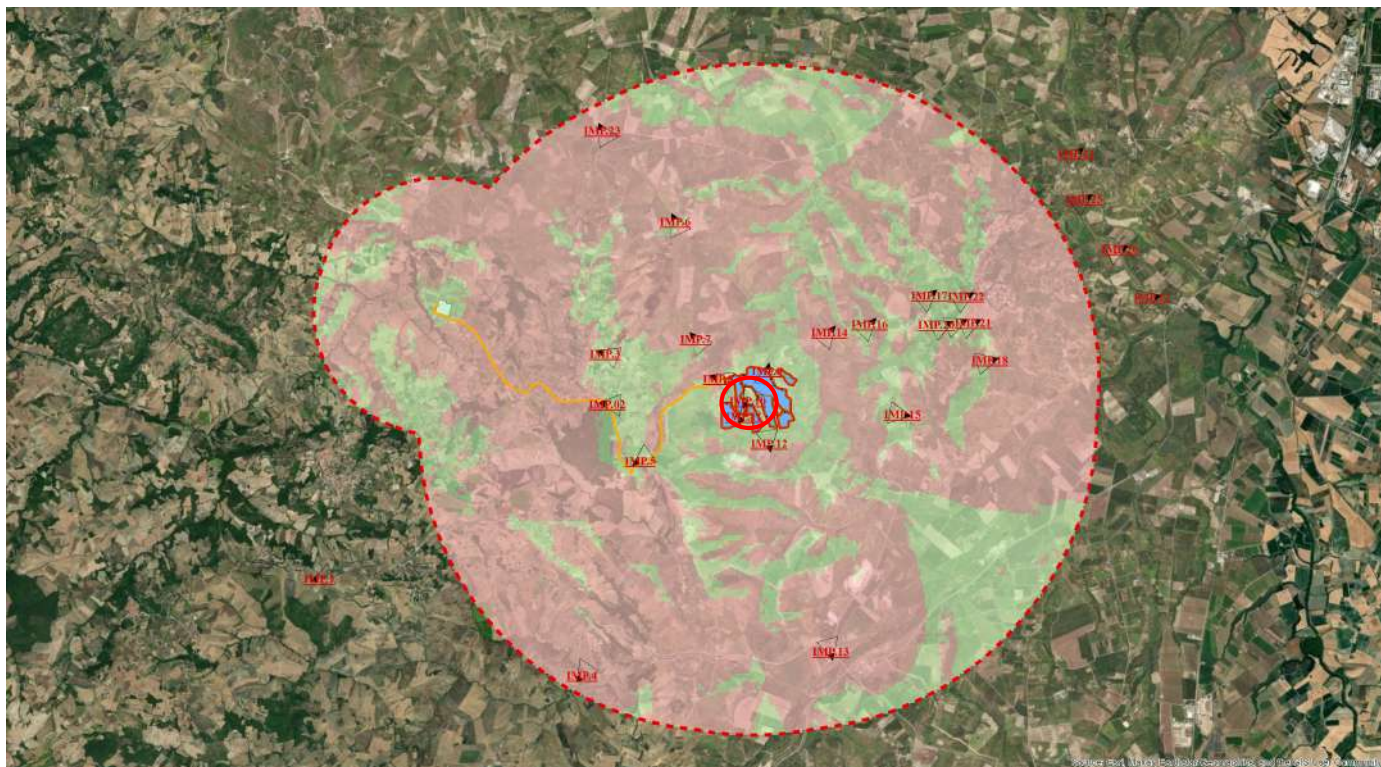


Fig. 43 Inquadramento punto di presa con cono ottico n. 10.e

Coordinate: 41,89843 - 14,86889



Fig. 44 Punto di presa n. 10.e sezione illustrative della morfologia del terreno

PUNTI DI PRESA DELL'IMPIANTO

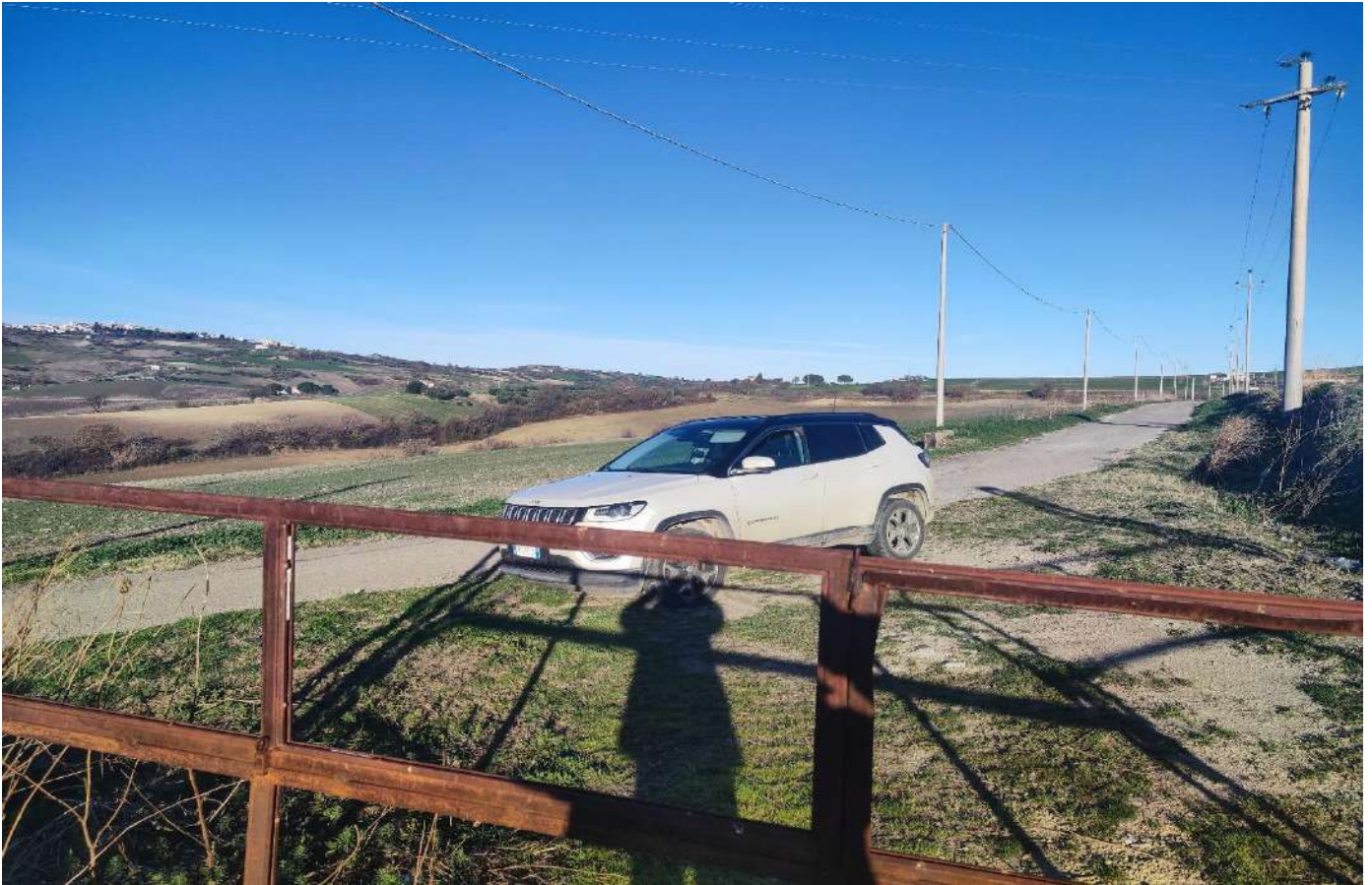


Fig. 53 Punto di presa n. 10.e stato di fatto (Masseria Graziani)



Fig. 54 Punto di presa n. 10.e stato di progetto (Masseria Graziani)

PUNTI DI PRESA DELL'IMPIANTO

- Punto di Presa n°11.a

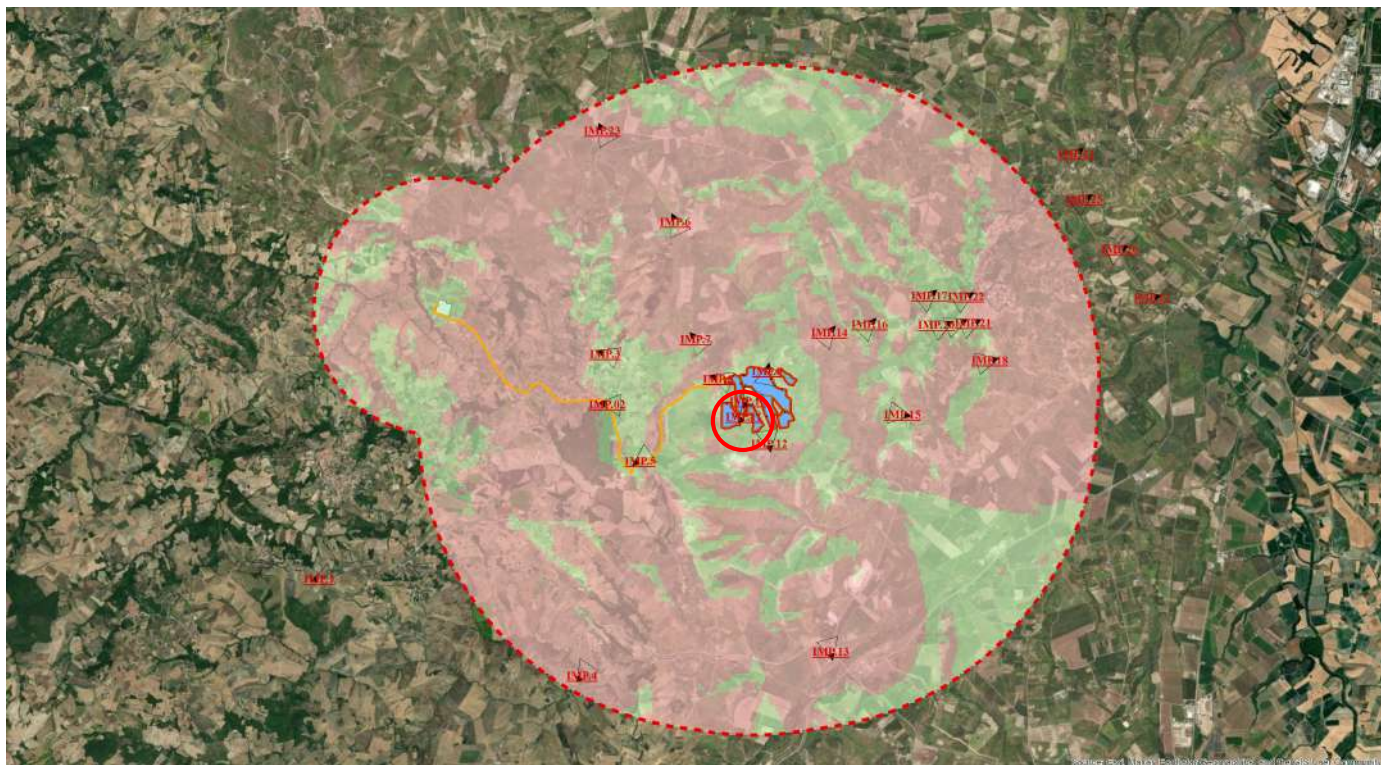


Fig. 55 Inquadramento punto di presa con cono ottico n. 11.a

Coordinate: 41,89616 - 14,86810



Fig. 56 Punto di presa n. 11.a sezione illustrative della morfologia del terreno

PUNTI DI PRESA DELL'IMPIANTO



Fig. 57 Punto di presa n. 11.a stato di fatto (Masseria Graziani)



Fig. 58 Punto di presa n. 11.a stato di progetto (Masseria Graziani)

PUNTI DI PRESA DELL'IMPIANTO

- Punto di Presa n°11.b

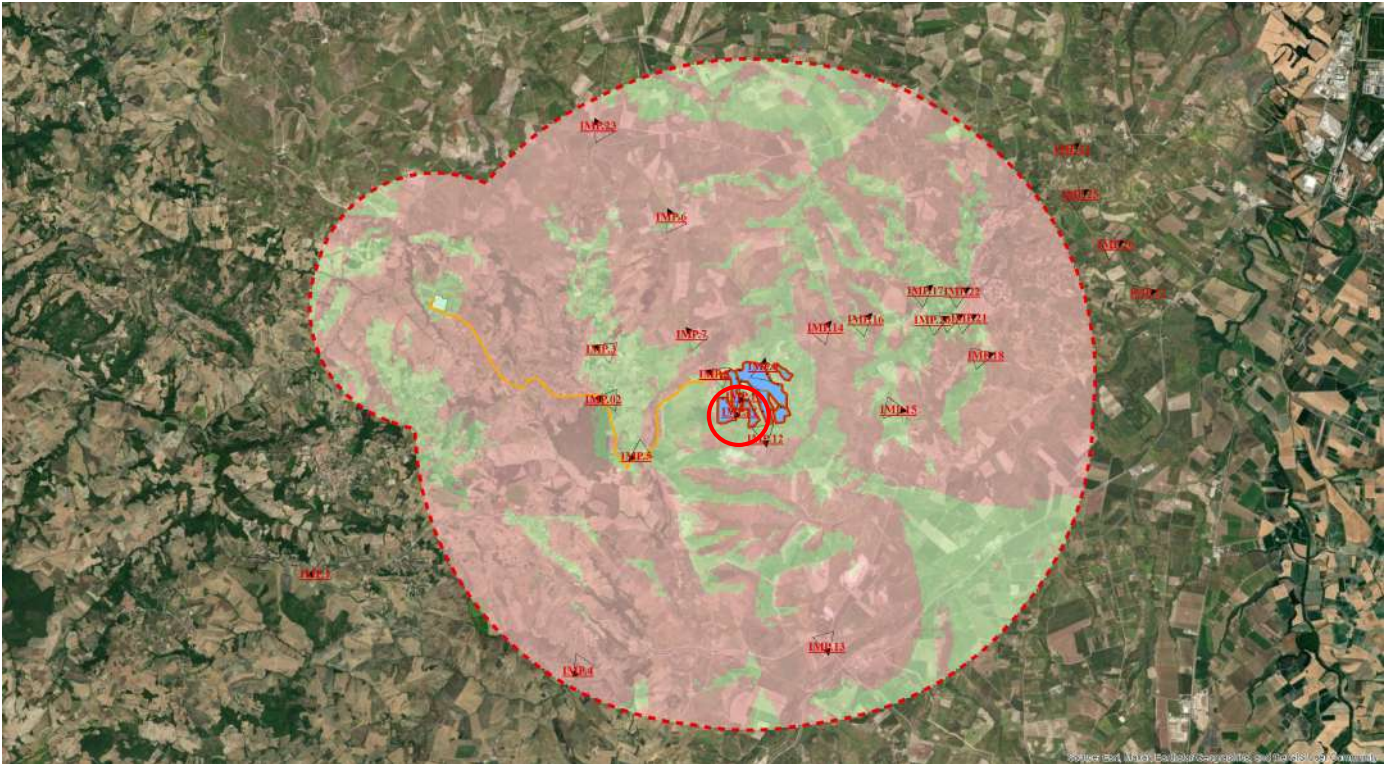


Fig. 55 Inquadramento punto di presa con cono ottico n. 11.b

Coordinate: 41,89616 - 14,86810



Fig. 56 Punto di presa n. 11.b sezione illustrative della morfologia del terreno

PUNTI DI PRESA DELL'IMPIANTO

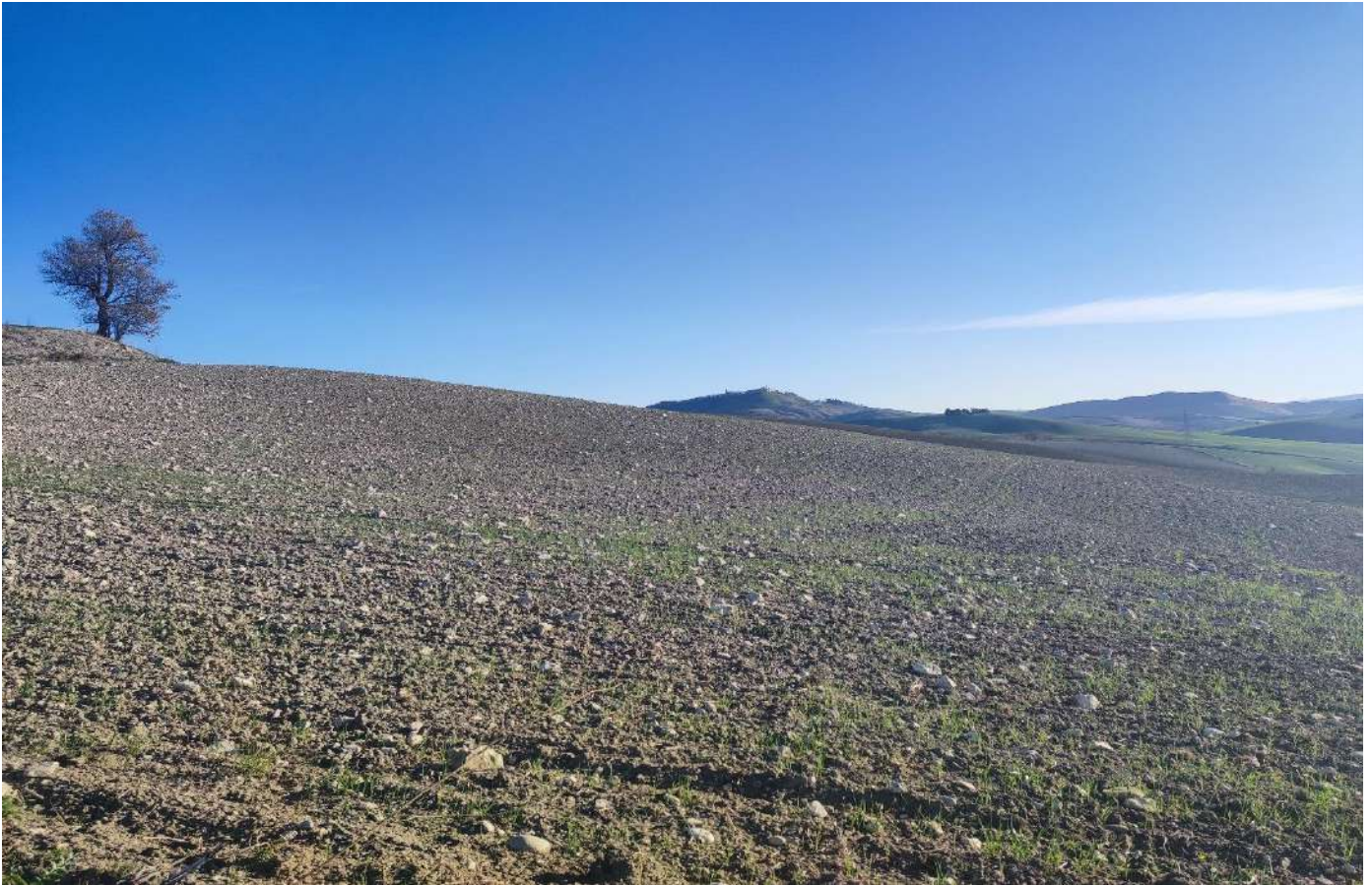


Fig. 59 Punto di presa n. 11.b stato di fatto (Masseria Graziani)



Fig. 60 Punto di presa n. 11.b stato di progetto (Masseria Graziani)

PUNTI DI PRESA DELL'IMPIANTO

- Punto di Presa n°11.c

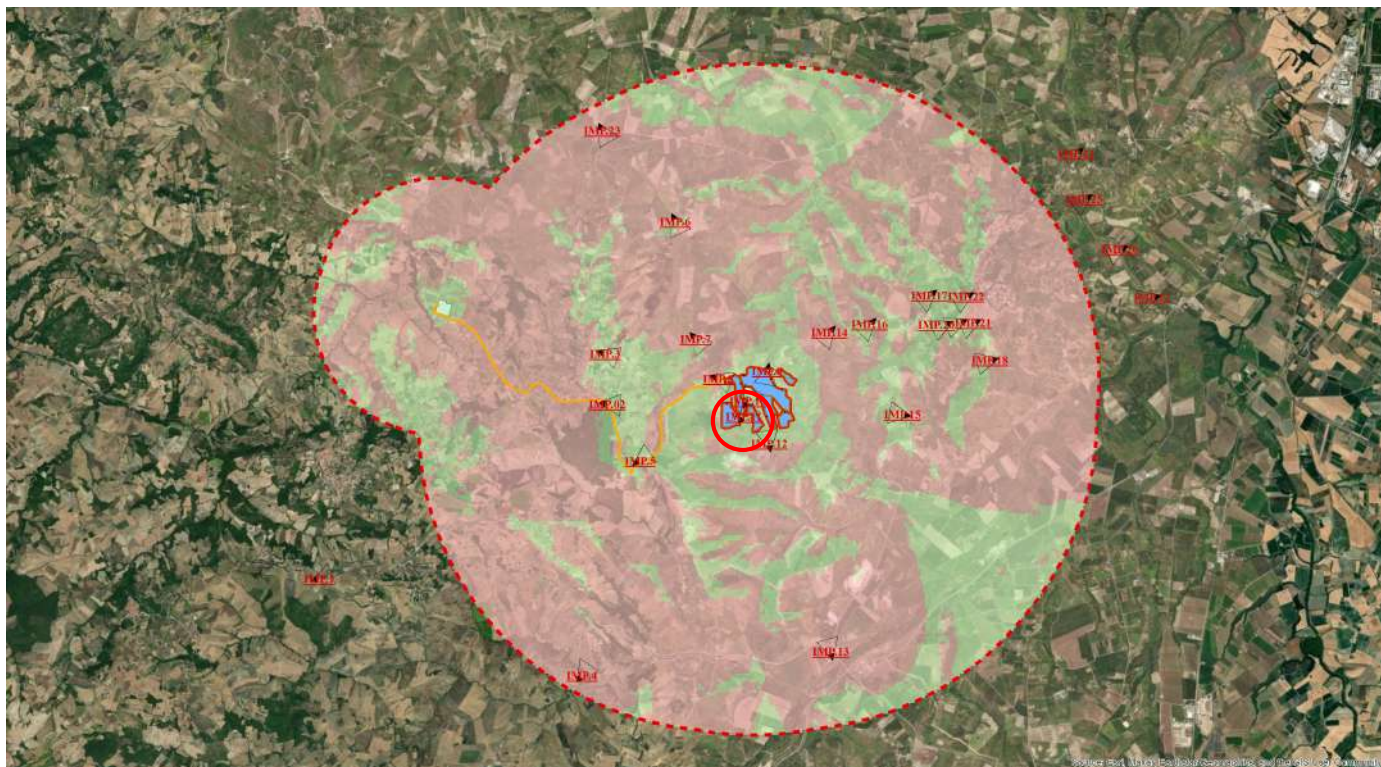


Fig. 55 Inquadramento punto di presa con cono ottico n. 11.c

Coordinate: 41,89616 - 14,86810



Fig. 56 Punto di presa n. 11.c sezione illustrative della morfologia del terreno

PUNTI DI PRESA DELL'IMPIANTO



Fig. 61 Punto di presa n. 11.c stato di fatto (Masseria Graziani)

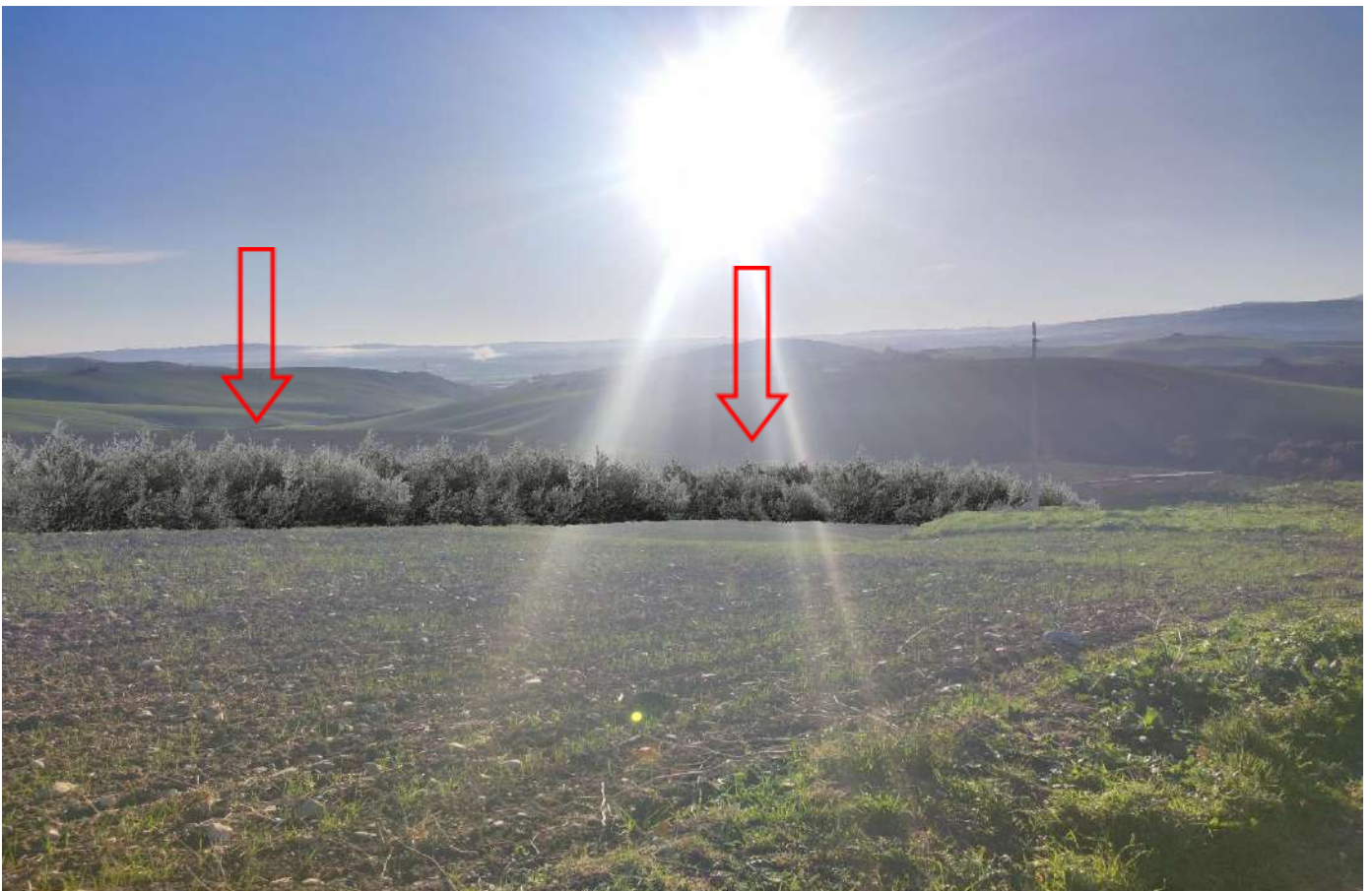


Fig. 62 Punto di presa n. 11.c stato di progetto (Masseria Graziani)

PUNTI DI PRESA DELL'IMPIANTO

- Punto di Presa n°11.d

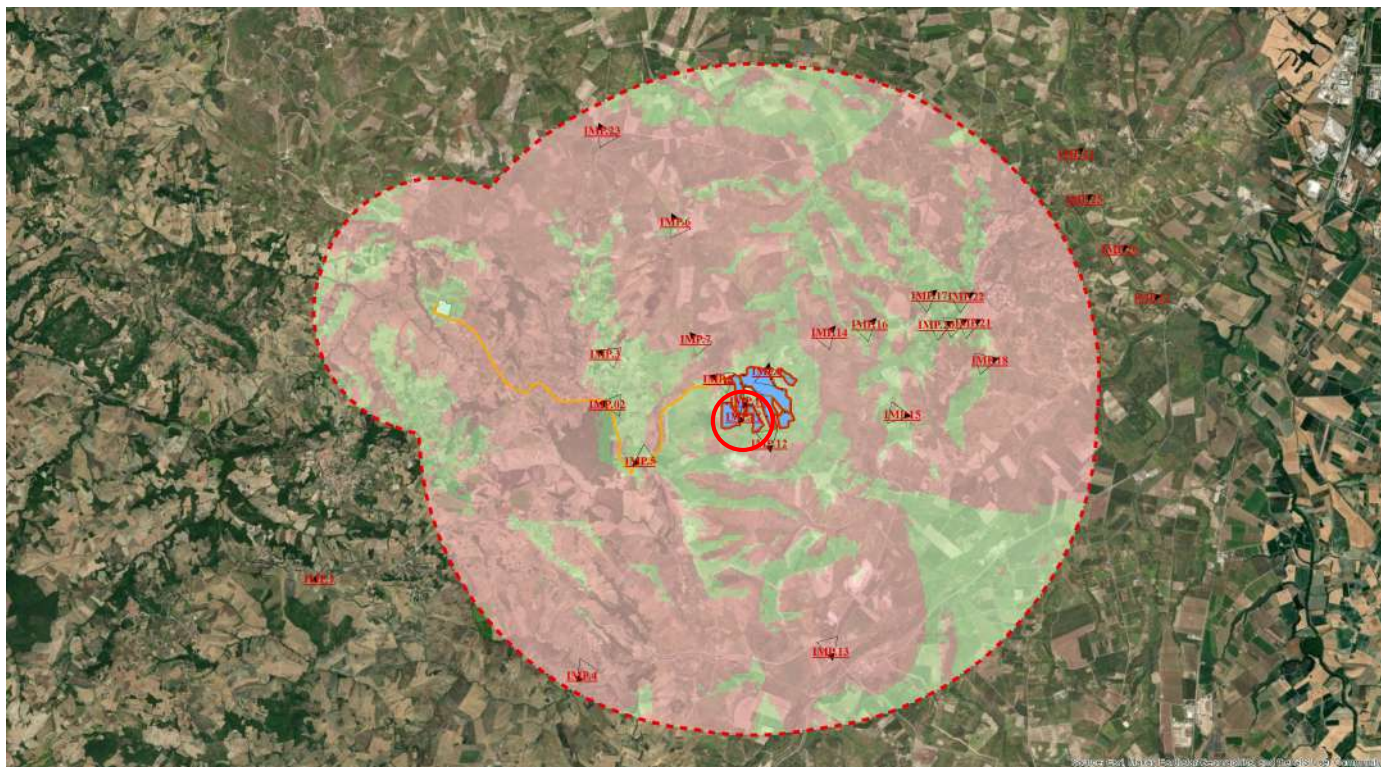


Fig. 55 Inquadramento punto di presa con cono ottico n. 11.d

Coordinate: 41,89616 - 14,86810



Fig. 56 Punto di presa n. 11.d sezione illustrativa della morfologia del terreno

PUNTI DI PRESA DELL'IMPIANTO



Fig. 63 Punto di presa n. 11.d stato di fatto (Masseria Graziani)



Fig. 64 Punto di presa n. 11.d stato di progetto (Masseria Graziani)

PUNTI DI PRESA DELL'IMPIANTO

- Punto di Presa n°11.e

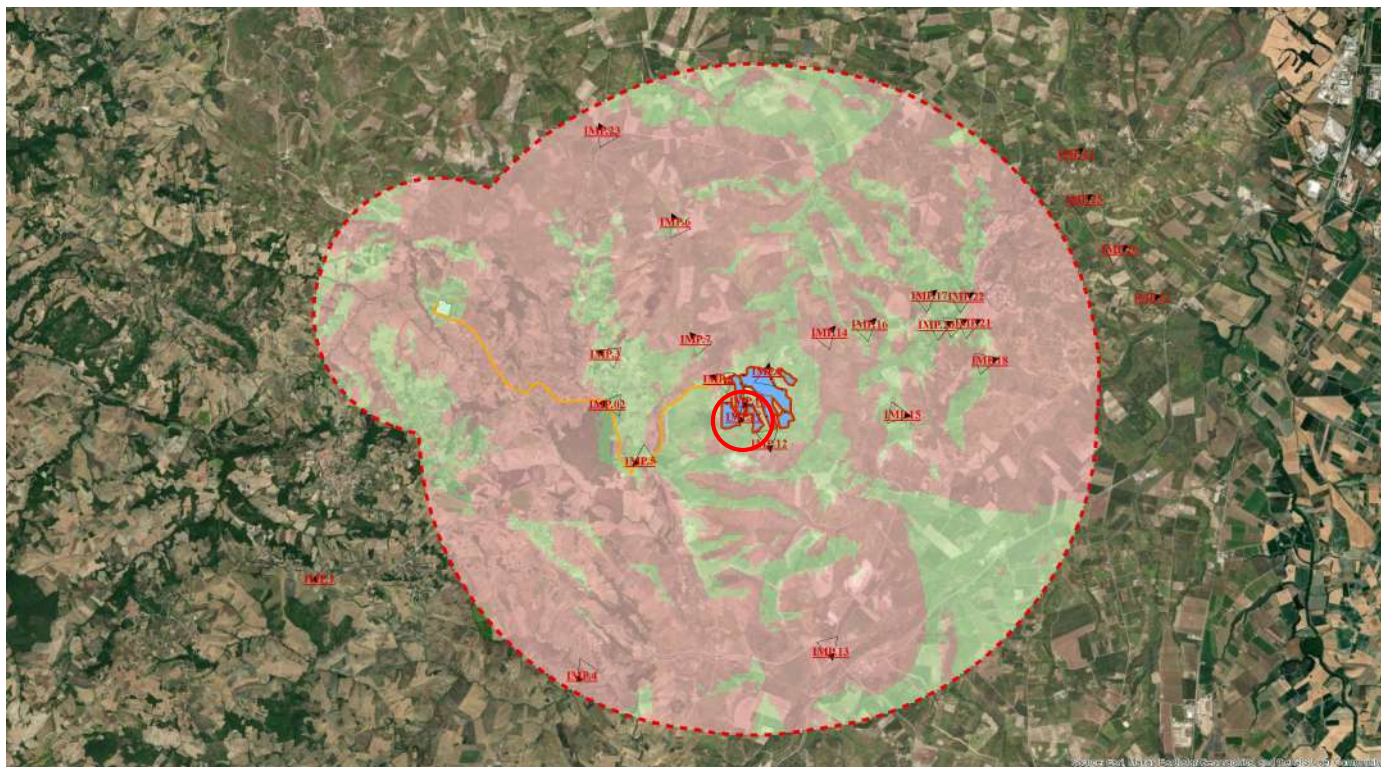


Fig. 55 Inquadramento punto di presa con cono ottico n. 11.e

Coordinate: 41,89616 - 14,86810



Fig. 56 Punto di presa n. 11.e sezione illustrativa della morfologia del terreno

PUNTI DI PRESA DELL'IMPIANTO

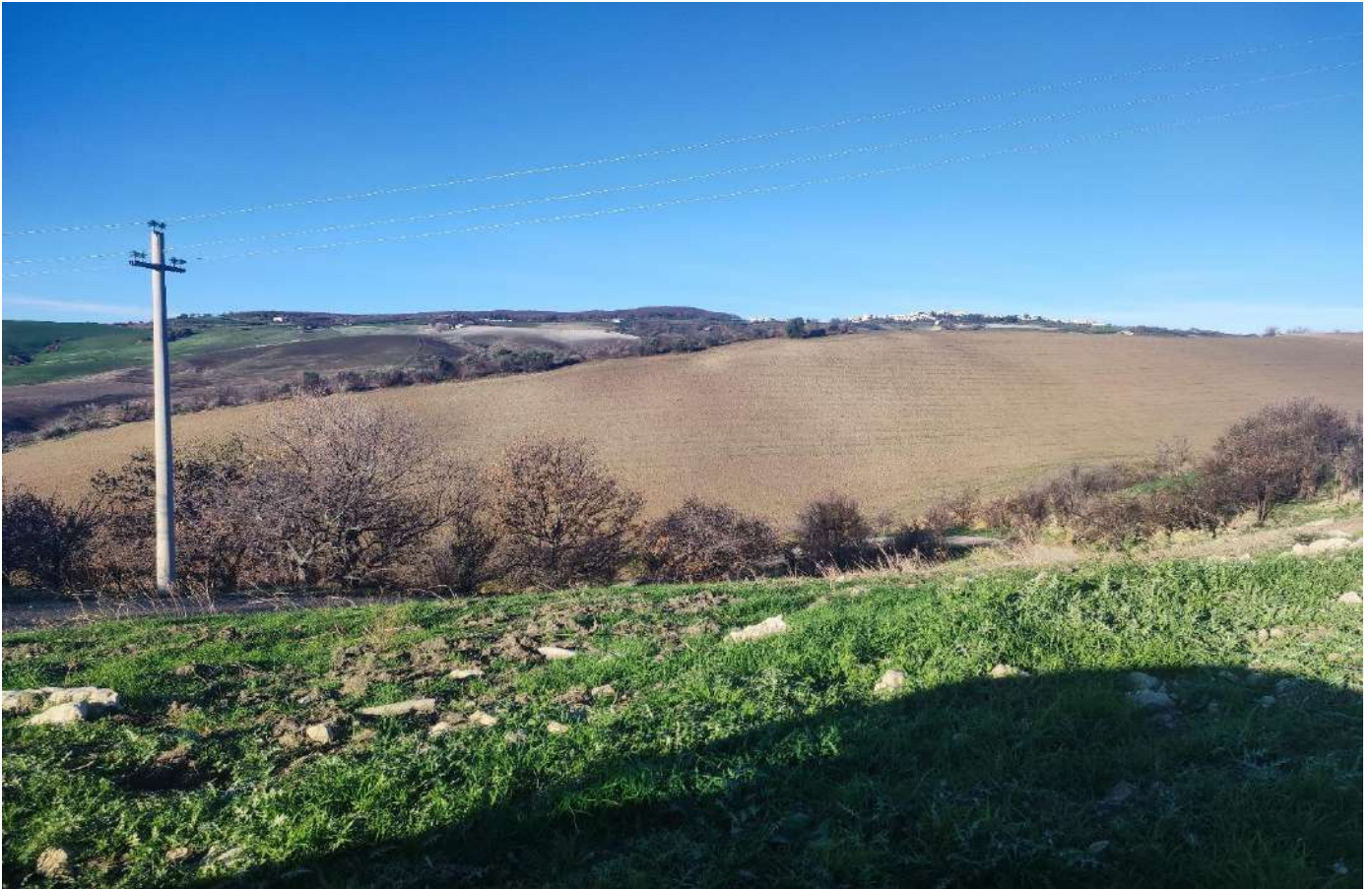


Fig. 65 Punto di presa n. 11.e stato di fatto (Masseria Graziani)



Fig. 66 Punto di presa n. 11.e stato di progetto (Masseria Graziani)

PUNTI DI PRESA DELL'IMPIANTO

- Punto di Presa n°11.f

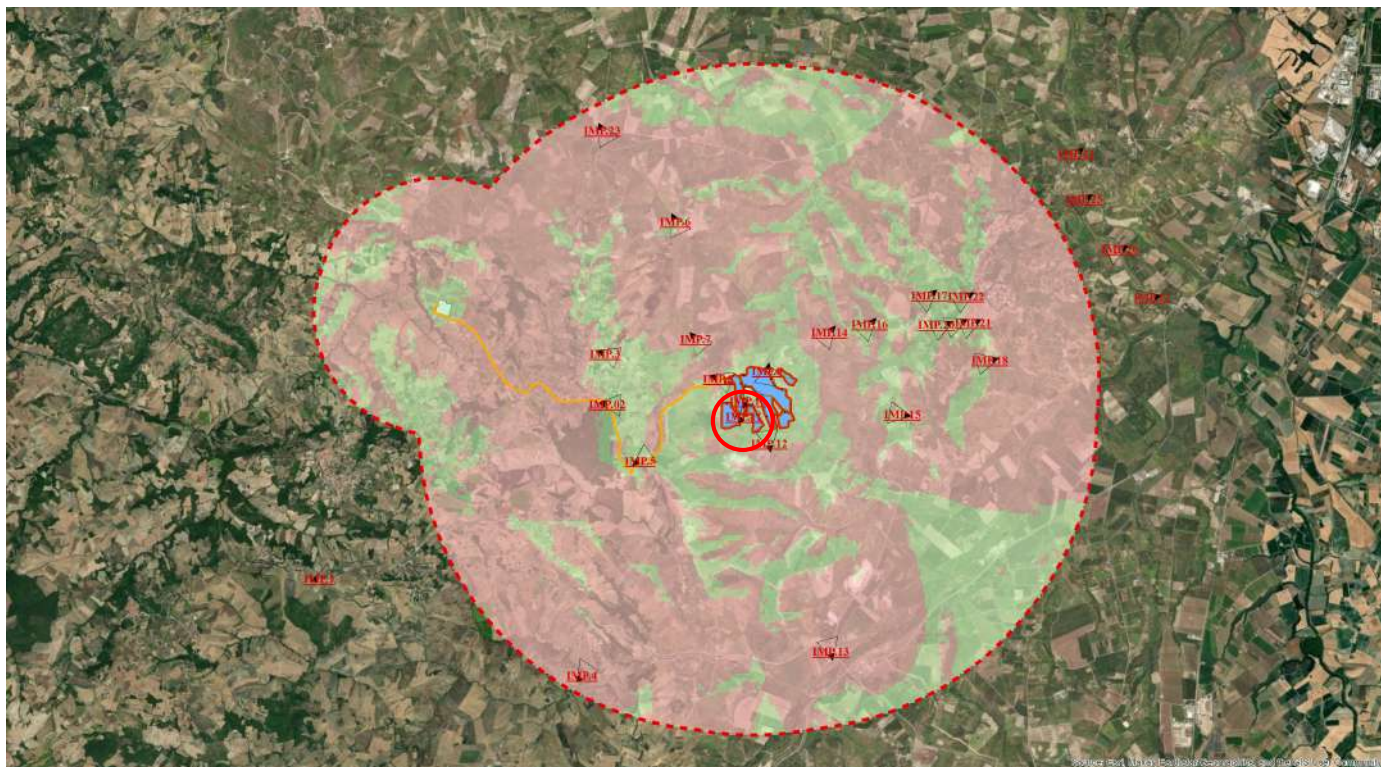


Fig. 55 Inquadramento punto di presa con cono ottico n. 11.f

Coordinate: 41,89616 - 14,86810



Fig. 56 Punto di presa n. 11.f sezione illustrative della morfologia del terreno

PUNTI DI PRESA DELL'IMPIANTO



Fig. 67 Punto di presa n. 11.f stato di fatto (Masseria Graziani)

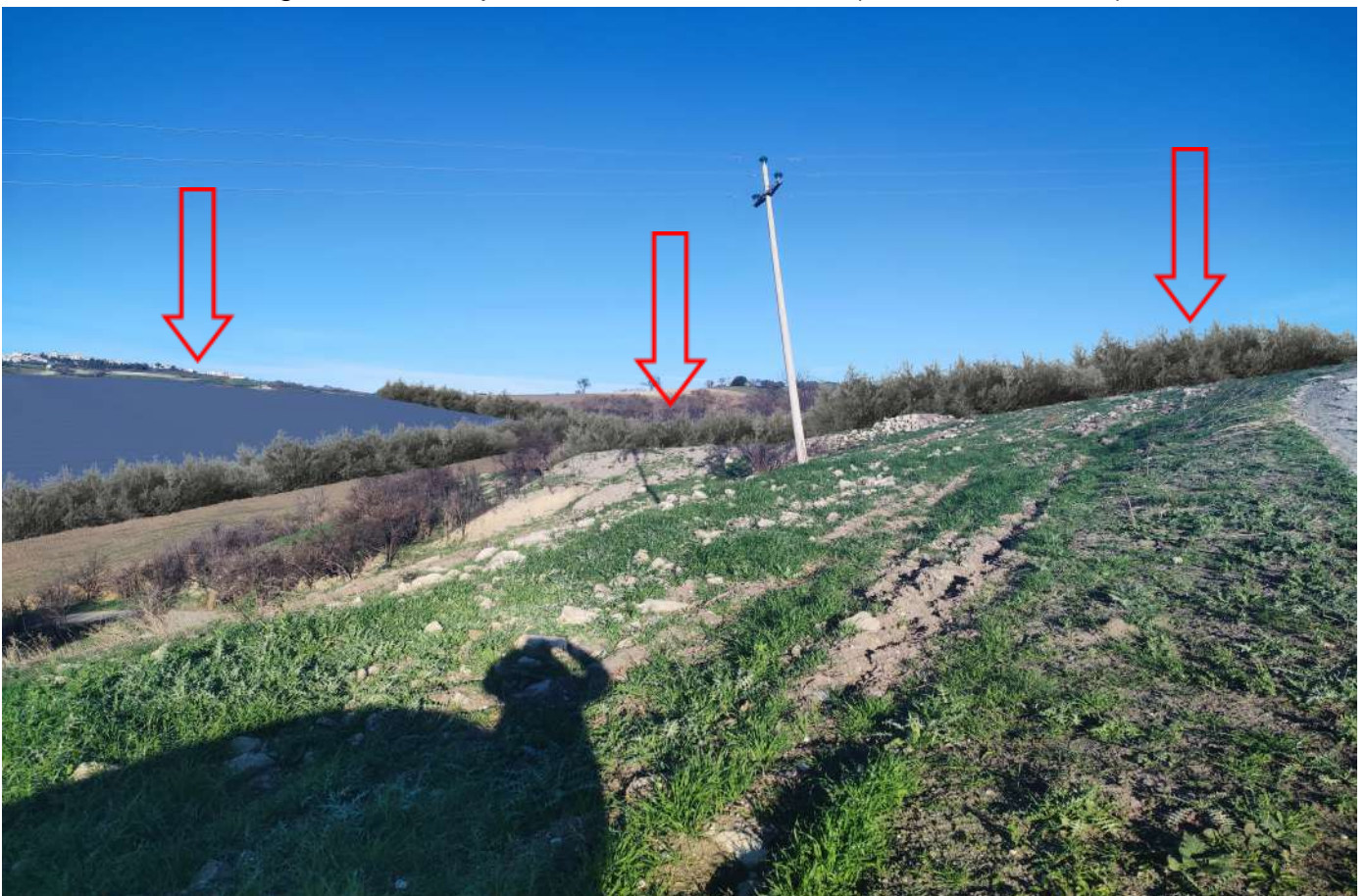


Fig. 68 Punto di presa n. 11.f stato di progetto (Masseria Graziani)

PUNTI DI PRESA DELL'IMPIANTO

- Punto di Presa n°12.a

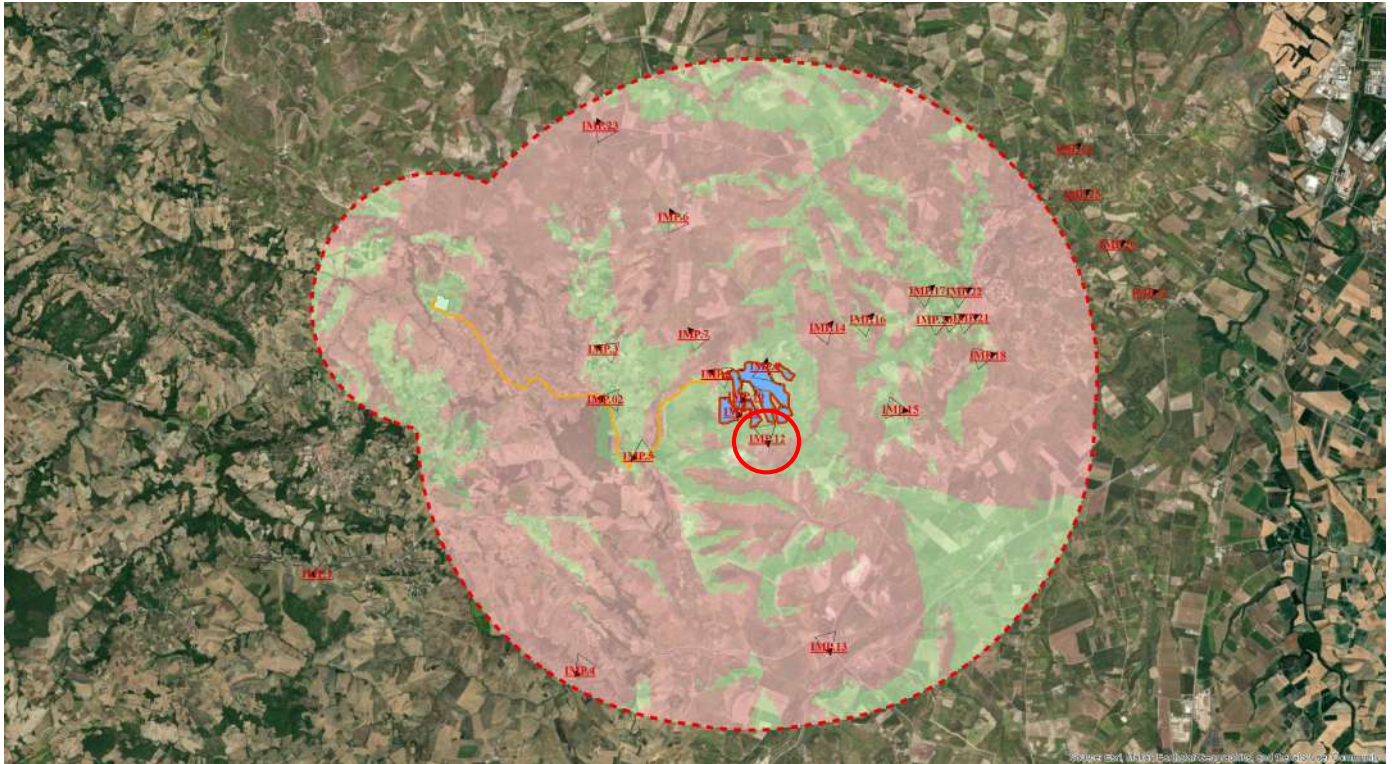


Fig. 69 Inquadramento punto di presa con cono ottico n. 12.a

Coordinate: 41,89217 - 14,87320



Fig. 70 Punto di presa n. 12.a sezione illustrativa della morfologia del terreno

PUNTI DI PRESA DELL'IMPIANTO



Fig. 71 Punto di presa n. 12.a stato di fatto (Strada Statale n°483 ora SP-Termolese)



Fig. 72 Punto di presa n. 12.a stato di progetto (Strada Statale n°483 ora SP-Termolese)

PUNTI DI PRESA DELL'IMPIANTO

- Punto di Presa n°12.b

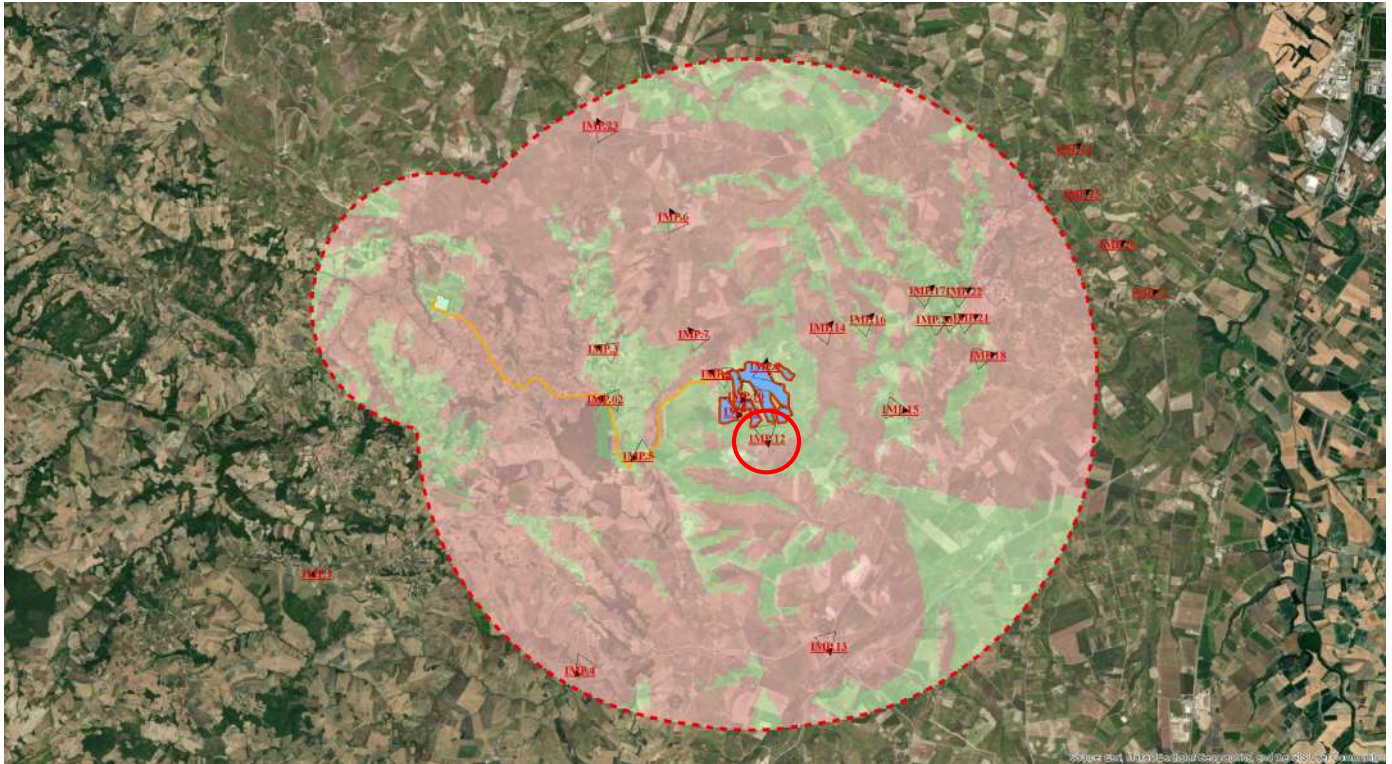


Fig. 69 Inquadramento punto di presa con cono ottico n. 12.b

Coordinate: 41,89217 - 14,87320



Fig. 70 Punto di presa n. 12.b sezione illustrative della morfologia del terreno

PUNTI DI PRESA DELL'IMPIANTO



Fig. 73 Punto di presa n. 12 stato di fatto (Strada Statale n°483 ora SP-Termolese)



Fig. 74 Punto di presa n. 12 stato di progetto (Strada Statale n°483 ora SP-Termolese)

PUNTI DI PRESA DELL'IMPIANTO

- Punto di Presa n°13

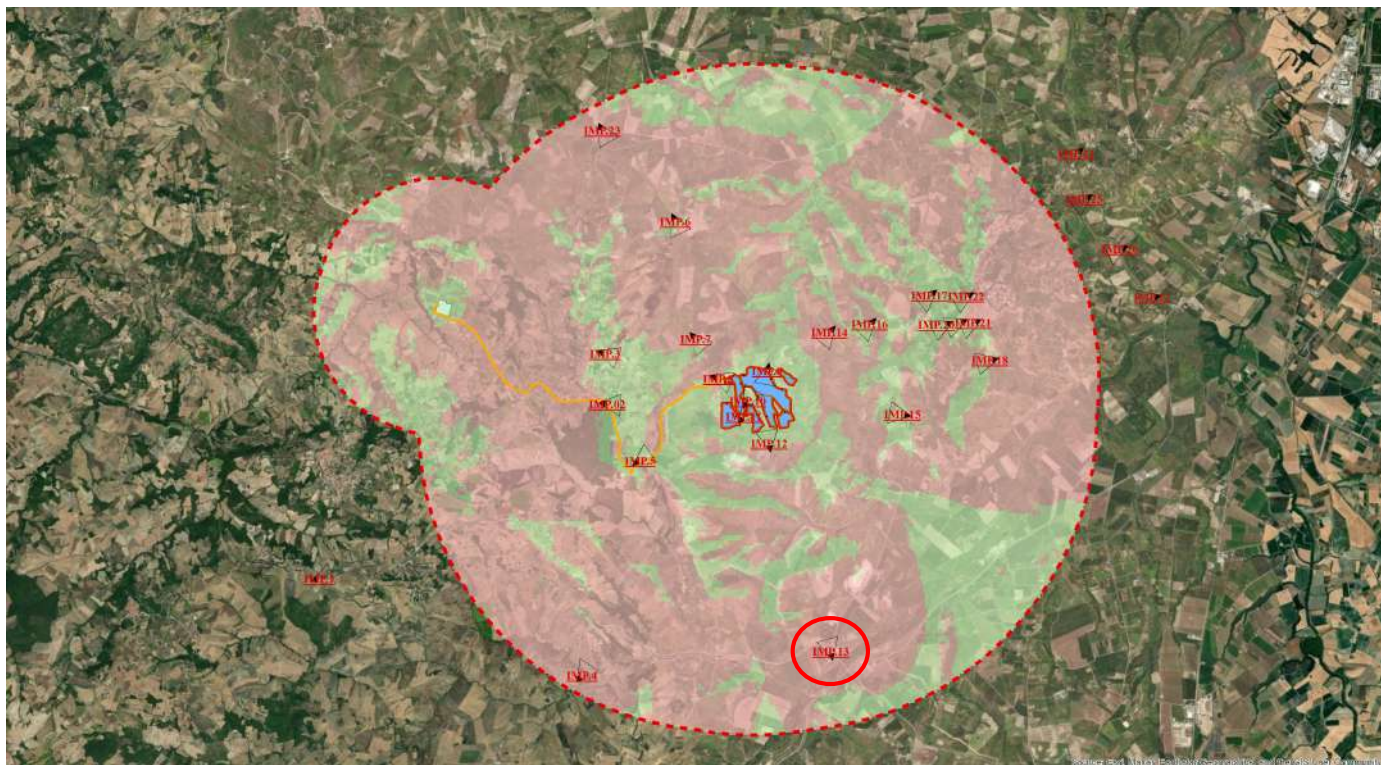


Fig. 75 Inquadramento punto di presa con cono ottico n. 13

Coordinate: 41,86130 - 14,88550

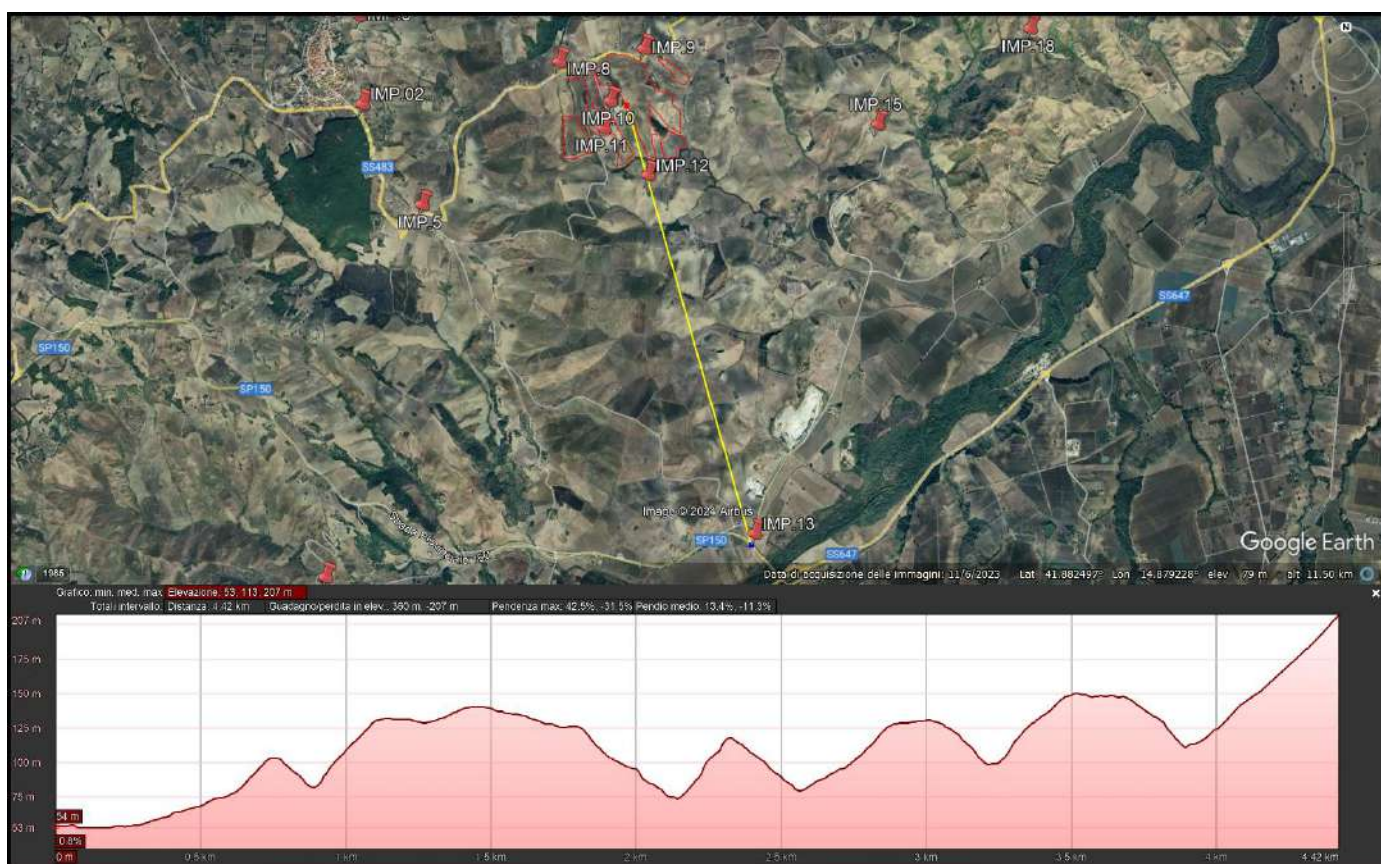


Fig. 76 Punto di presa n. 13 sezione illustrative della morfologia del terreno

PUNTI DI PRESA DELL'IMPIANTO



Fig. 77 Punto di presa n. 13 stato di fatto (Tratturo Ateleta Biferno Sant'Andrea)



Fig. 78 Punto di presa n. 13 stato di progetto (Tratturo Ateleta Biferno Sant'Andrea)

PUNTI DI PRESA DELL'IMPIANTO

- Punto di Presa n°14

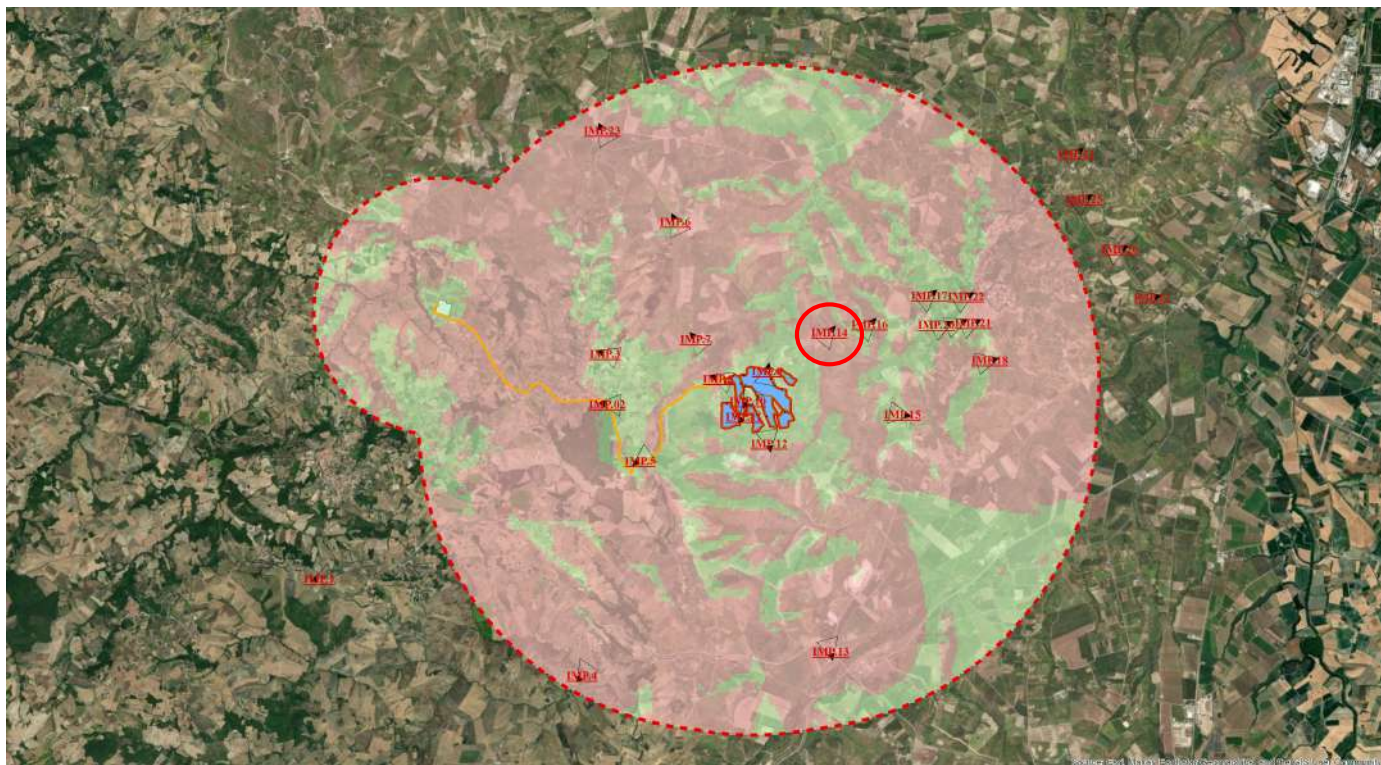


Fig. 79 Inquadramento punto di presa con cono ottico n. 14

Coordinate: 41,90865 - 14,88511

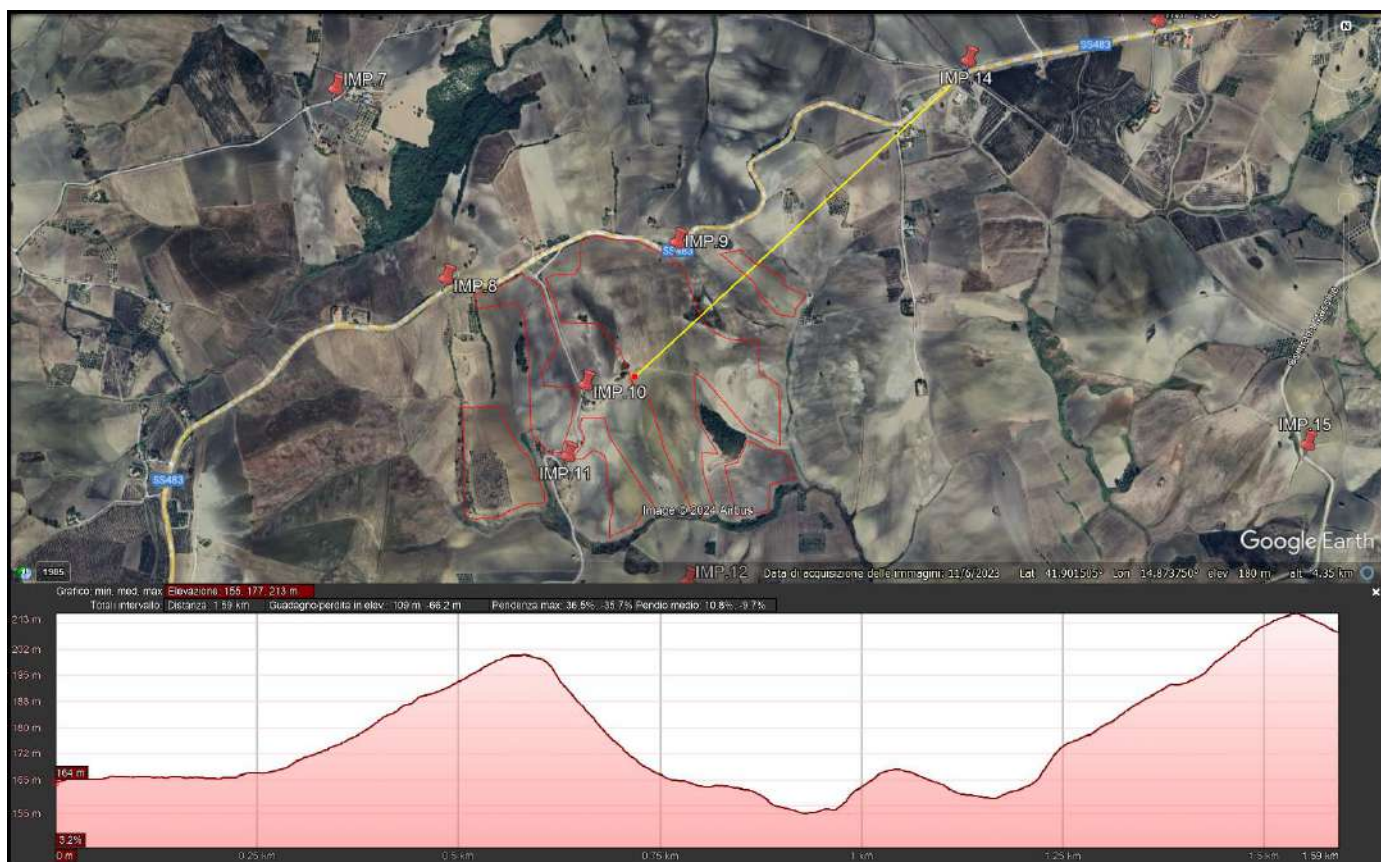


Fig. 80 Punto di presa n. 14 sezione illustrative della morfologia del terreno

PUNTI DI PRESA DELL'IMPIANTO



Fig. 81 Punto di presa n. 14 stato di fatto (Tratturo Centurelle-Montesecco)



Fig. 82 Punto di presa n. 14 stato di progetto (Tratturo Centurelle-Montesecco)

PUNTI DI PRESA DELL'IMPIANTO

- Punto di Presa n°15

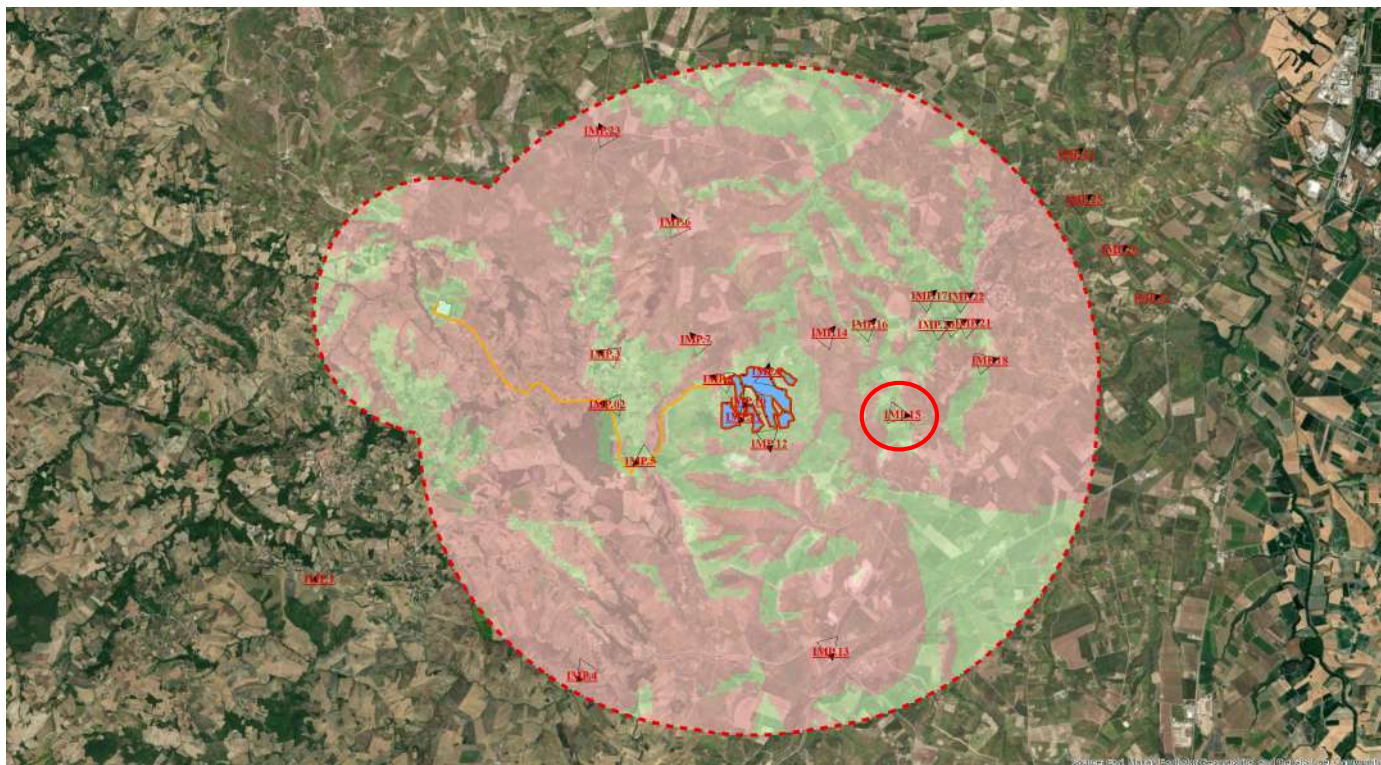


Fig. 83 Inquadramento punto di presa con cono ottico n. 15

Coordinate: 41,89650 - 14,89960



Fig. 84 Punto di presa n. 15 sezione illustrative della morfologia del terreno

PUNTI DI PRESA DELL'IMPIANTO



Fig. 85 Punto di presa n. 15 stato di fatto (Strada Provinciale 80 – Contrada Macchie)



Fig. 86 Punto di presa n. 15 stato di progetto (Strada Provinciale 80 – Contrada Macchie)

PUNTI DI PRESA DELL'IMPIANTO

- Punto di Presa n°16

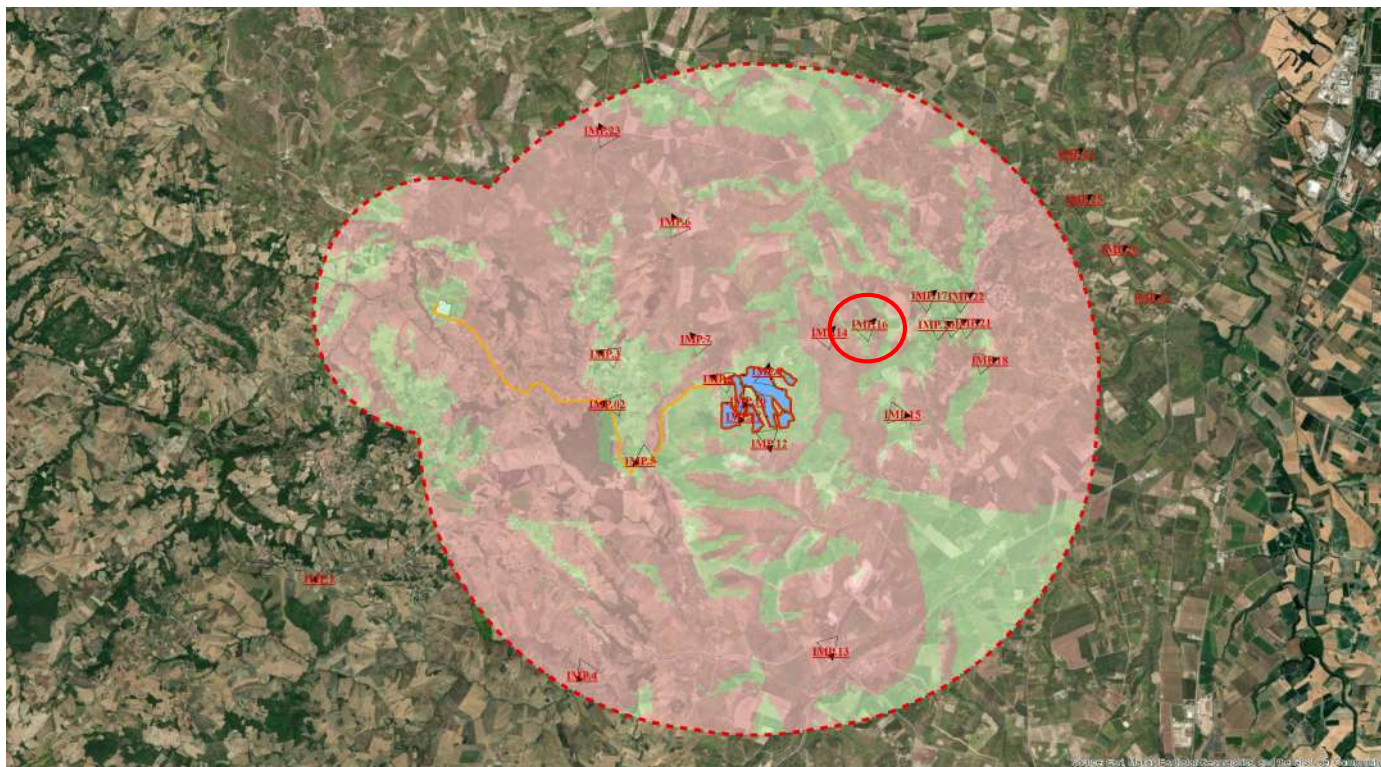


Fig. 87 Inquadramento punto di presa con cono ottico n. 16

Coordinate: 41,90986 - 14,89309

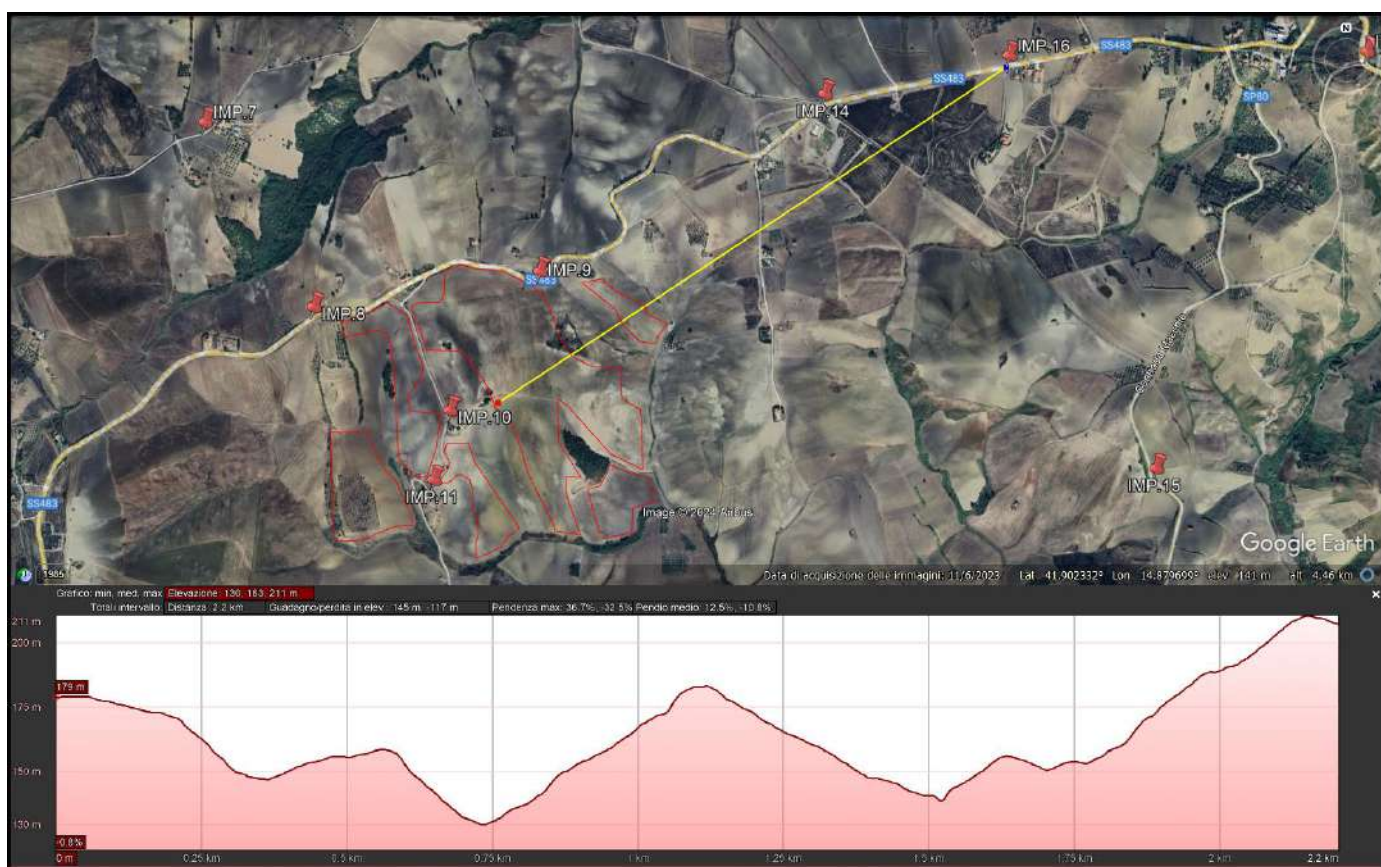


Fig. 88 Punto di presa n. 16 sezione illustrativa della morfologia del terreno

PUNTI DI PRESA DELL'IMPIANTO



Fig. 89 Punto di presa n. 16 stato di fatto (Strada Statale n°483 ora SP-Termolese)



Fig. 90 Punto di presa n. 16 stato di progetto (Strada Statale n°483 ora SP-Termolese)

PUNTI DI PRESA DELL'IMPIANTO

- Punto di Presa n°17

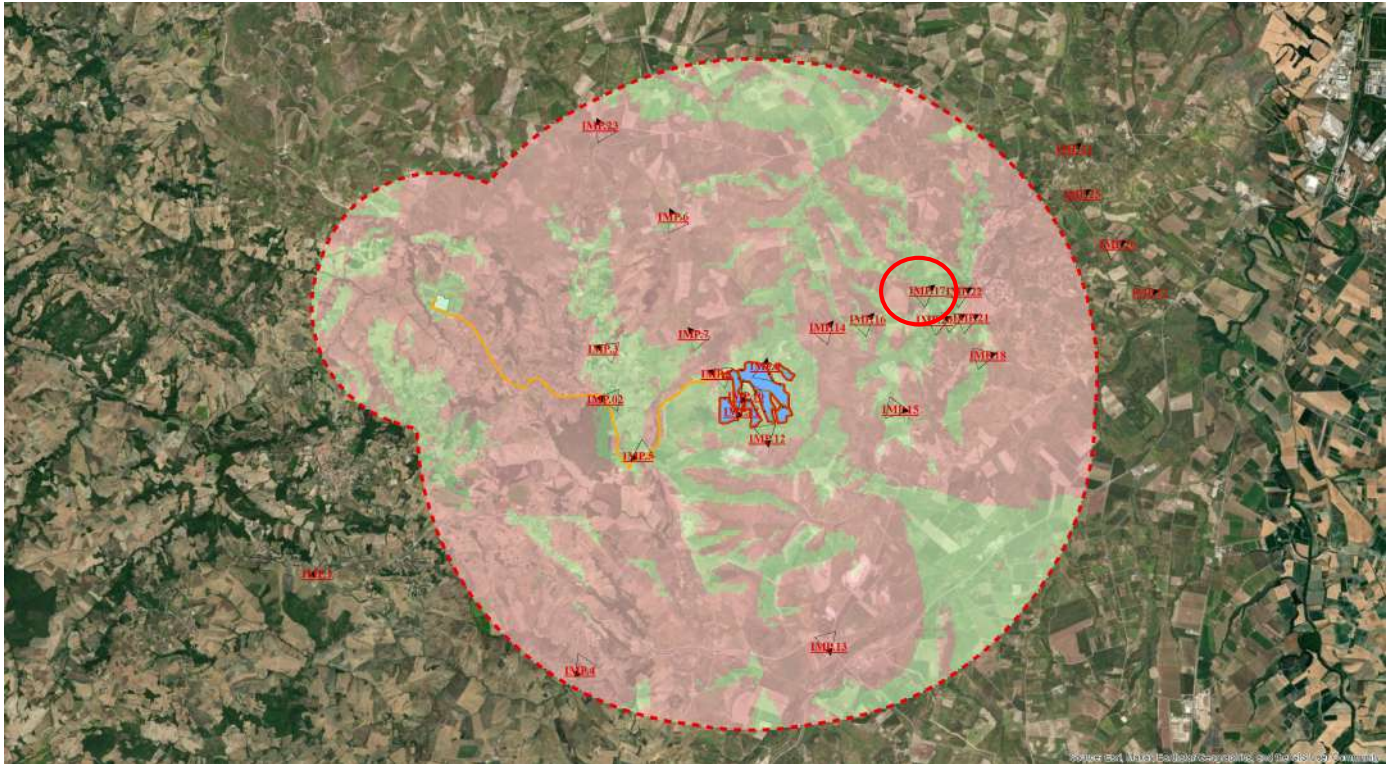


Fig. 91 Inquadramento punto di presa con cono ottico n. 17

Coordinate: 41,91414 - 14,90503

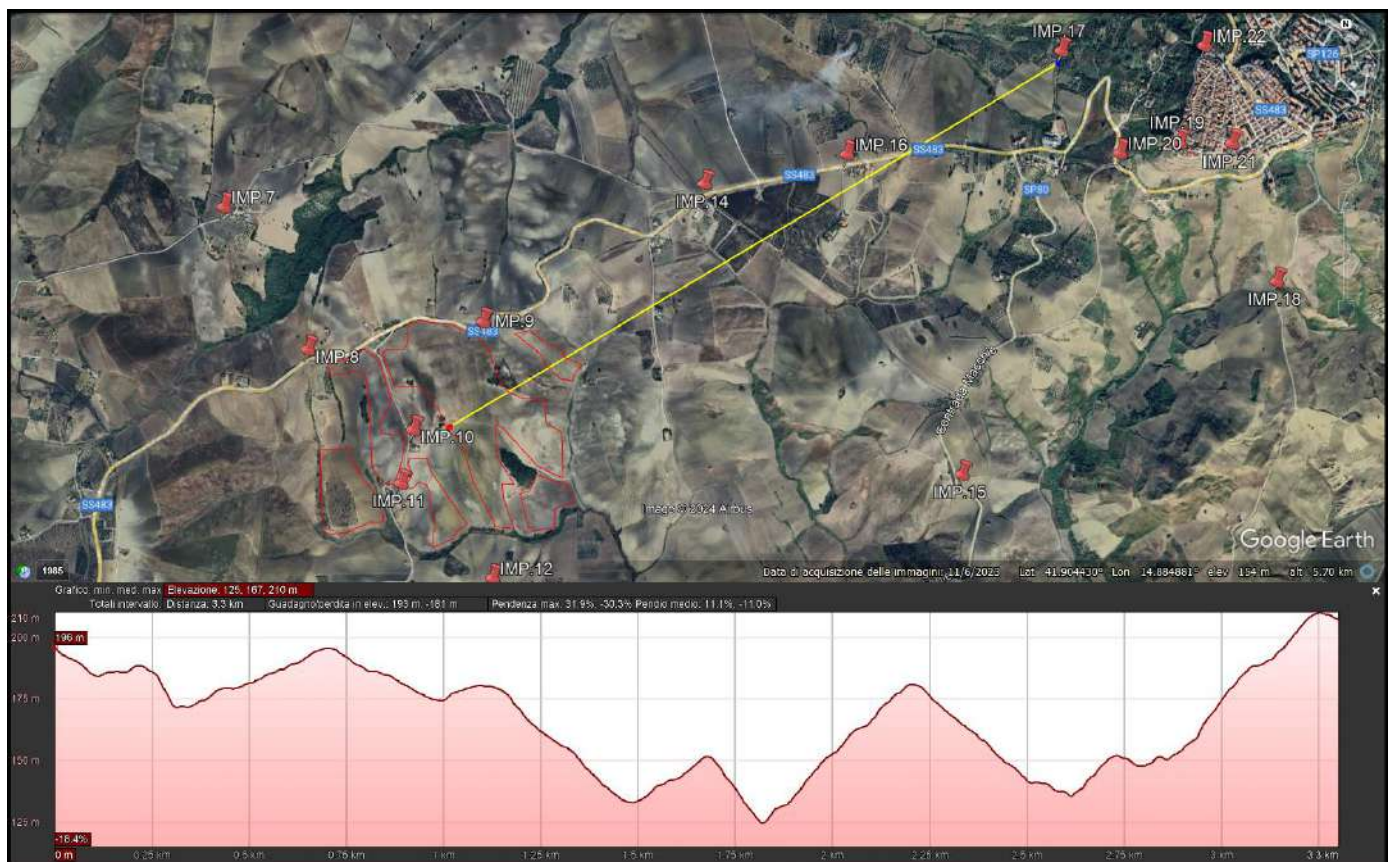


Fig. 92 Punto di presa n. 17 sezione illustrativa della morfologia del terreno

PUNTI DI PRESA DELL'IMPIANTO



Fig. 93 Punto di presa n. 17 stato di fatto (Punto panoramico del comune di Guglionesi)



Fig. 94 Punto di presa n. 17 stato di progetto (Punto panoramico del comune di Guglionesi)

PUNTI DI PRESA DELL'IMPIANTO

- Punto di Presa n°18

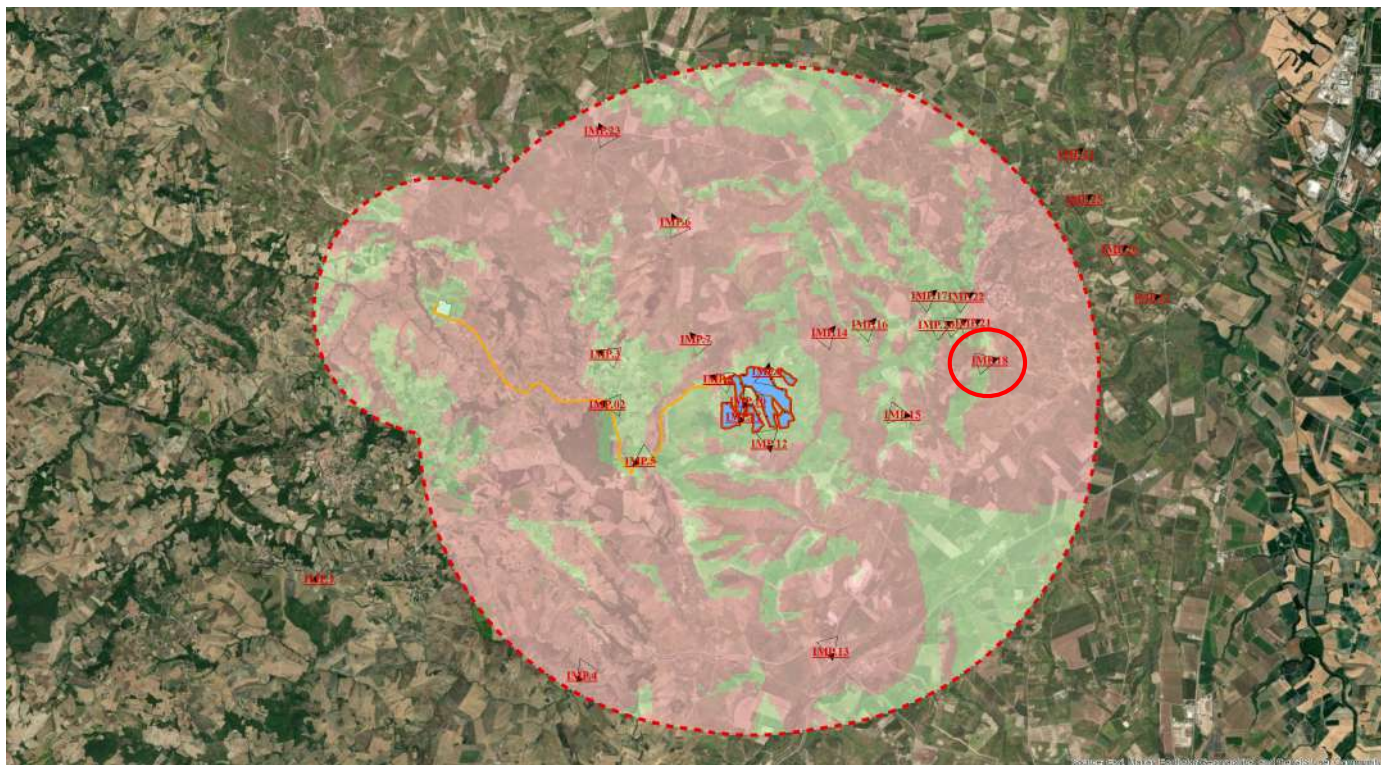


Fig. 95 Inquadramento punto di presa con cono ottico n. 18

Coordinate: 41,90457 - 14,91694

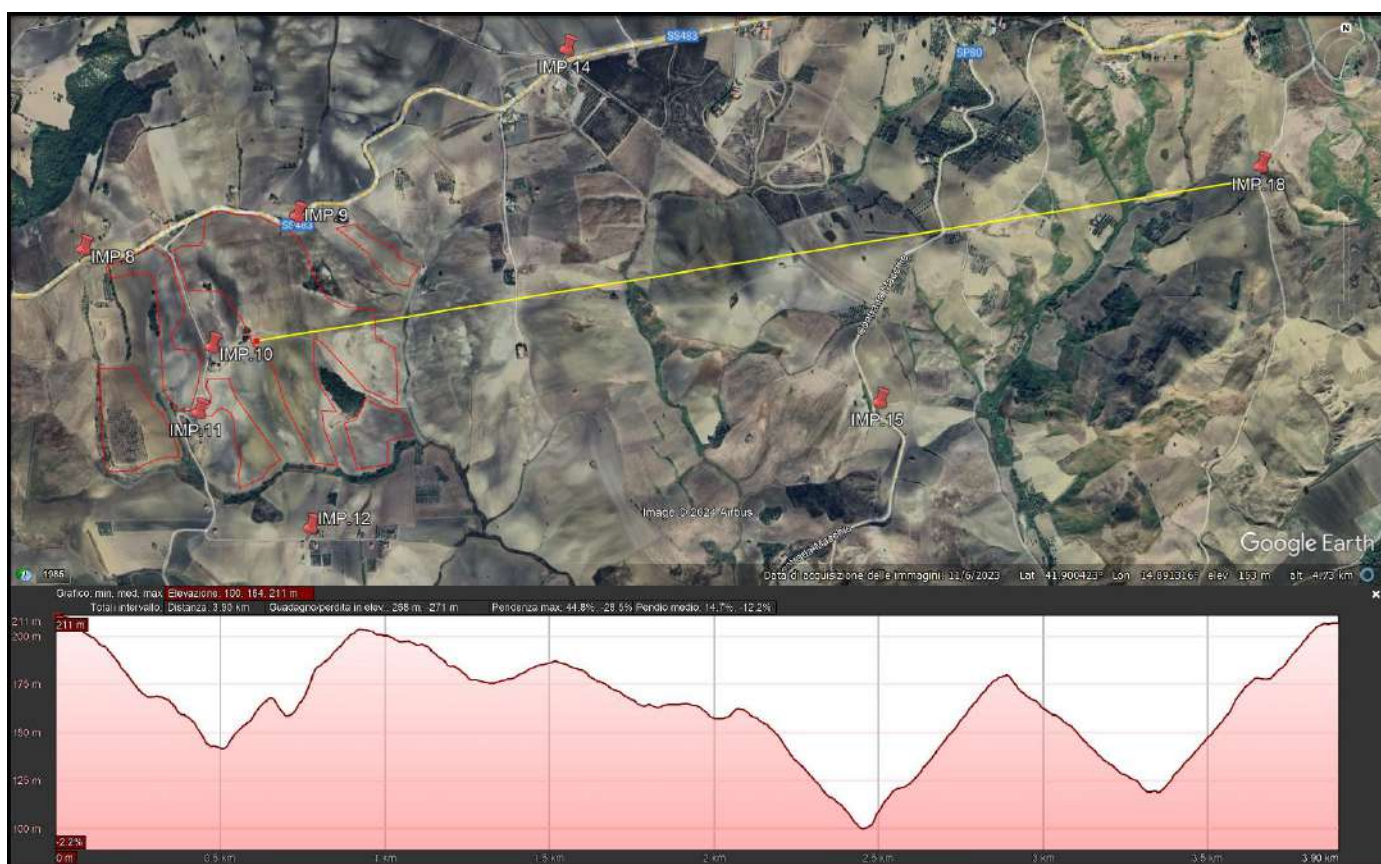


Fig. 96 Punto di presa n. 18 sezione illustrativa della morfologia del terreno

PUNTI DI PRESA DELL'IMPIANTO



Fig. 97 Punto di presa n. 18 stato di fatto (Strada Comunale)



Fig. 98 Punto di presa n. 18 stato di progetto (Strada Comunale)

PUNTI DI PRESA DELL'IMPIANTO

- Punto di Presa n°19

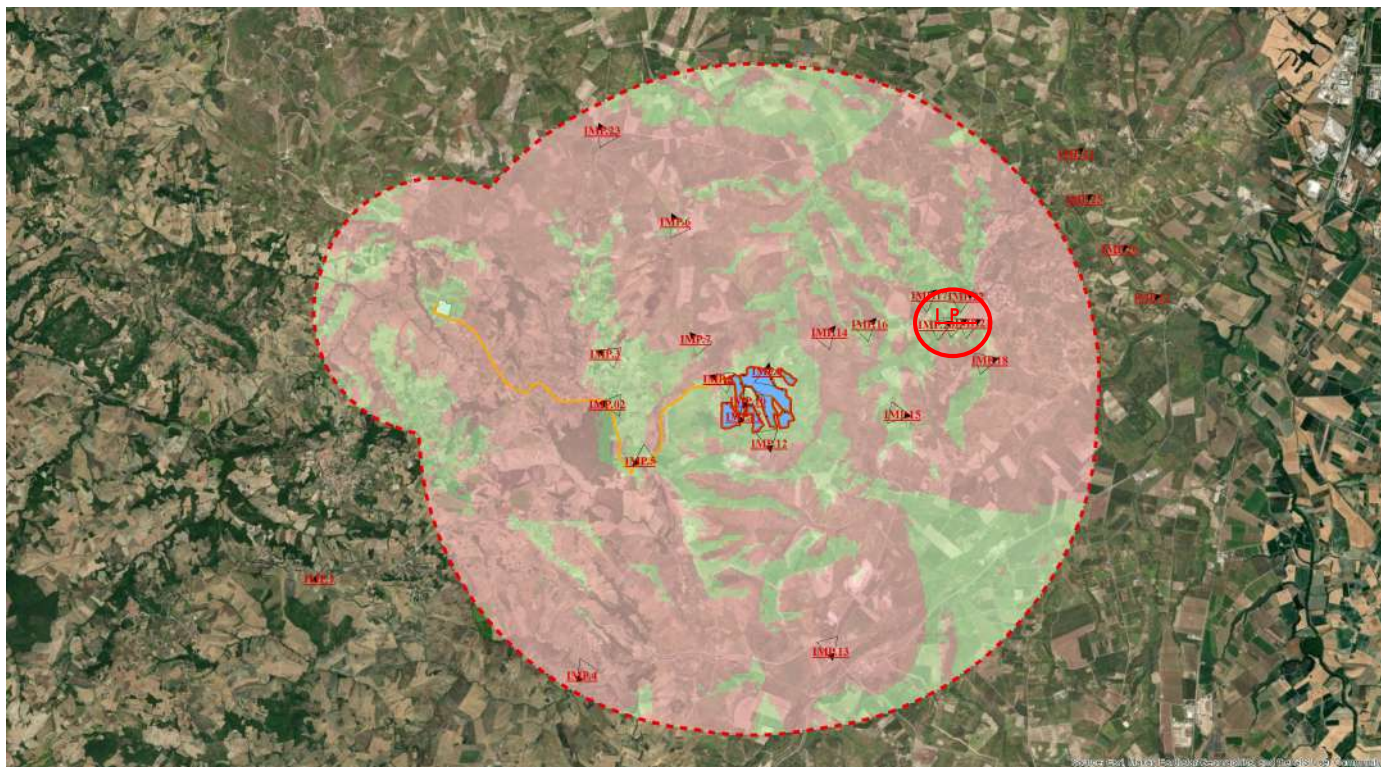


Fig. 99 Inquadramento punto di presa con cono ottico n. 19

Coordinate: 41,91012 - 14,91077



Fig. 100 Punto di presa n. 19 sezione illustrative della morfologia del terreno

PUNTI DI PRESA DELL'IMPIANTO



Fig. 101 Punto di presa n. 19 stato di fatto (Punto panoramico del comune di Guglionesi)

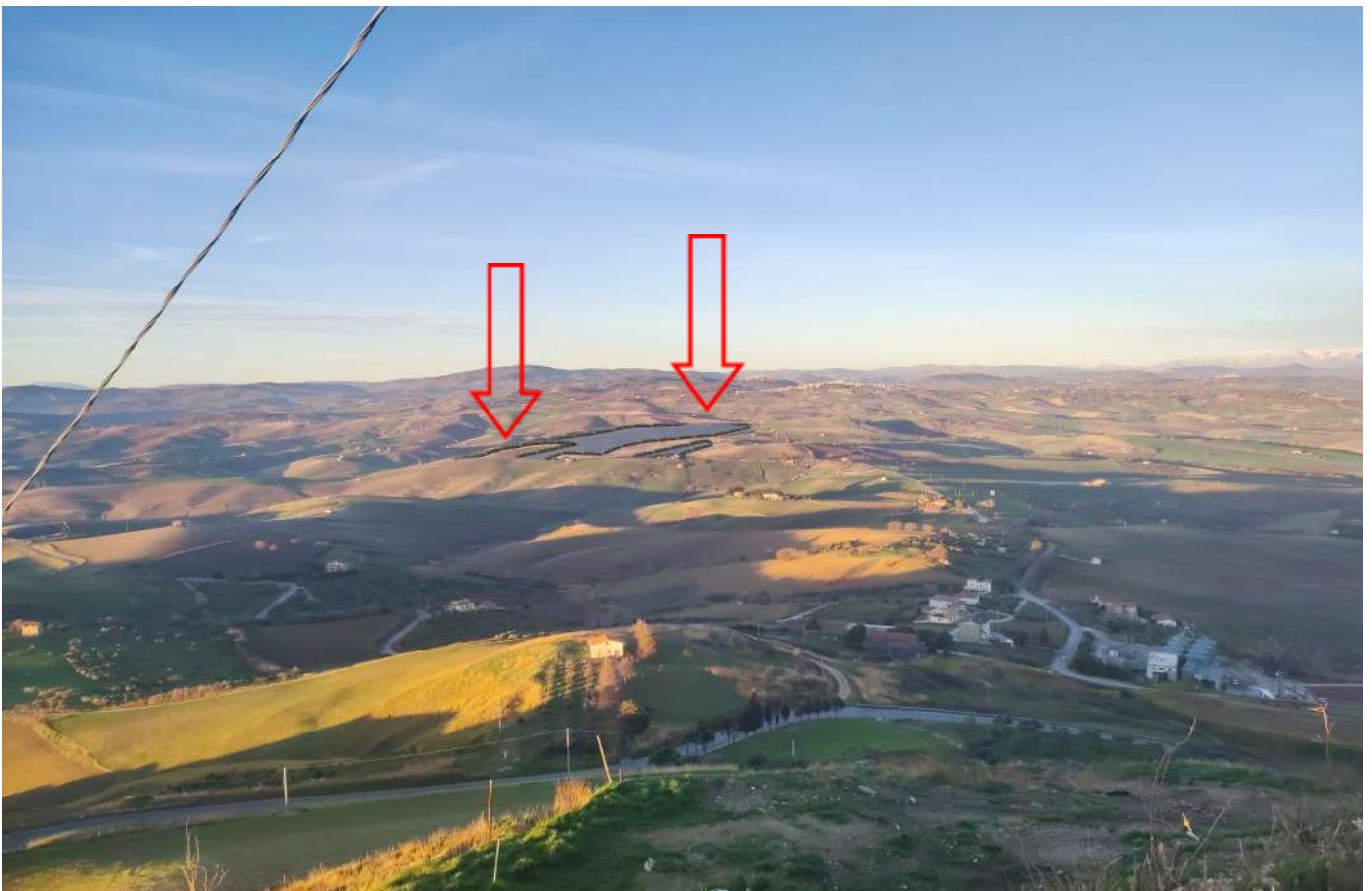


Fig. 102 Punto di presa n. 19 stato di progetto (Punto panoramico del comune di Guglionesi)

PUNTI DI PRESA DELL'IMPIANTO

- Punto di Presa n°20

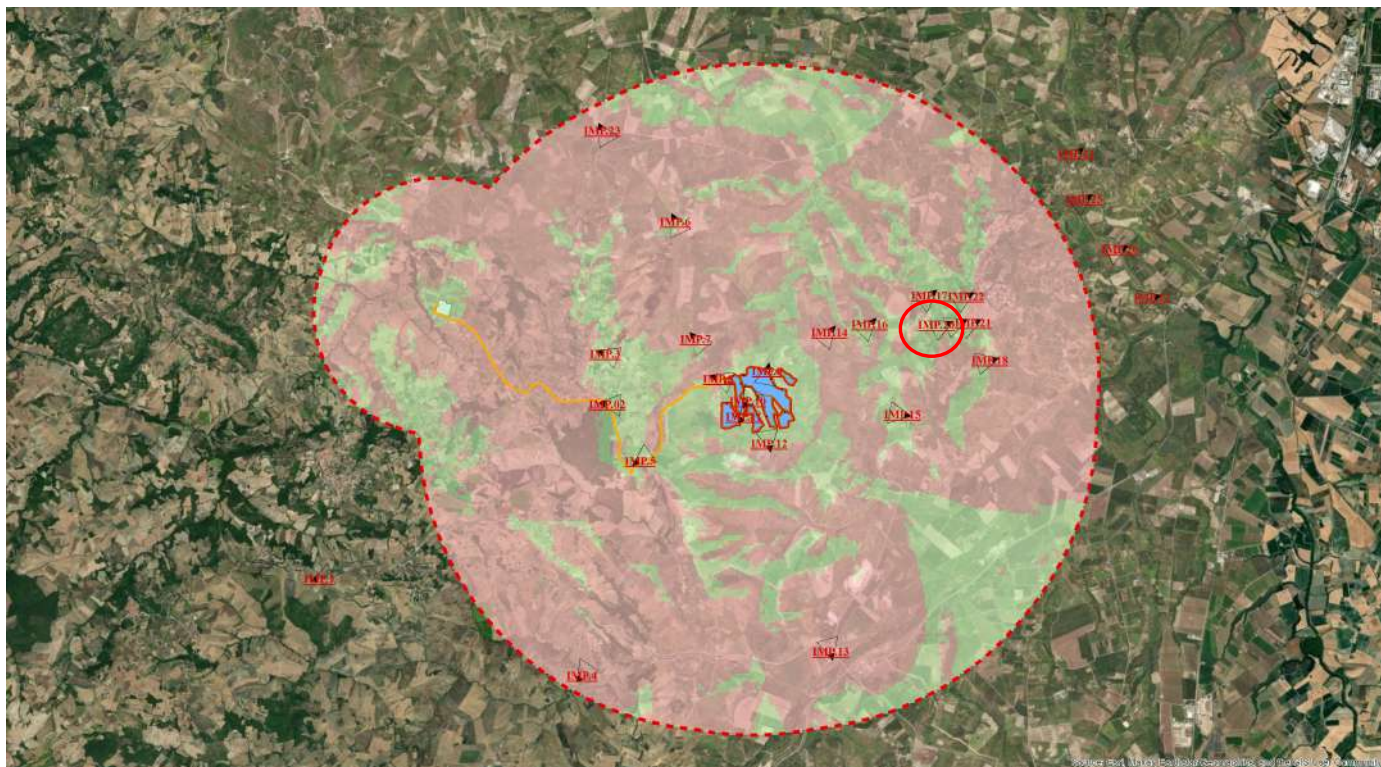


Fig. 103 Inquadramento punto di presa con cono ottico n. 20

Coordinate: 41,90980 - 14,90794

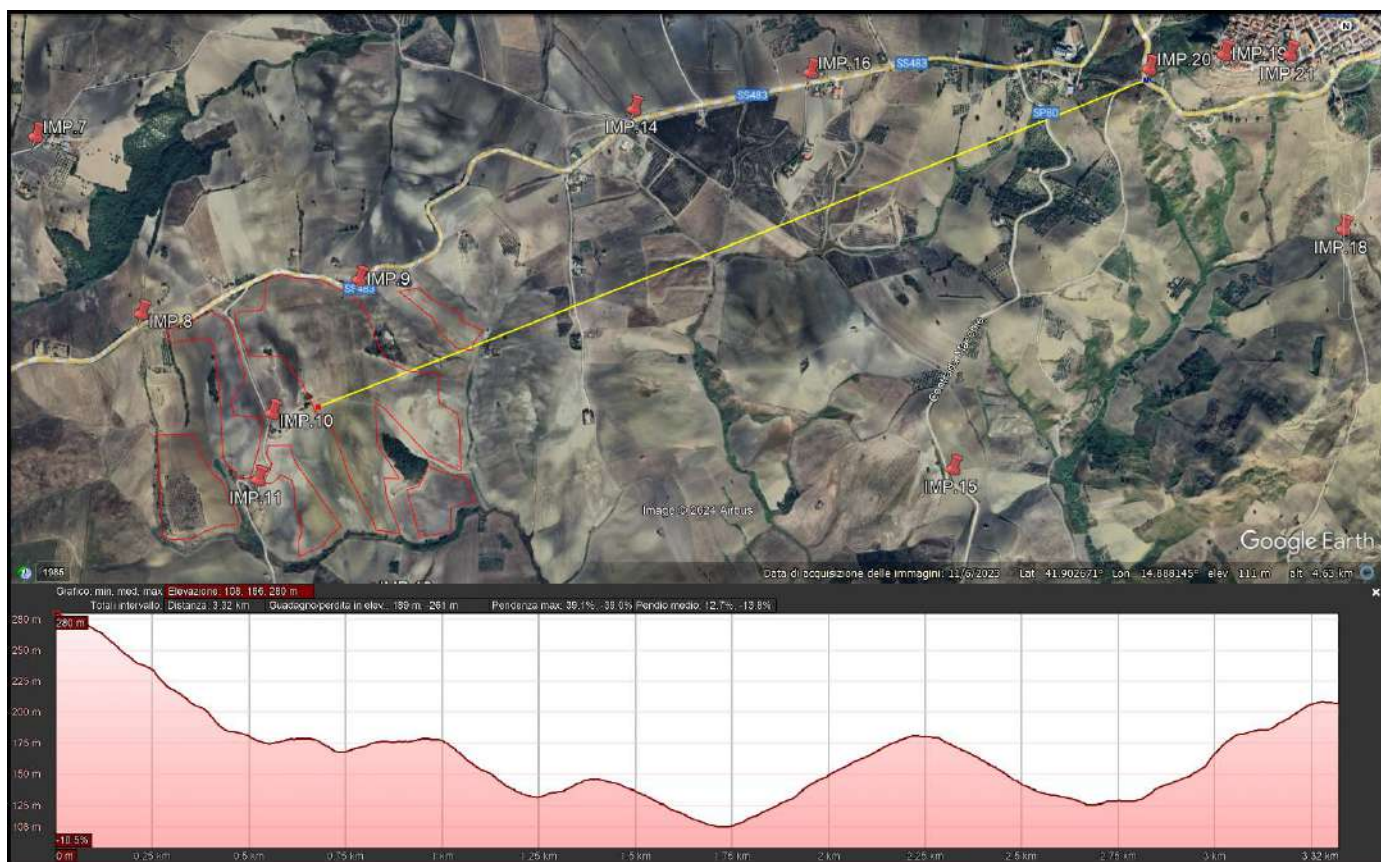


Fig. 104 Punto di presa n. 20 sezione illustrative della morfologia del terreno

PUNTI DI PRESA DELL'IMPIANTO



Fig. 105 Punto di presa n. 20 stato di fatto (Strada Statale n°483 ora SP-Termolese)



Fig. 106 Punto di presa n. 20 stato di progetto (Strada Statale n°483 ora SP-Termolese)

PUNTI DI PRESA DELL'IMPIANTO

- Punto di Presa n°21

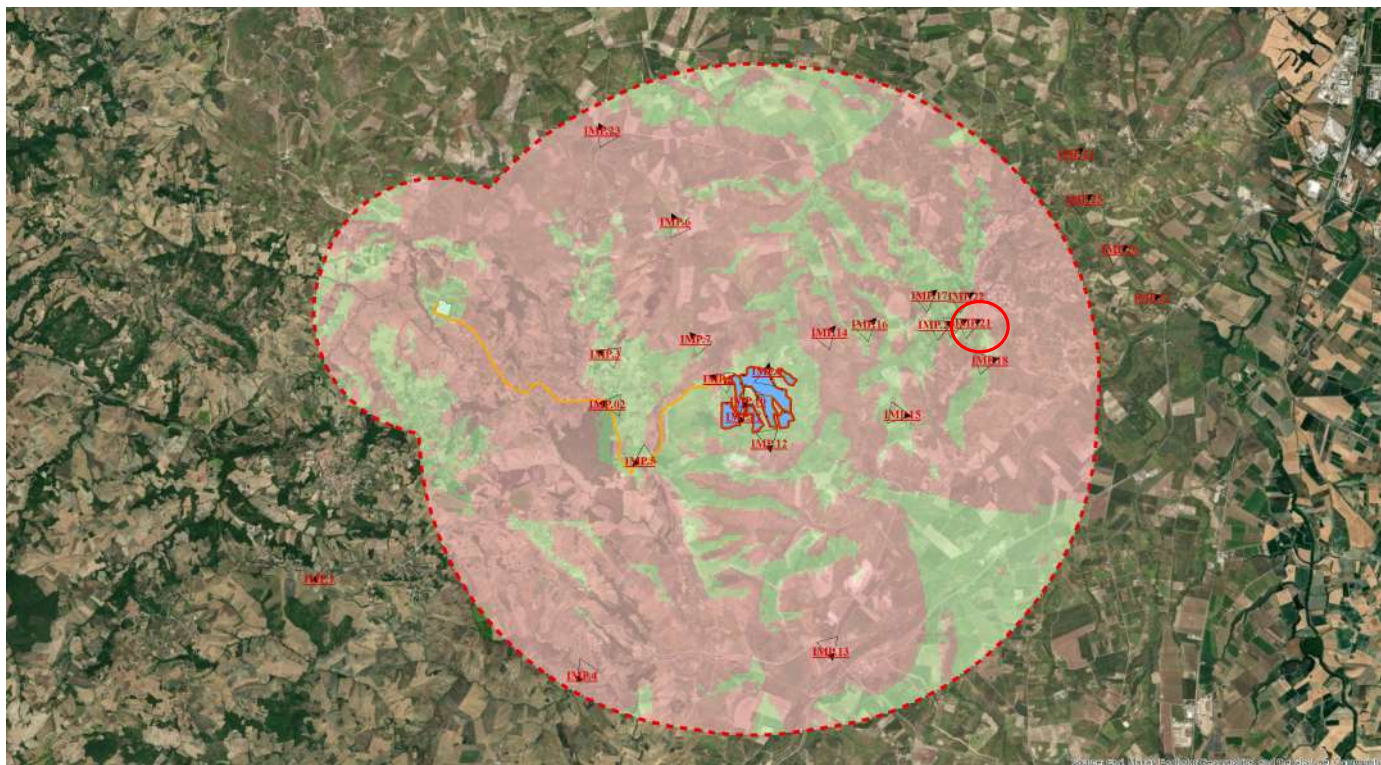


Fig. 107 Inquadramento punto di presa con cono ottico n. 21

Coordinate: 41,91011 - 14,91365



Fig. 108 Punto di presa n. 21 sezione illustrative della morfologia del terreno

PUNTI DI PRESA DELL'IMPIANTO



Fig. 109 Punto di presa n. 21 stato di fatto (Castello da Capo)



Fig. 110 Punto di presa n. 21 stato di progetto (Castello da Capo)

PUNTI DI PRESA DELL'IMPIANTO

- Punto di Presa n°22

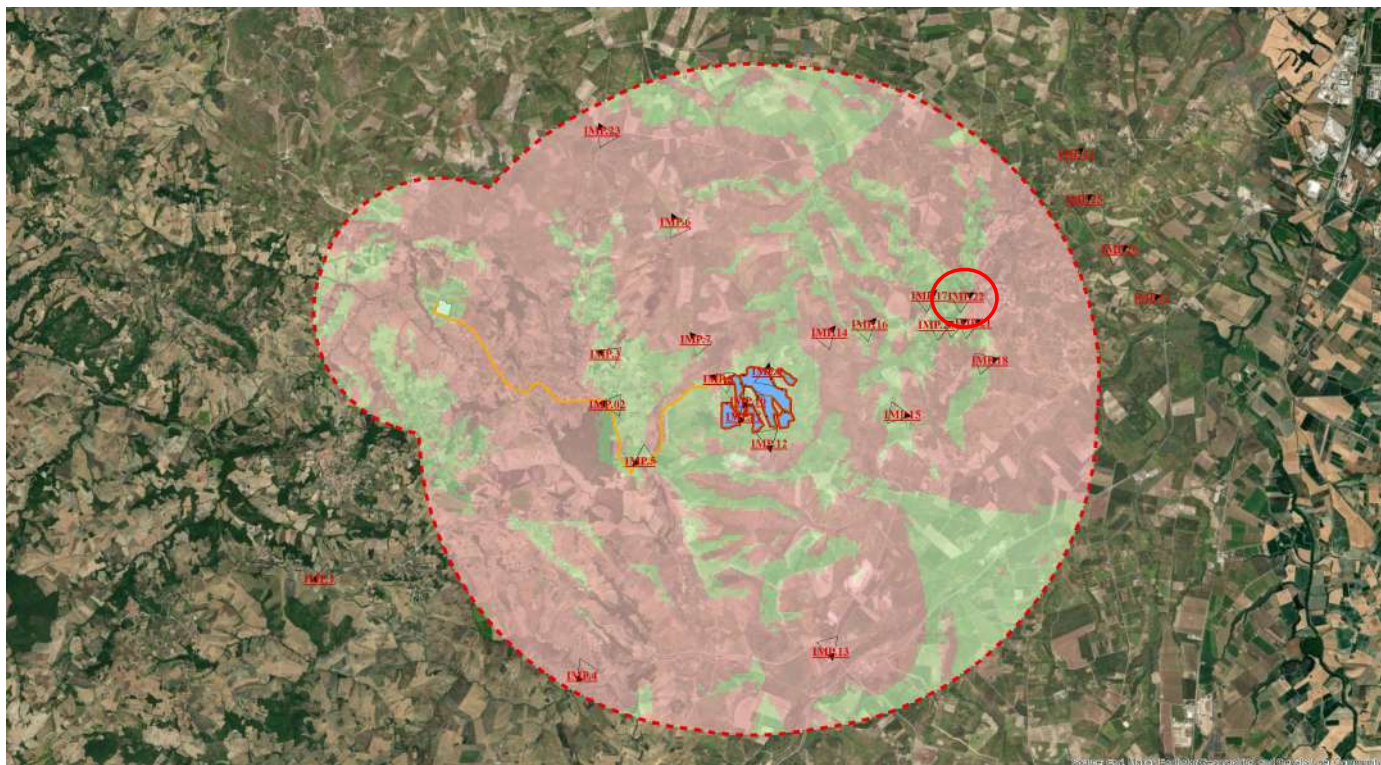


Fig. 111 Inquadramento punto di presa con cono ottico n. 22

Coordinate: 41,91406 - 14,91221

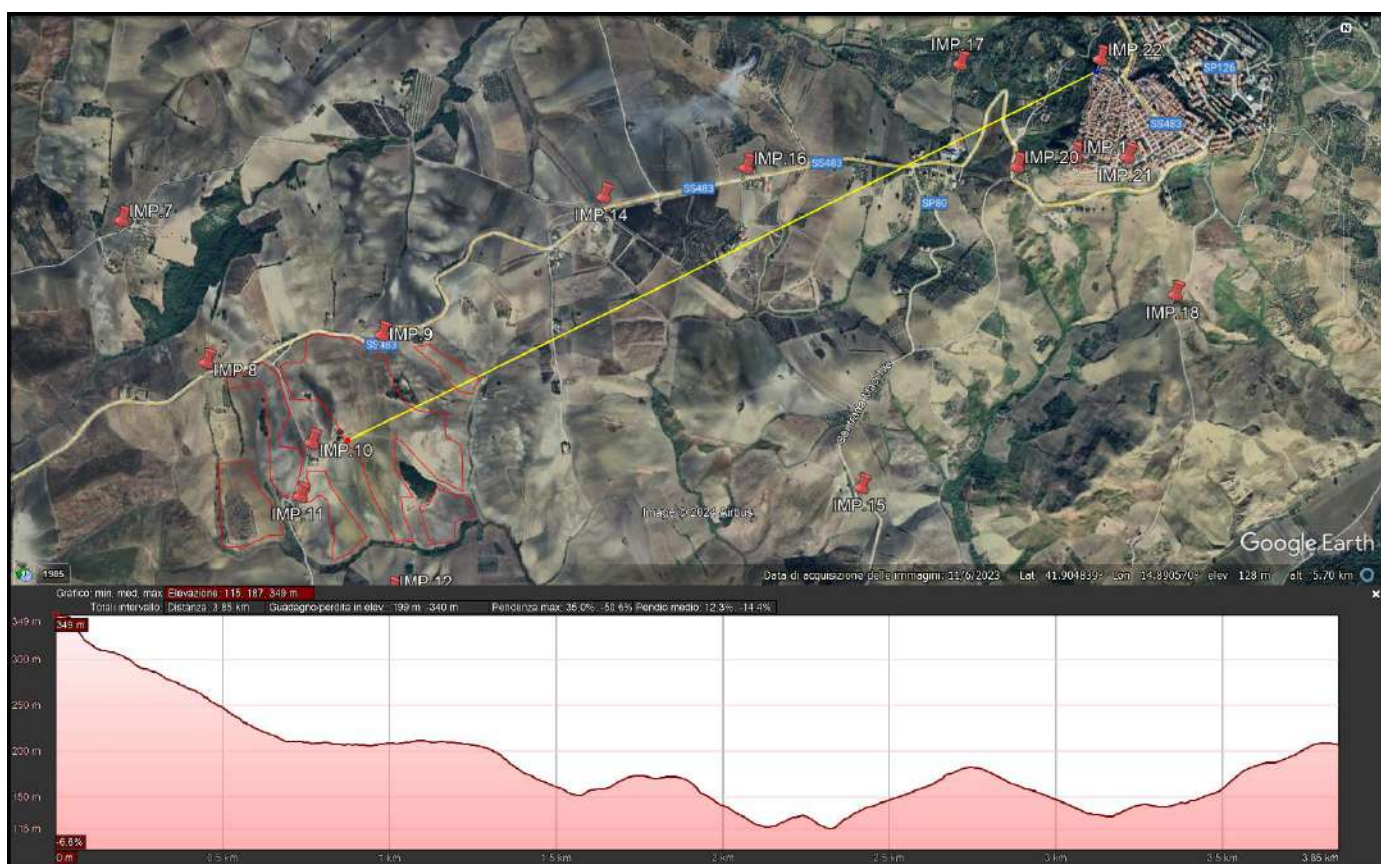


Fig. 112 Punto di presa n. 22 sezione illustrative della morfologia del terreno

PUNTI DI PRESA DELL'IMPIANTO



Fig. 113 Punto di presa n. 22 stato di fatto (Punto panoramico del comune di Guglionesi)



Fig. 114 Punto di presa n. 22 stato di progetto (Punto panoramico del comune di Guglionesi)

PUNTI DI PRESA DELL'IMPIANTO

- Punto di Presa n°23

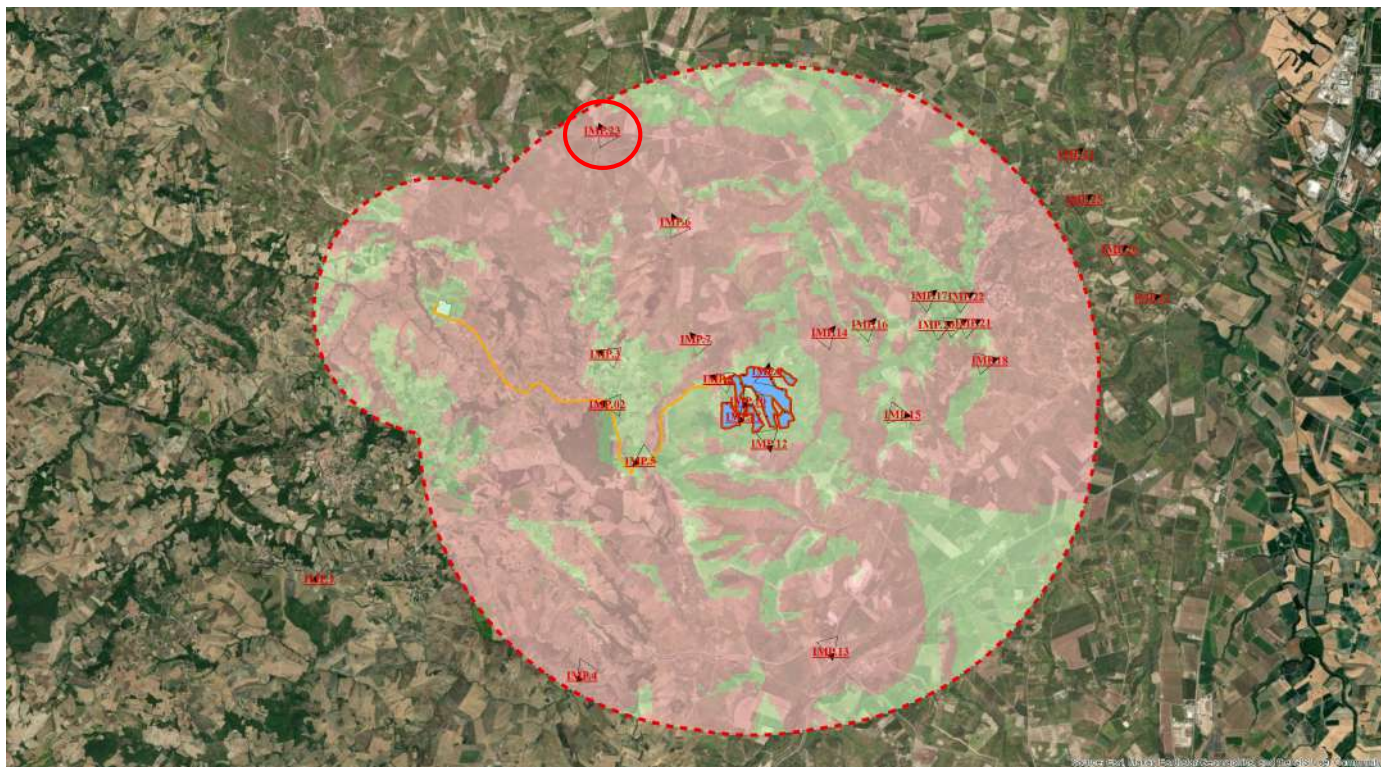


Fig. 115 Inquadramento punto di presa con cono ottico n. 23

Coordinate: 41,93855 - 14,83992

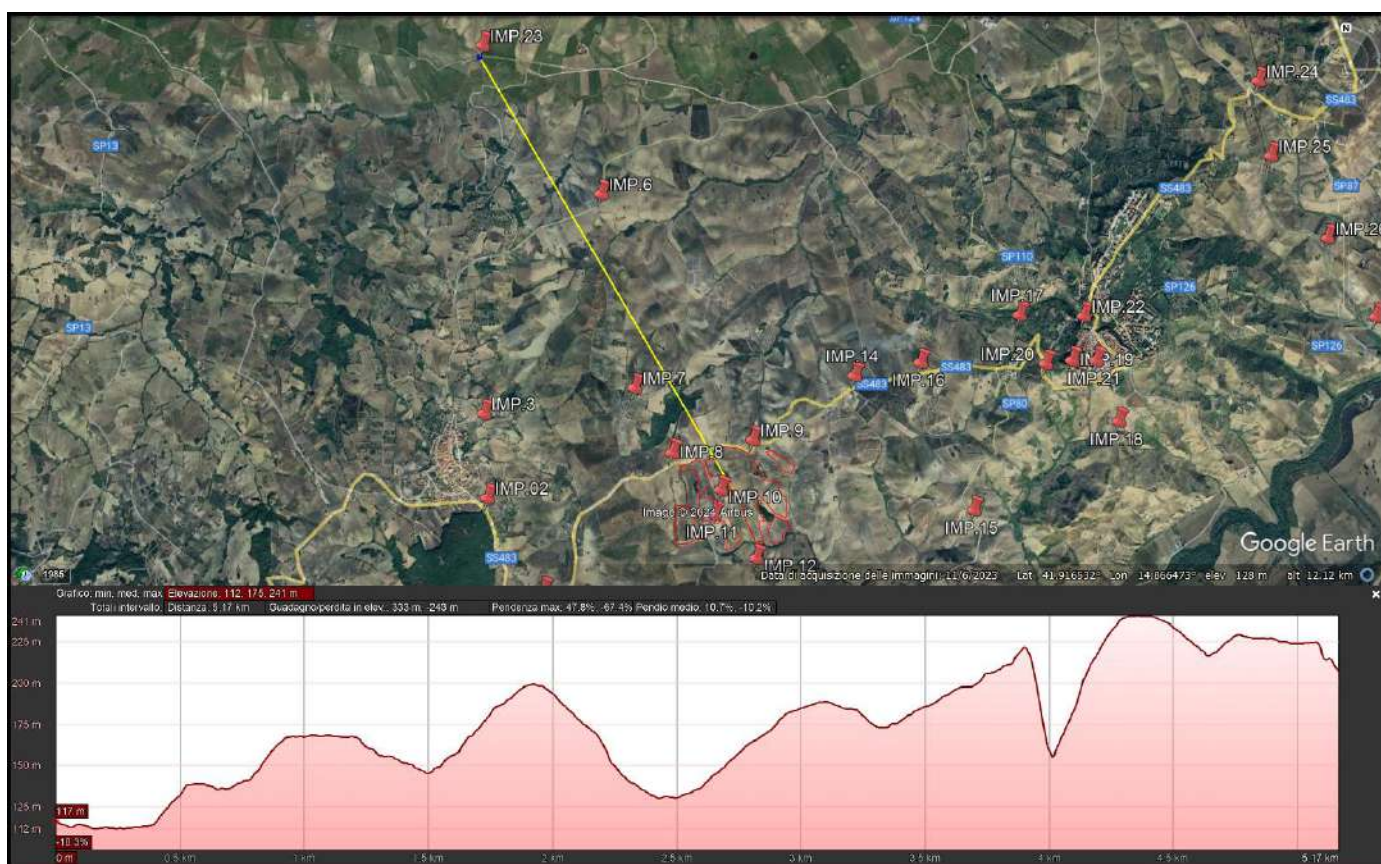


Fig. 116 Punto di presa n. 23 sezione illustrativa della morfologia del terreno

PUNTI DI PRESA DELL'IMPIANTO



Fig. 117 Punto di presa n. 23 stato di fatto (Tratturo Centurelle - Montesecco)



Fig. 118 Punto di presa n. 23 stato di progetto (Tratturo Centurelle - Montesecco)

PUNTI DI PRESA DELL'IMPIANTO

- Punto di Presa n°24

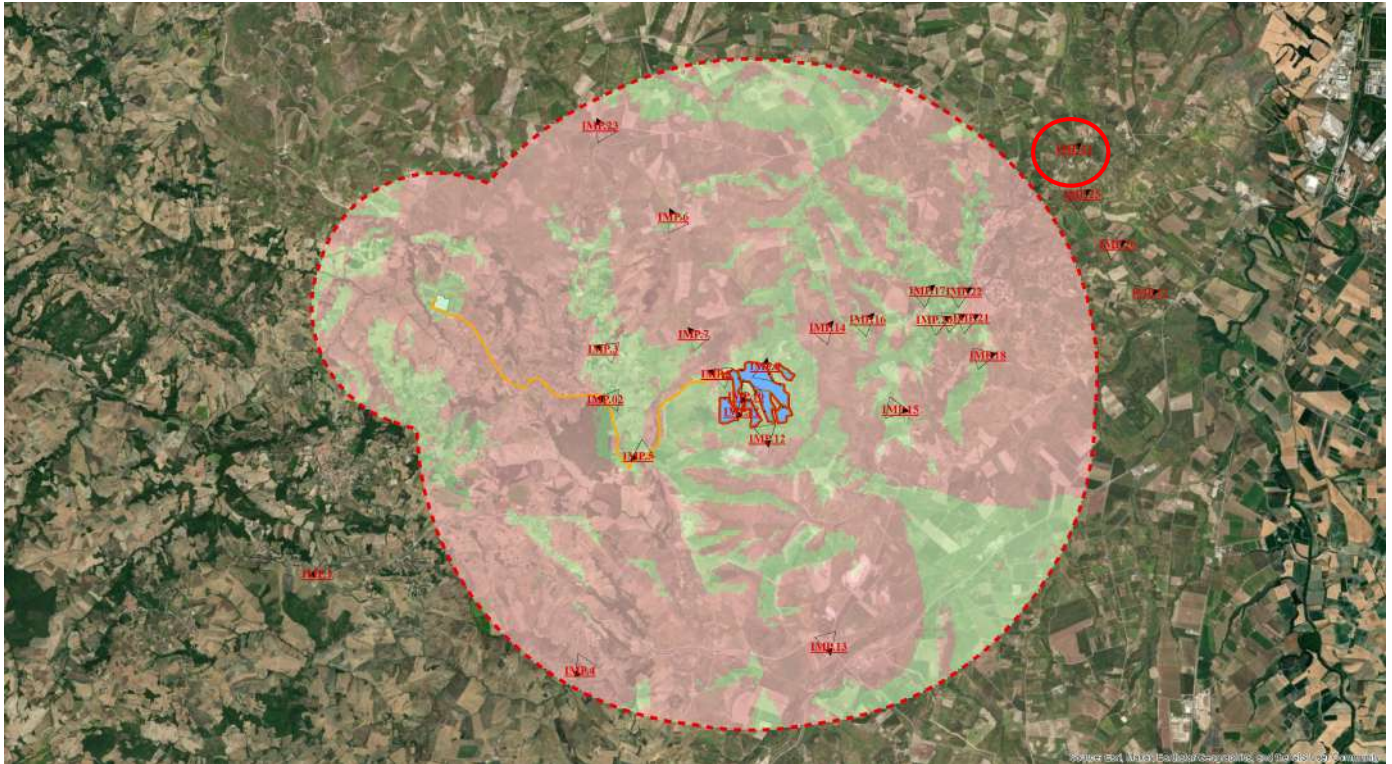


Fig. 119 Inquadramento punto di presa con cono ottico n. 24

Coordinate: 41,93524 - 14,93410

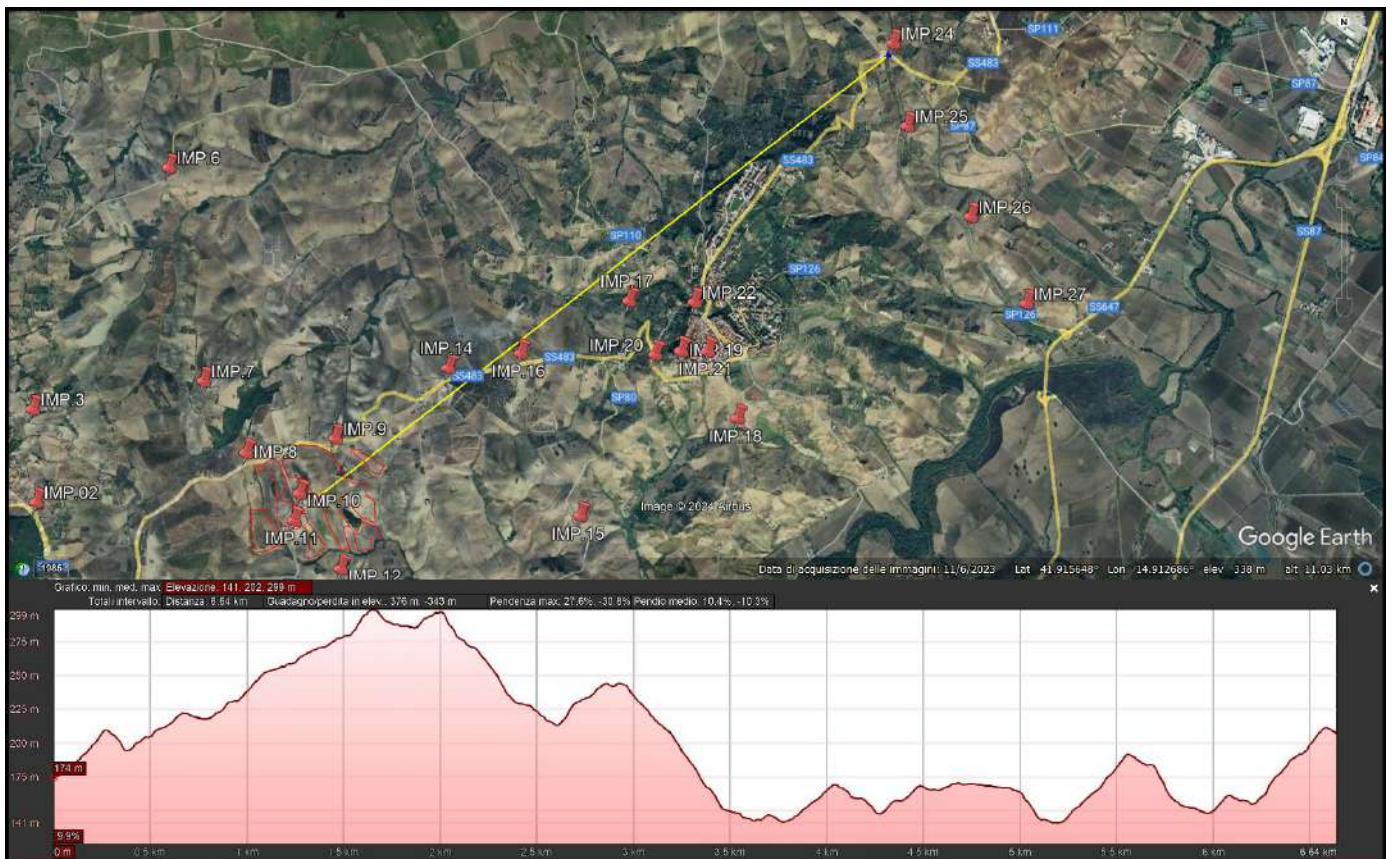


Fig. 120 Punto di presa n. 24 sezione illustrativa della morfologia del terreno

PUNTI DI PRESA DELL'IMPIANTO



Fig. 121 Punto di presa n. 24 stato di fatto (Tratturo S.Andrea Biferno)



Fig. 122 Punto di presa n. 24 stato di progetto (Tratturo S.Andrea Biferno)

PUNTI DI PRESA DELL'IMPIANTO

- Punto di Presa n°25

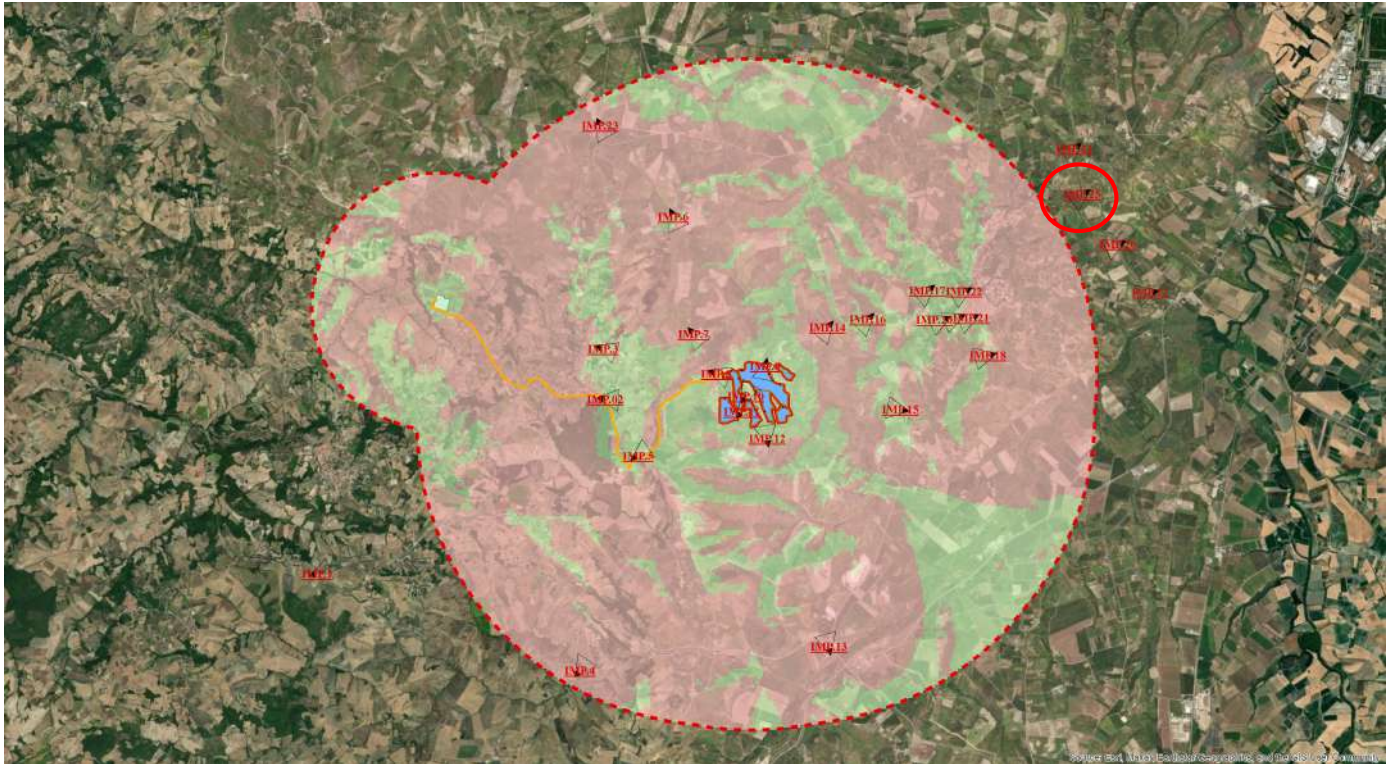


Fig. 123 Inquadramento punto di presa con cono ottico n. 25

Coordinate: 41,92848 - 14,93567

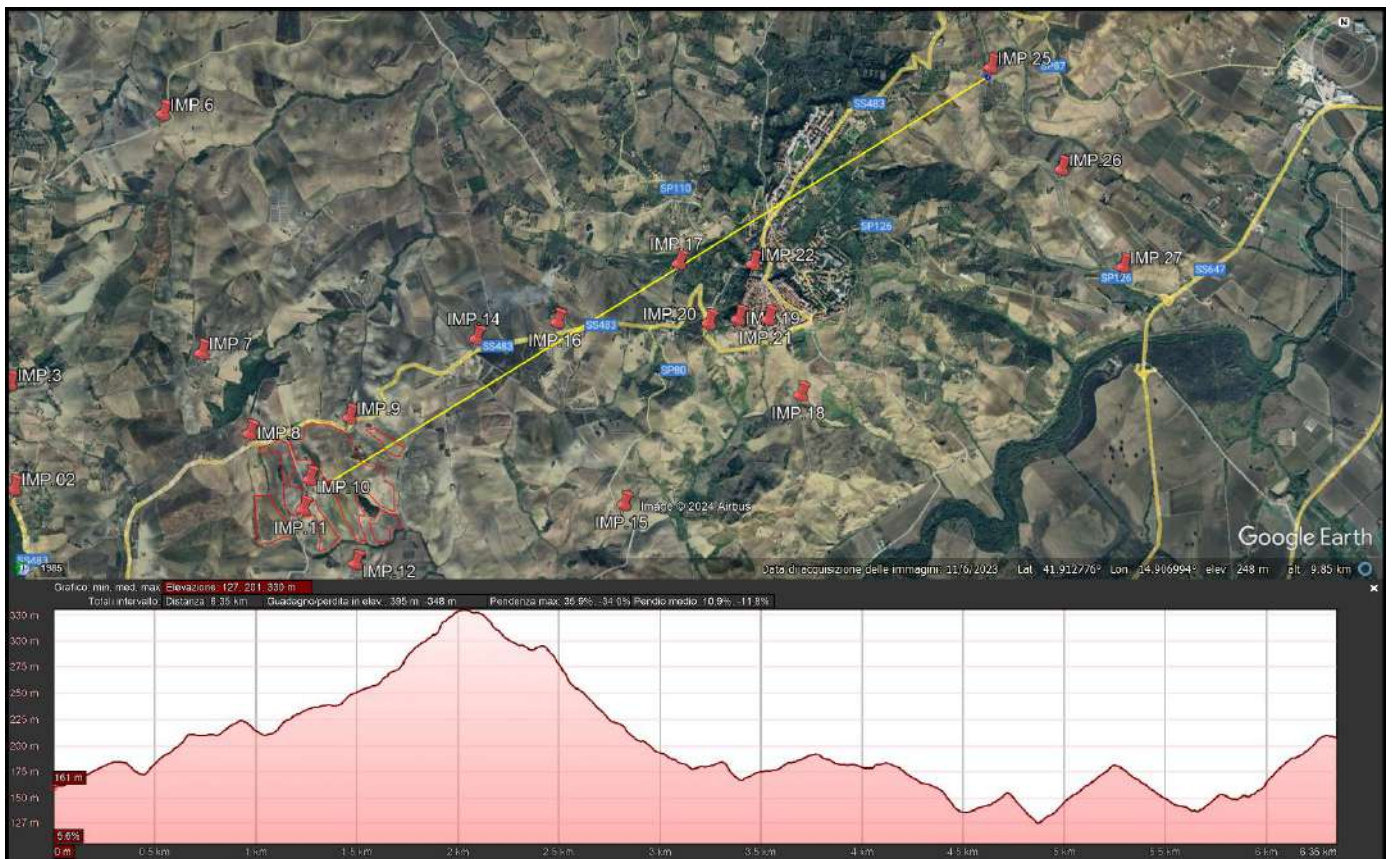


Fig. 124 Punto di presa n. 25 sezione illustrative della morfologia del terreno

PUNTI DI PRESA DELL'IMPIANTO



Fig. 125 Punto di presa n. 25 stato di fatto (Tratturo S.Andrea Biferno)



Fig. 126 Punto di presa n. 25 stato di progetto (Tratturo S.Andrea Biferno)

PUNTI DI PRESA DELL'IMPIANTO

- Punto di Presa n°26

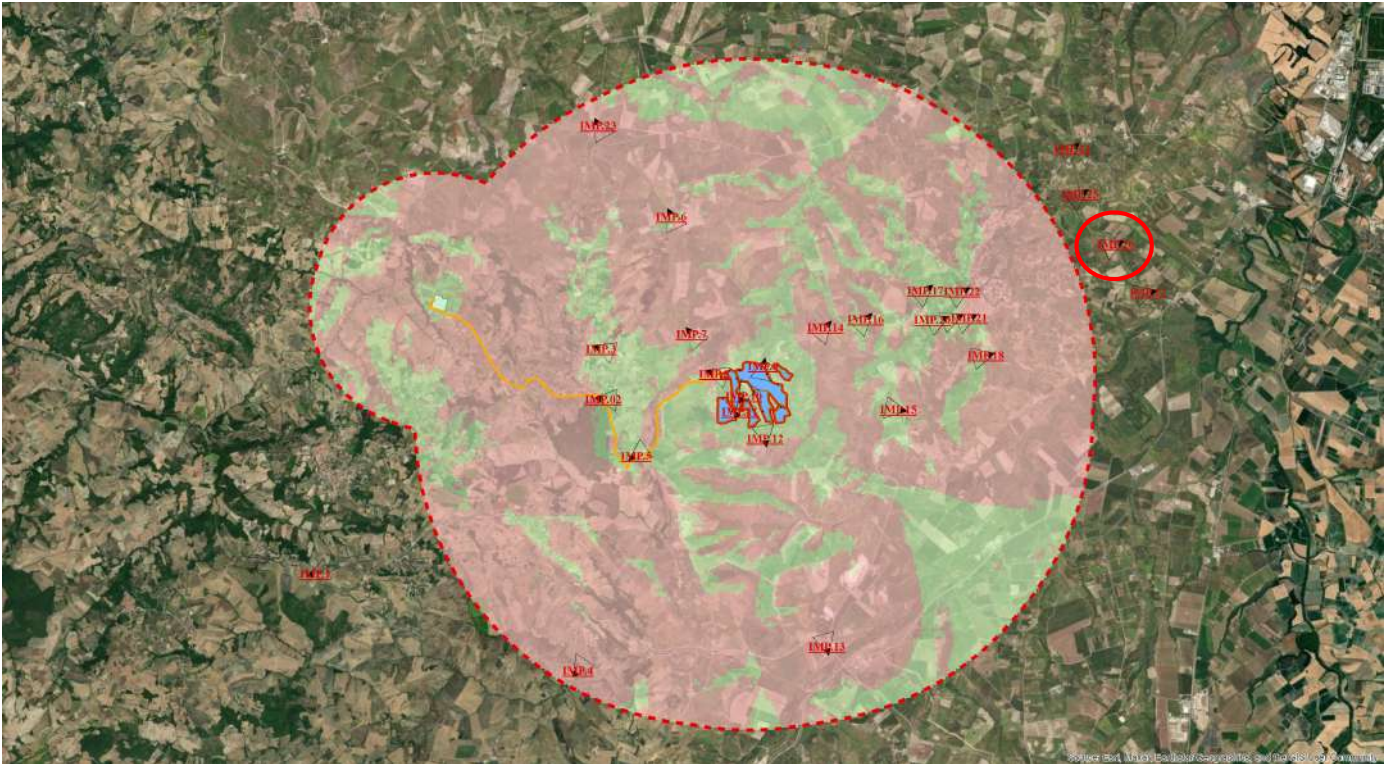


Fig. 127 Inquadramento punto di presa con cono ottico n. 26

Coordinate: 41,92107 - 14,94276

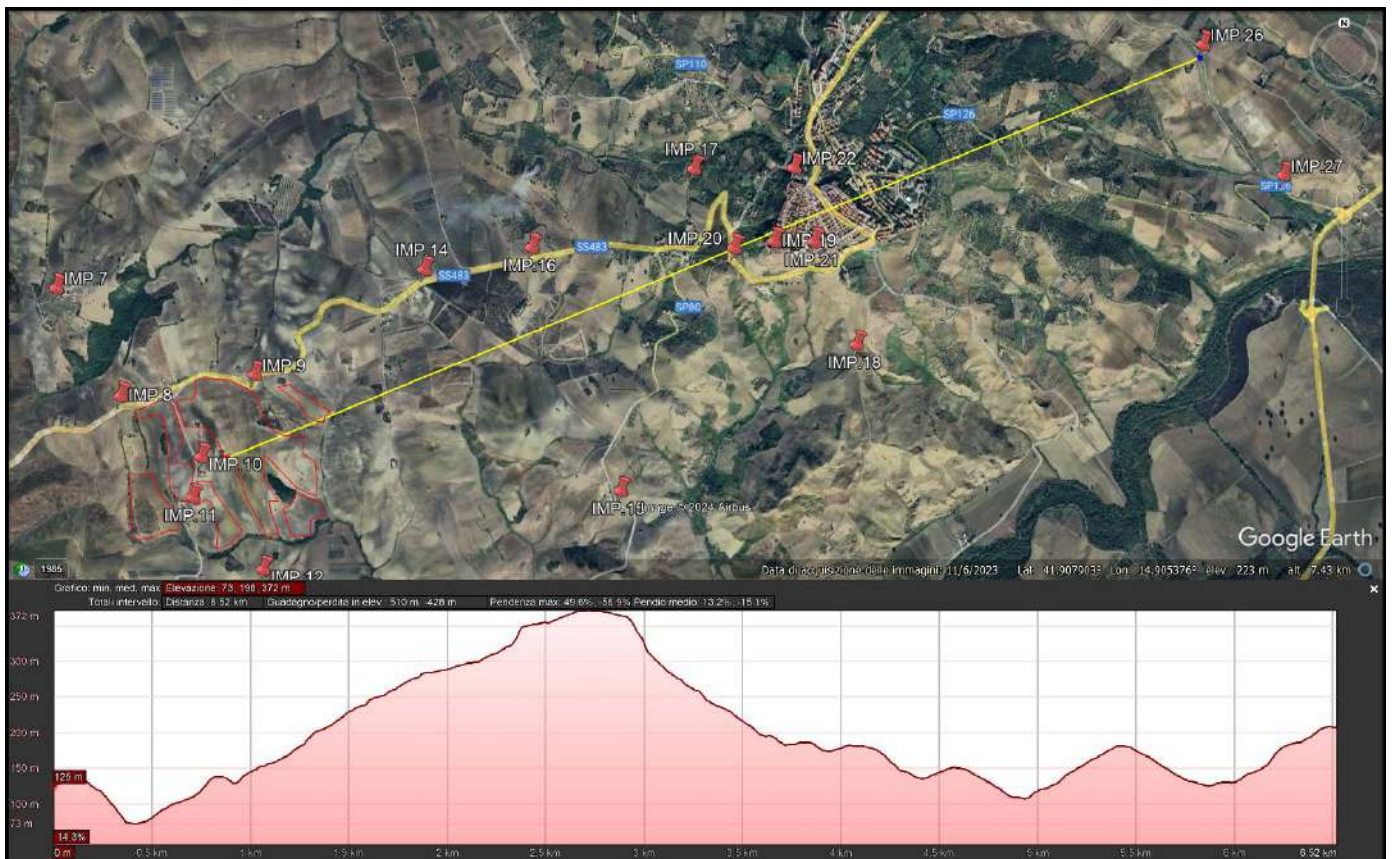


Fig. 128 Punto di presa n. 26 sezione illustrativa della morfologia del terreno

PUNTI DI PRESA DELL'IMPIANTO



Fig. 129 Punto di presa n. 26 stato di fatto (Tratturo S.Andrea Biferno)



Fig. 130 Punto di presa n. 26 stato di progetto (Tratturo S.Andrea Biferno)

PUNTI DI PRESA DELL'IMPIANTO

- Punto di Presa n°27

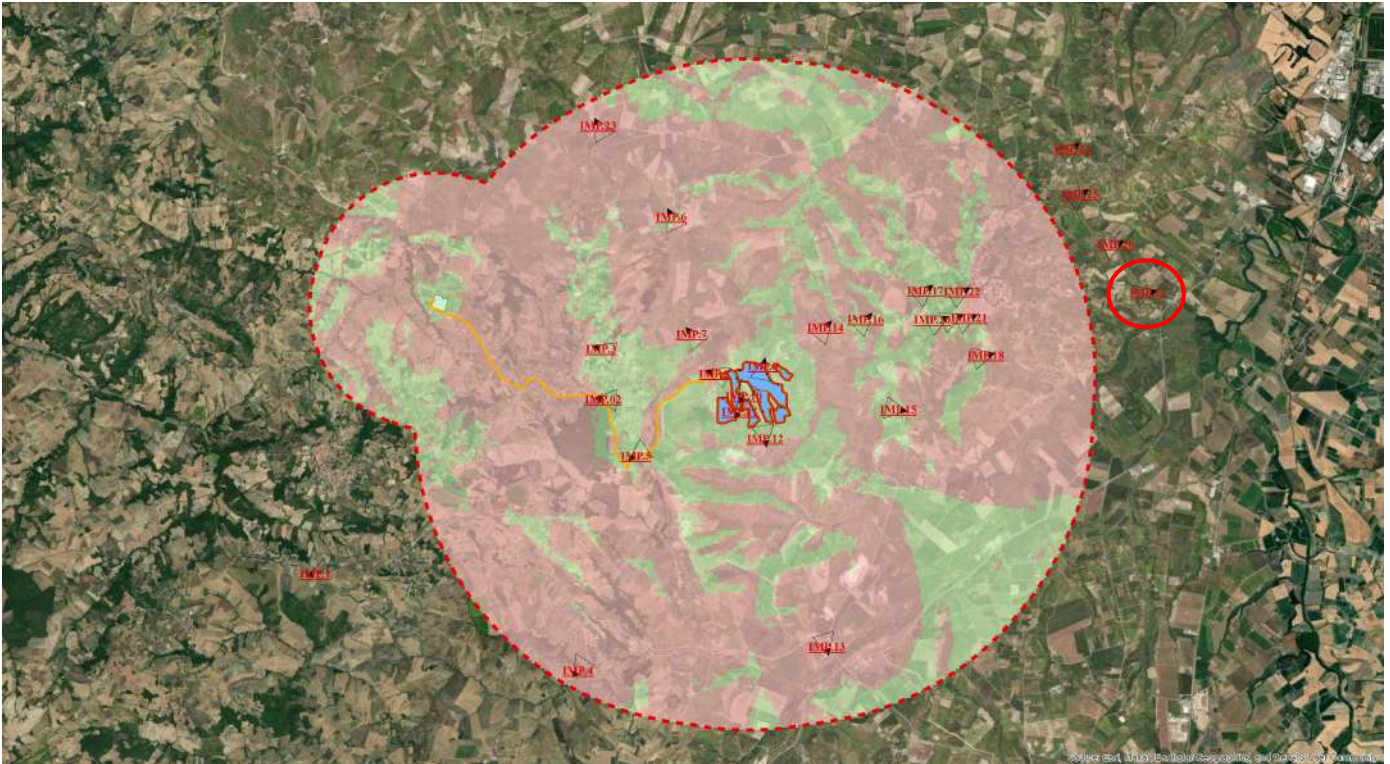


Fig. 131 Inquadramento punto di presa con cono ottico n. 27

Coordinate: 41,91392 - 14,94917

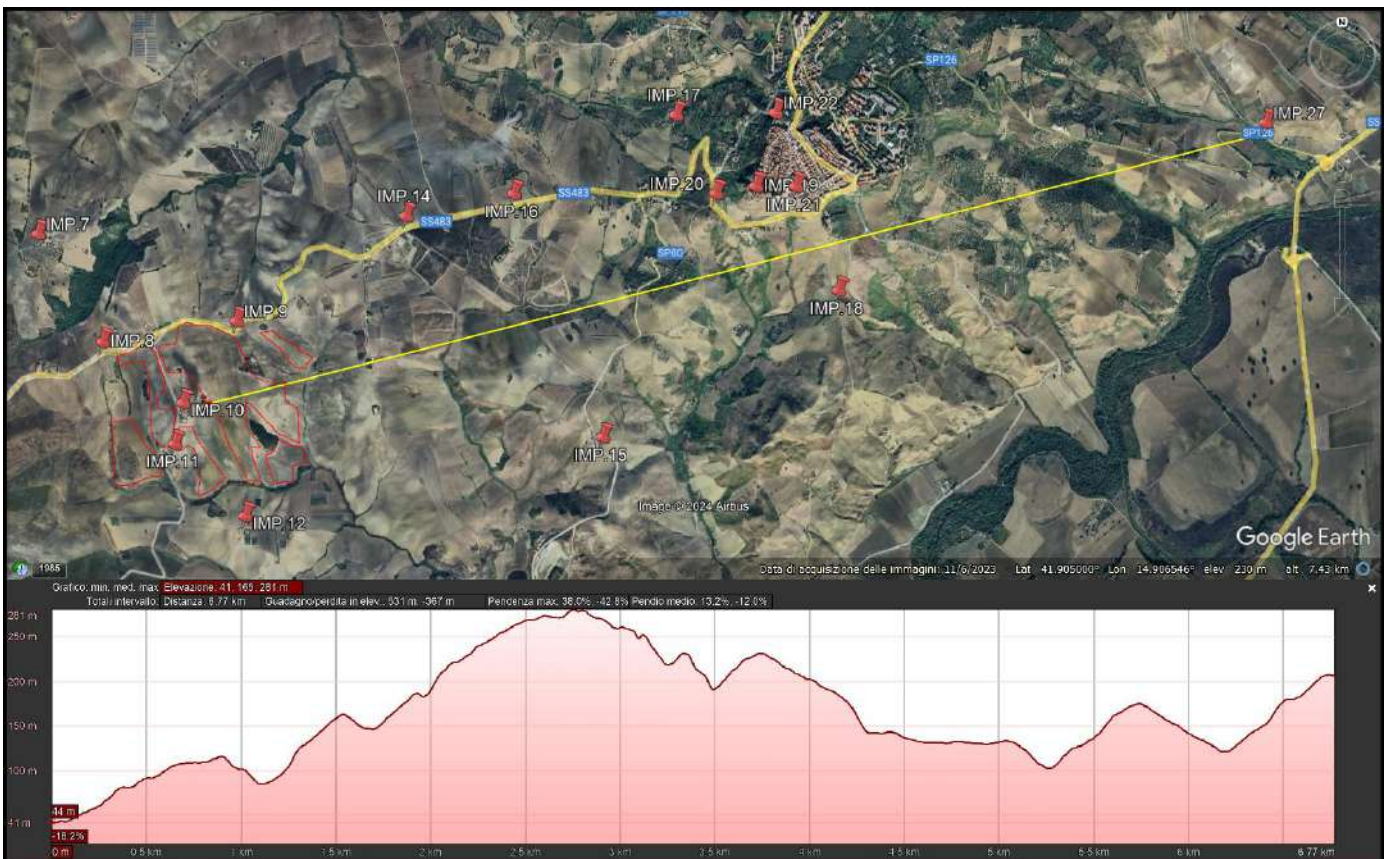


Fig. 132 Punto di presa n. 27 sezione illustrative della morfologia del terreno

PUNTI DI PRESA DELL'IMPIANTO



Fig. 133 Punto di presa n. 27 stato di fatto (Tratturo S.Andrea Biferno)



Fig. 134 Punto di presa n. 27 stato di progetto (Tratturo S.Andrea Biferno)

PUNTI DI PRESA DELLA STAZIONE

- Punto di Presa n°1

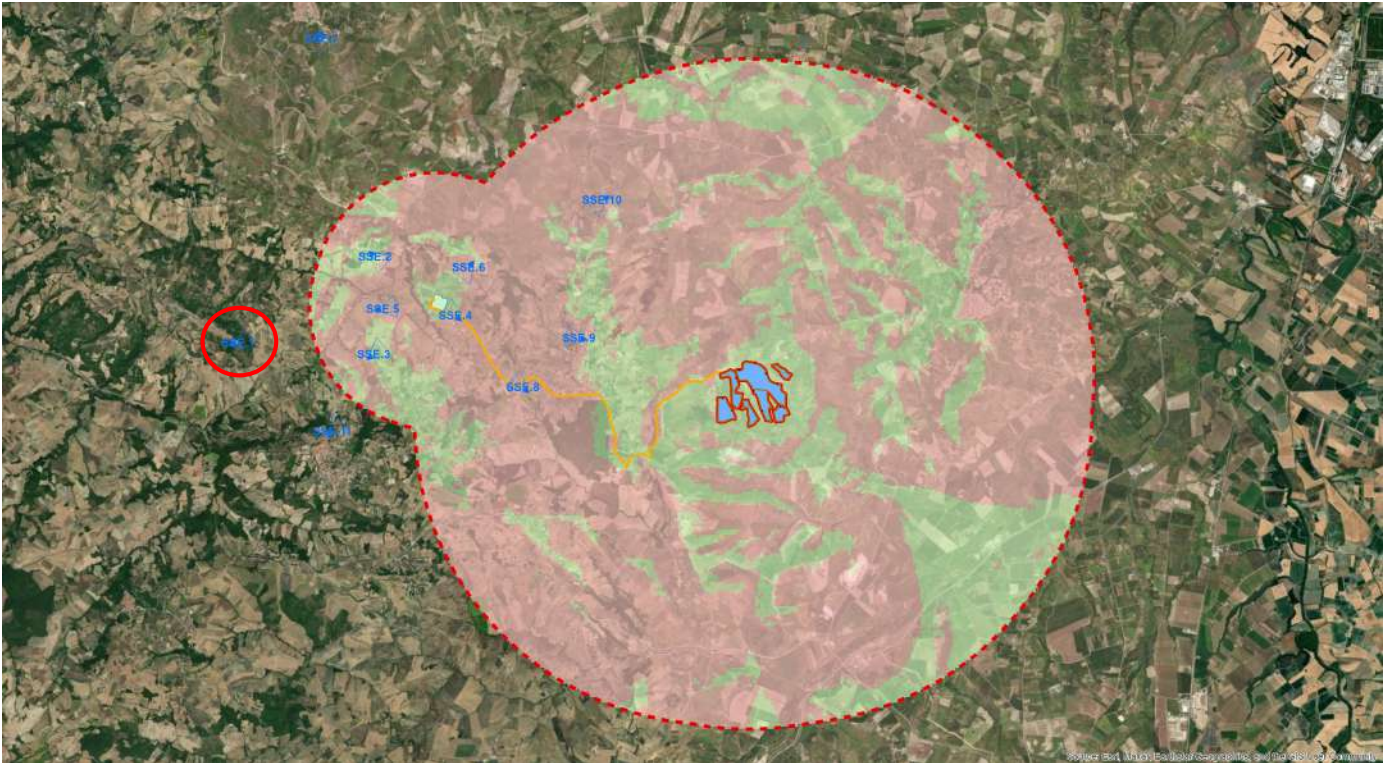


Fig. 135 Inquadramento punto di presa con cono ottico n. 1

Coordinate: 41,90614 - 14,76851

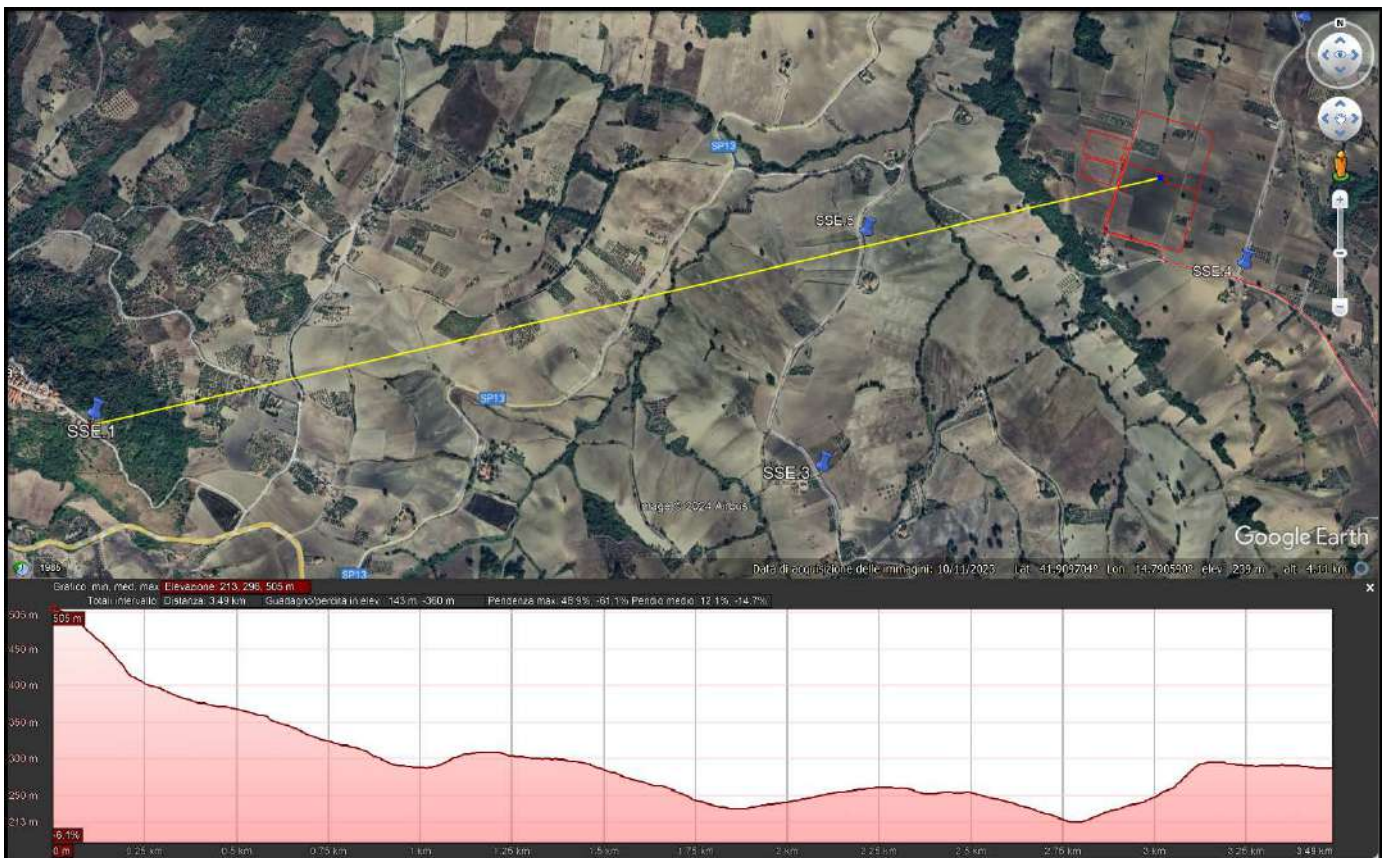


Fig. 136 Punto di presa n. 1 sezione illustrative della morfologia del terreno

PUNTI DI PRESA DELLA STAZIONE



Fig. 137 Punto di presa n. 1 stato di fatto (Punto panoramico del comune di Tavenna)



Fig. 138 Punto di presa n. 1 stato di progetto (Punto panoramico del comune di Tavenna)

PUNTI DI PRESA DELLA STAZIONE

- Punto di Presa n°2

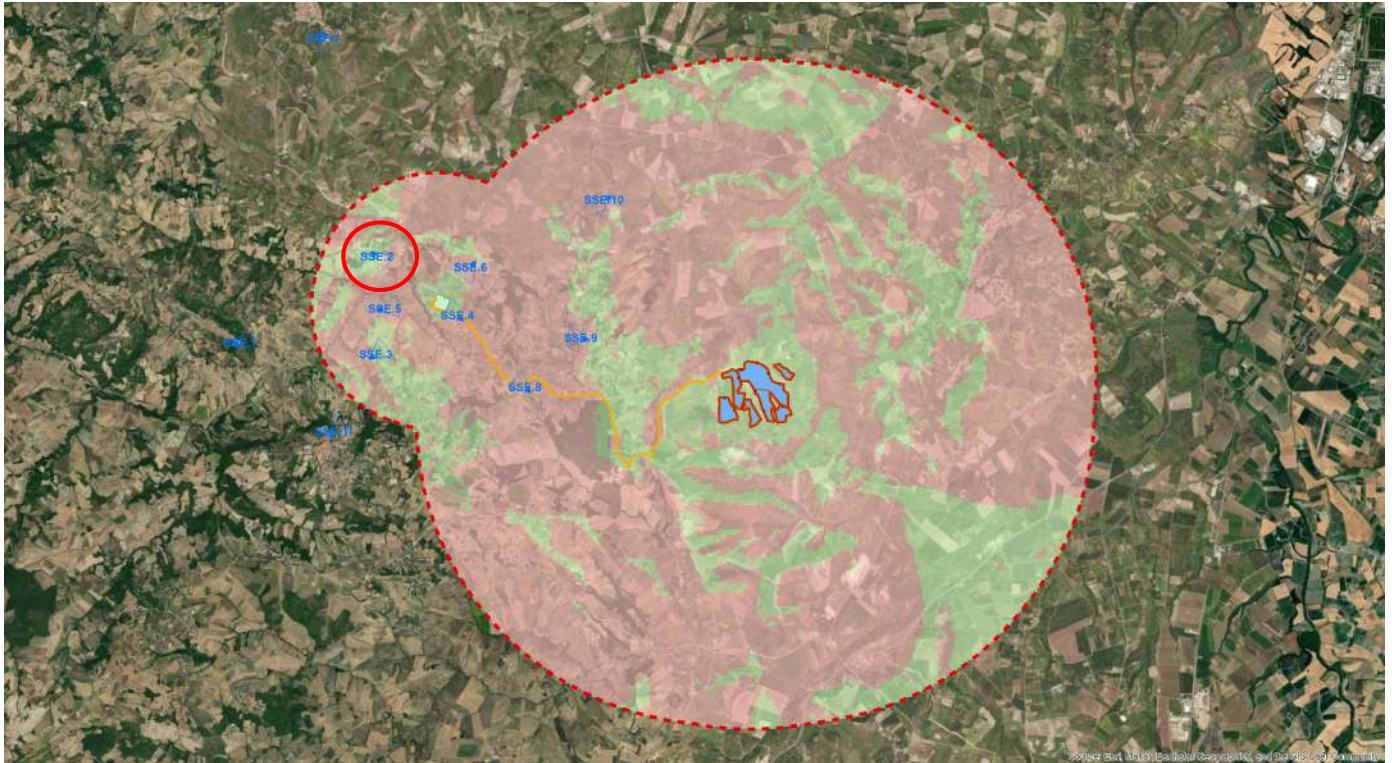


Fig. 139 Inquadramento punto di presa con cono ottico n. 2

Coordinate: 41,91899 - 14,79566



Fig. 140 Punto di presa n. 2 sezione illustrative della morfologia del terreno

PUNTI DI PRESA DELLA STAZIONE



Fig. 141 Punto di presa n. 2 stato di fatto (Località C.le Leticone)



Fig. 142 Punto di presa n. 2 stato di progetto (Località C.le Leticone)

PUNTI DI PRESA DELLA STAZIONE

- Punto di Presa n°3

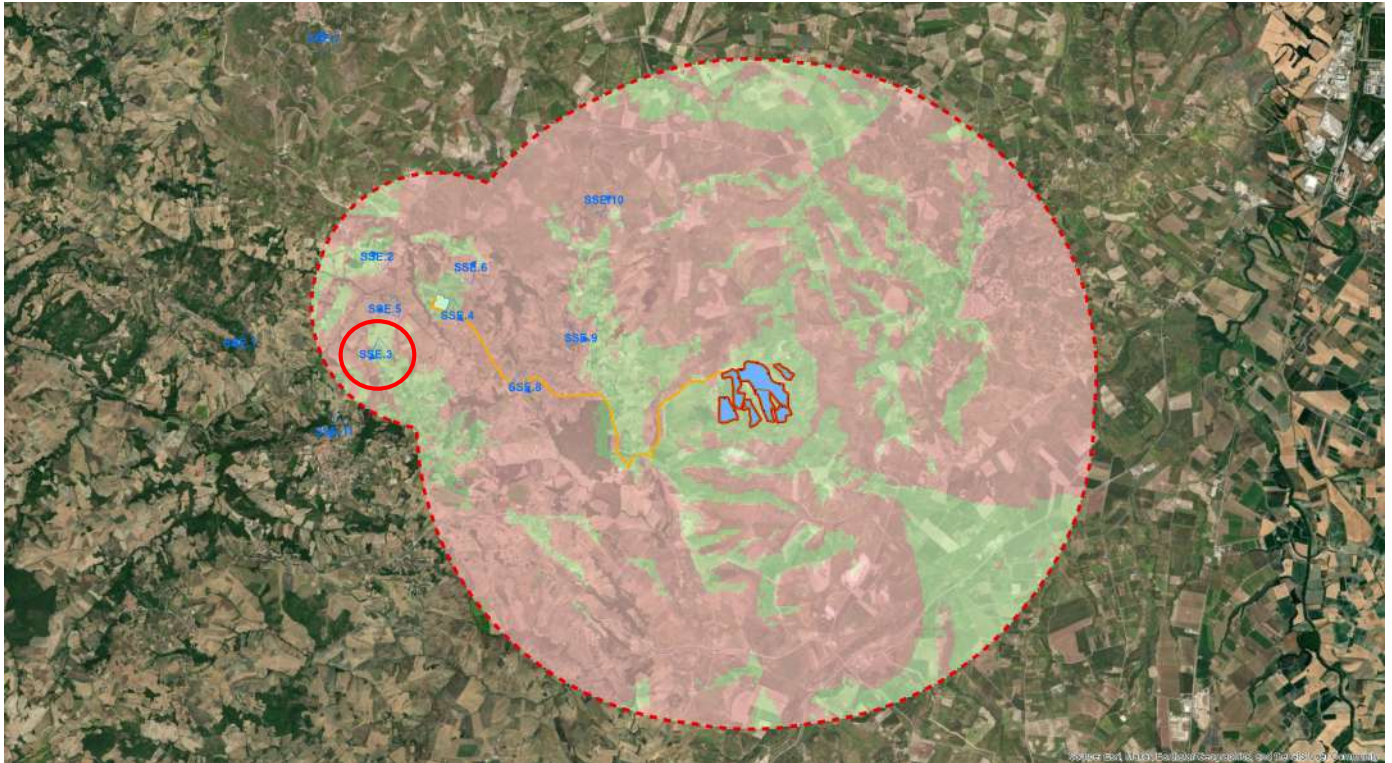


Fig. 143 Inquadramento punto di presa con cono ottico n. 3

Coordinate: 41,90445 - 14,79545

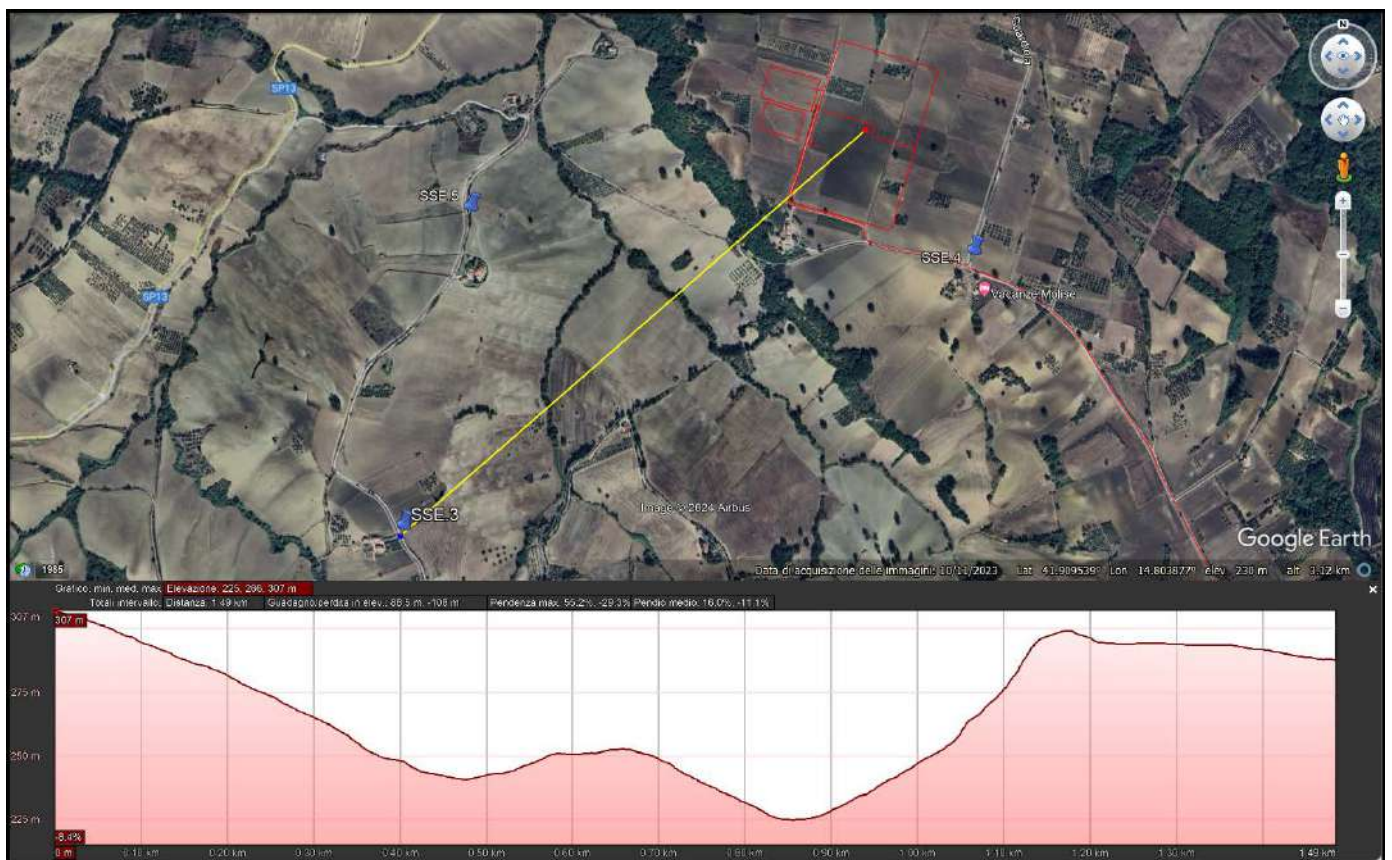


Fig. 144 Punto di presa n. 3 sezione illustrativa della morfologia del terreno

PUNTI DI PRESA DELLA STAZIONE



Fig. 145 Punto di presa n. 3 stato di fatto (Località V. di Velaco)



Fig. 146 Punto di presa n. 3 stato di progetto (Località V. di Velaco)

PUNTI DI PRESA DELLA STAZIONE

- Punto di Presa n°4

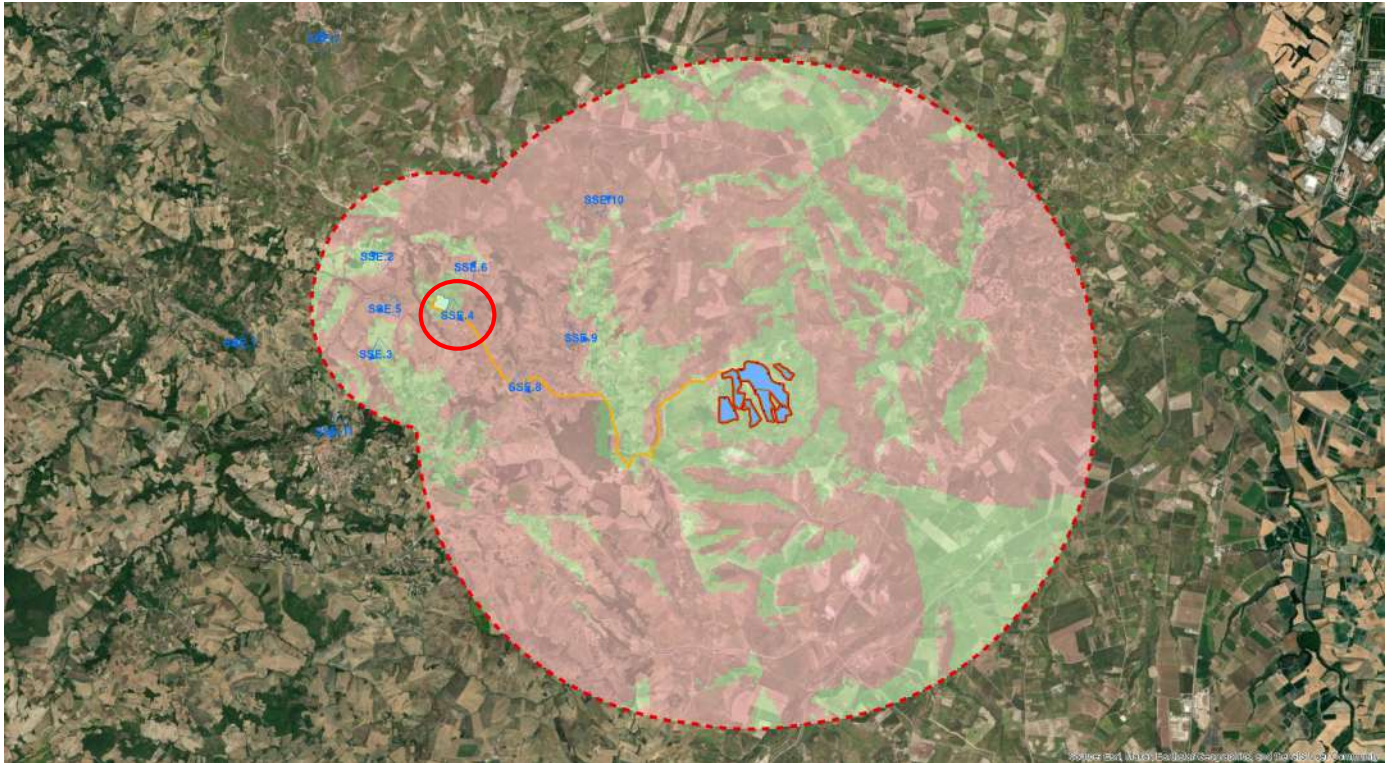


Fig. 147 Inquadramento punto di presa con cono ottico n. 4

Coordinate: 41,91027 - 14,81166



Fig. 148 Punto di presa n. 4 sezione illustrative della morfologia del terreno

PUNTI DI PRESA DELLA STAZIONE



Fig. 149 Punto di presa n. 4 stato di fatto (Strada Guardiola)



Fig. 150 Punto di presa n. 4 stato di progetto (Strada Guardiola)

PUNTI DI PRESA DELLA STAZIONE

- Punto di Presa n°5

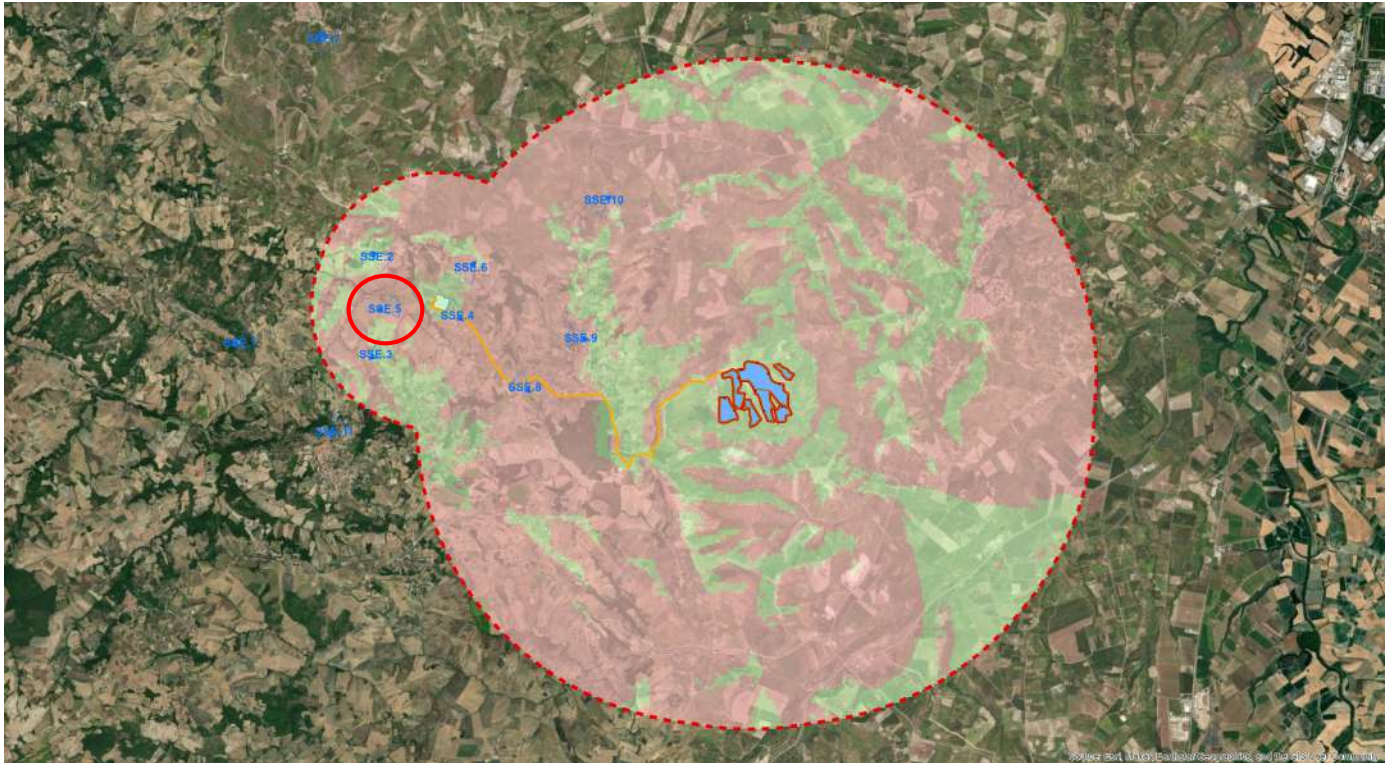


Fig. 151 Inquadramento punto di presa con cono ottico n. 5

Coordinate: 41,91124 - 14,79724



Fig. 152 Punto di presa n. 5 sezione illustrative della morfologia del terreno

PUNTI DI PRESA DELLA STAZIONE



Fig. 153 Punto di presa n. 5 stato di fatto (Località C.le Grosso)



Fig. 154 Punto di presa n. 5 stato di progetto (Località C.le Grosso)

PUNTI DI PRESA DELLA STAZIONE

- Punto di Presa n°6

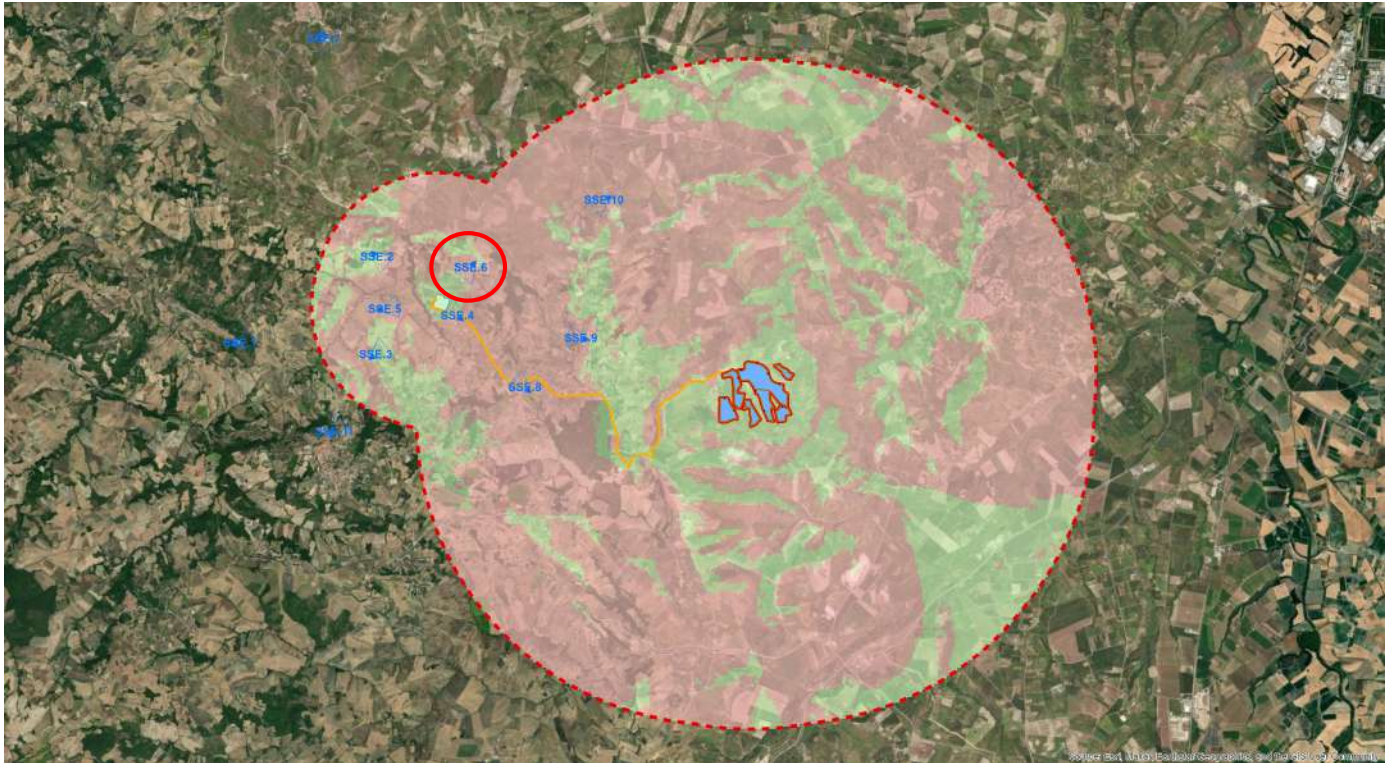


Fig. 155 Inquadramento punto di presa con cono ottico n. 6

Coordinate: 41,91743 - 14,81430



Fig. 156 Punto di presa n. 6 sezione illustrative della morfologia del terreno

PUNTI DI PRESA DELLA STAZIONE



Fig. 157 Punto di presa n. 6 stato di fatto (Strada Guardiola)



Fig. 158 Punto di presa n. 6 stato di progetto (Strada Guardiola)

PUNTI DI PRESA DELLA STAZIONE

- Punto di Presa n°7

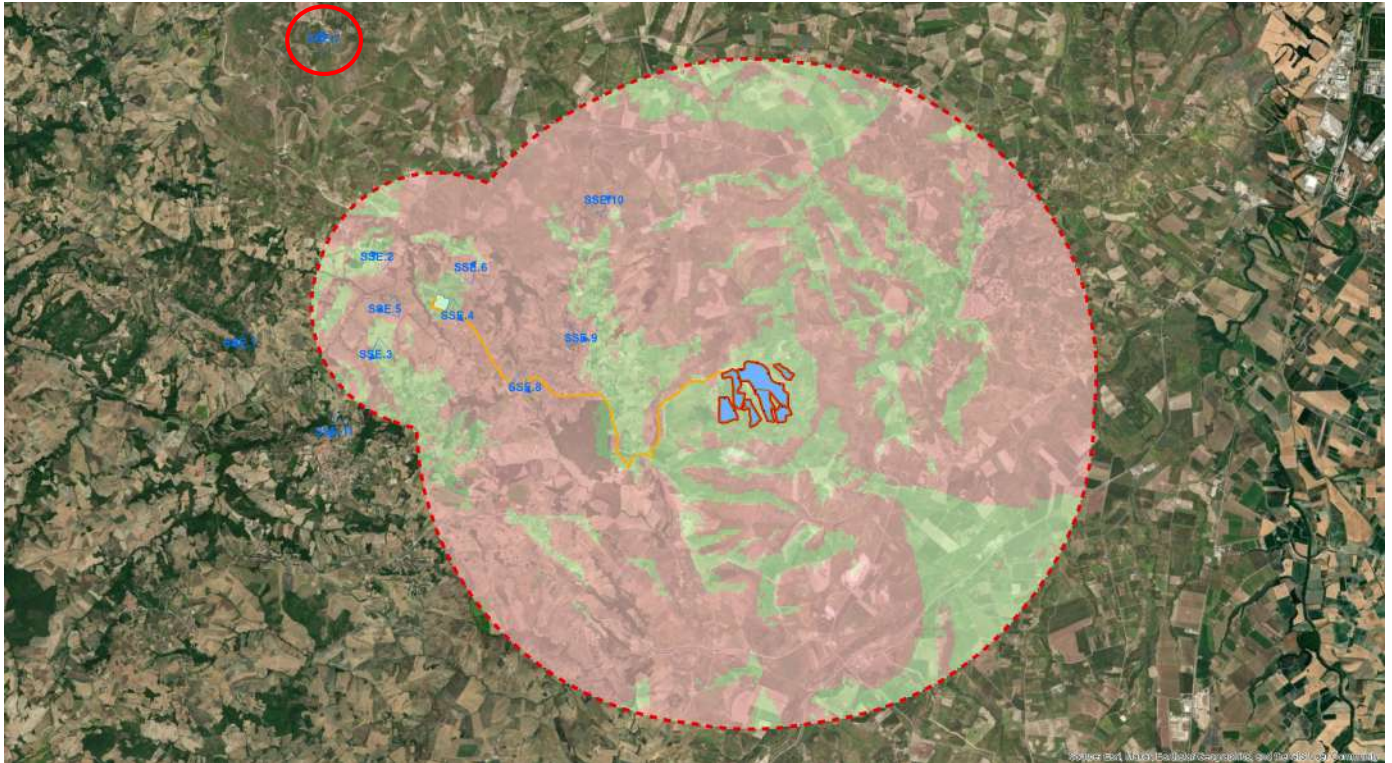


Fig. 159 Inquadramento punto di presa con cono ottico n. 7

Coordinate: 41,95138 - 14,78498

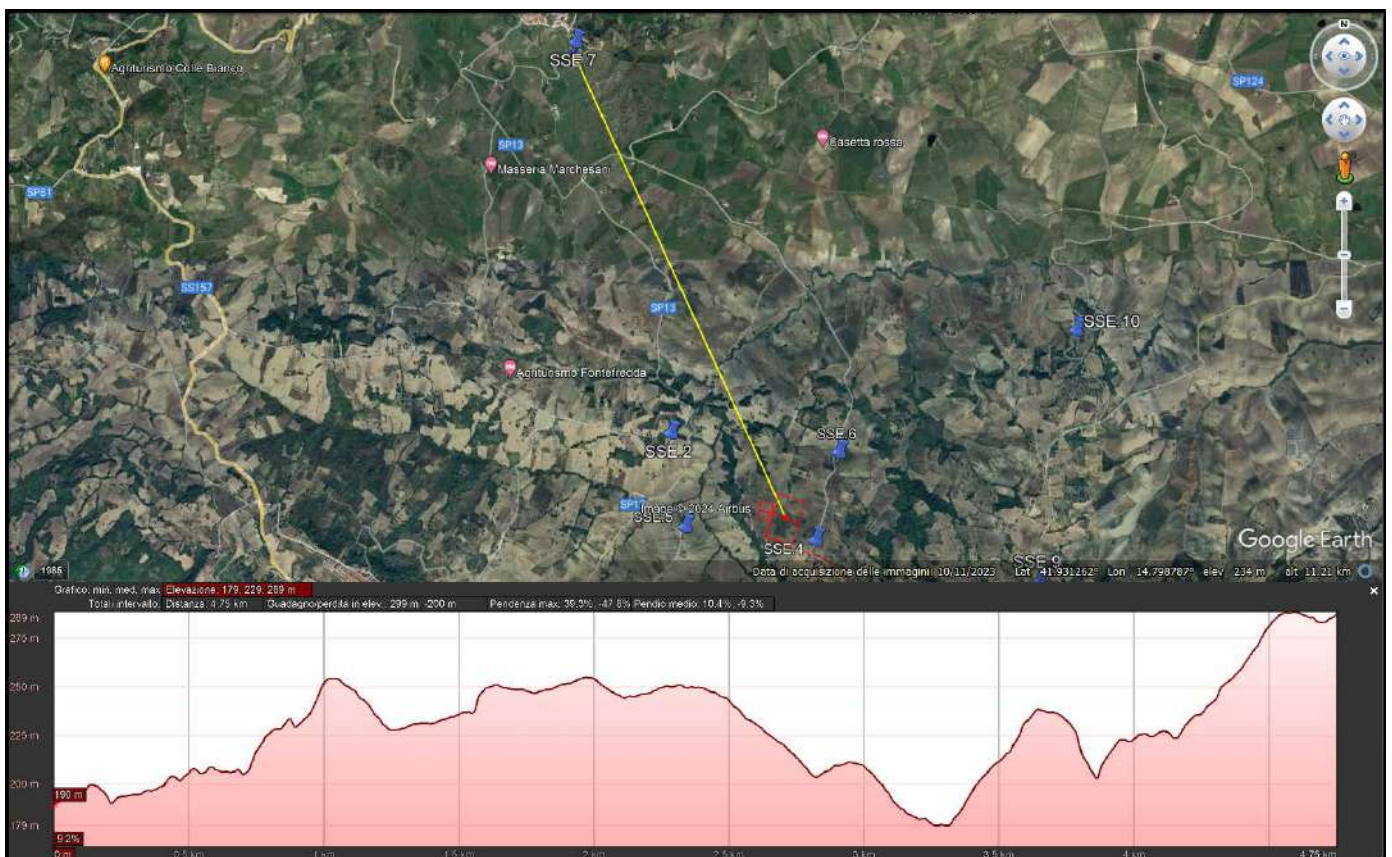


Fig. 160 Punto di presa n. 7 sezione illustrative della morfologia del terreno

PUNTI DI PRESA DELLA STAZIONE



Fig. 161 Punto di presa n. 7 stato di fatto (Strada Provinciale 13)



Fig. 162 Punto di presa n. 7 stato di progetto (Strada Provinciale 13)

PUNTI DI PRESA DELLA STAZIONE

- Punto di Presa n°8

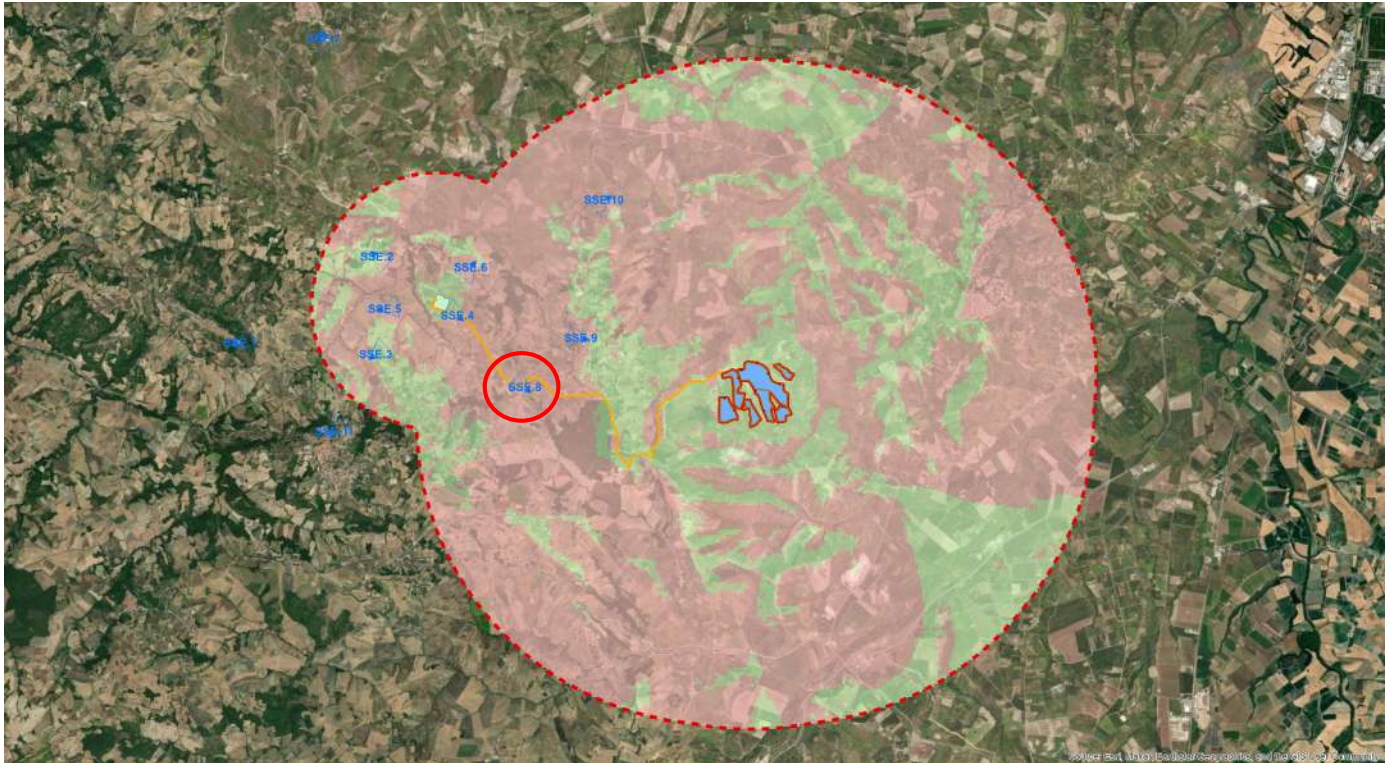


Fig. 163 Inquadramento punto di presa con cono ottico n. 8

Coordinate: 41,89965 - 14,82513



Fig. 164 Punto di presa n. 8 sezione illustrative della morfologia del terreno

PUNTI DI PRESA DELLA STAZIONE



Fig. 165 Punto di presa n. 8 stato di fatto (Strada Statale n°483 ora SP-Termolese)



Fig. 166 Punto di presa n. 8 stato di progetto (Strada Statale n°483 ora SP-Termolese)

PUNTI DI PRESA DELLA STAZIONE

- Punto di Presa n°9

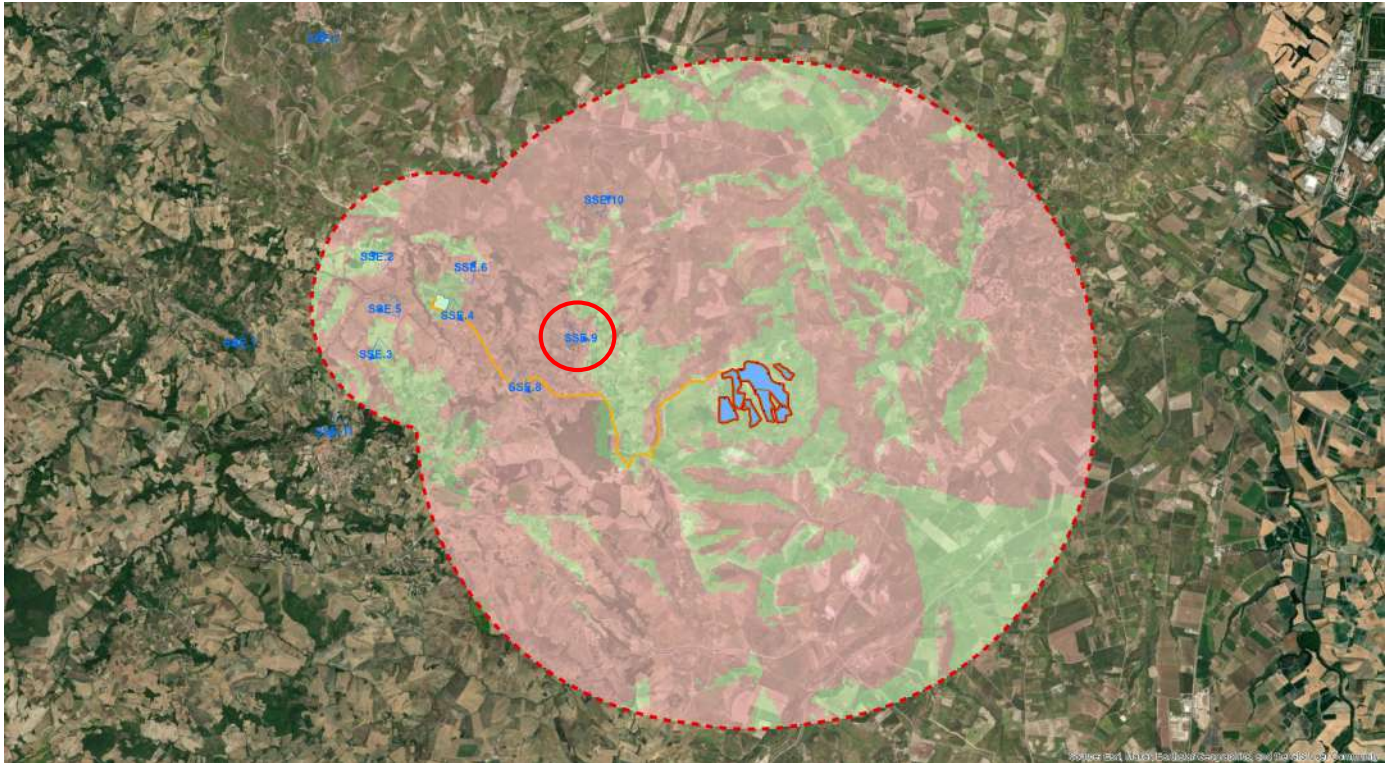


Fig. 167 Inquadramento punto di presa con cono ottico n. 9

Coordinate: 41,90696 - 14,83624



Fig. 168 Punto di presa n. 9 sezione illustrative della morfologia del terreno

PUNTI DI PRESA DELLA STAZIONE



Fig. 169 Punto di presa n. 9 stato di fatto (Punto panoramico del comune di Montecilfone)



Fig. 170 Punto di presa n. 9 stato di progetto (Punto panoramico del comune di Montecilfone)

PUNTI DI PRESA DELLA STAZIONE

- Punto di Presa n°10

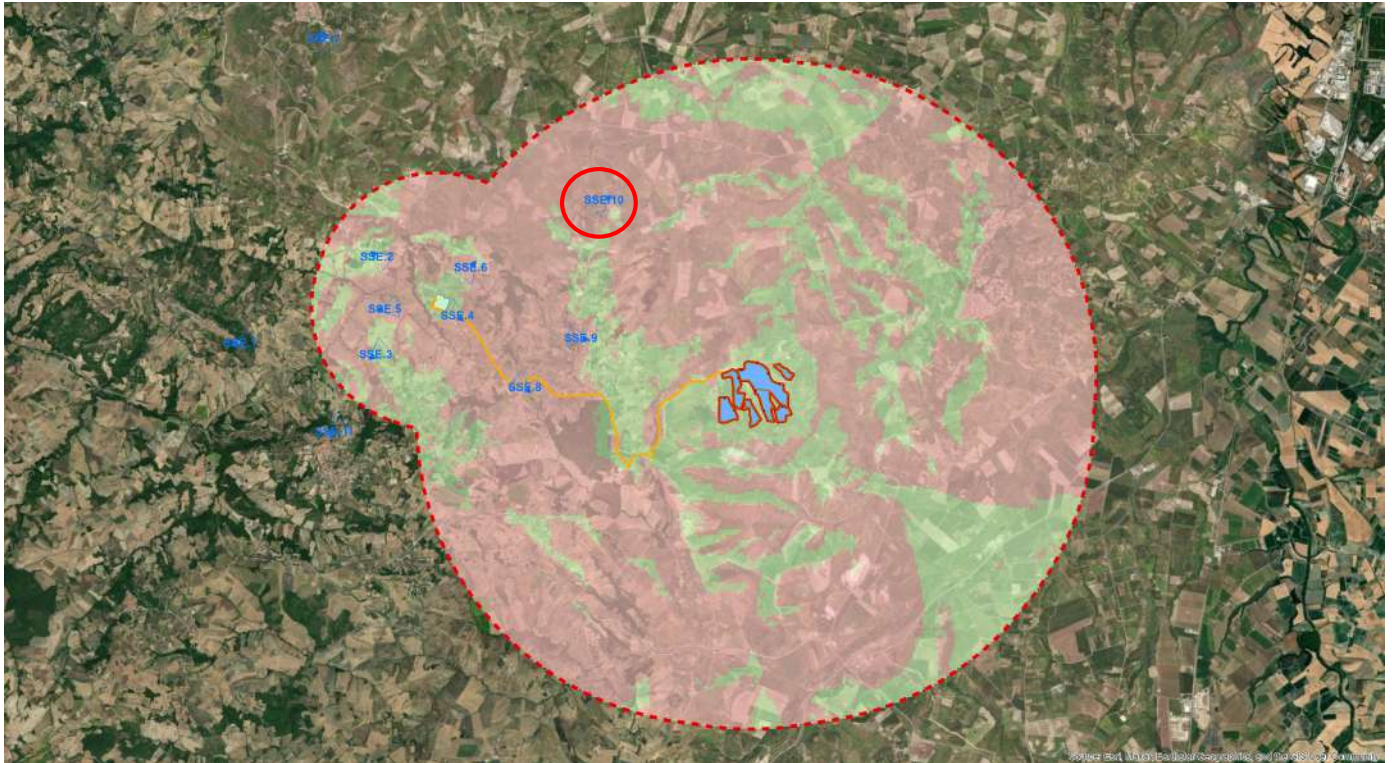


Fig. 171 Inquadramento punto di presa con cono ottico n. 10

Coordinate: 41,92747 - 14,84076

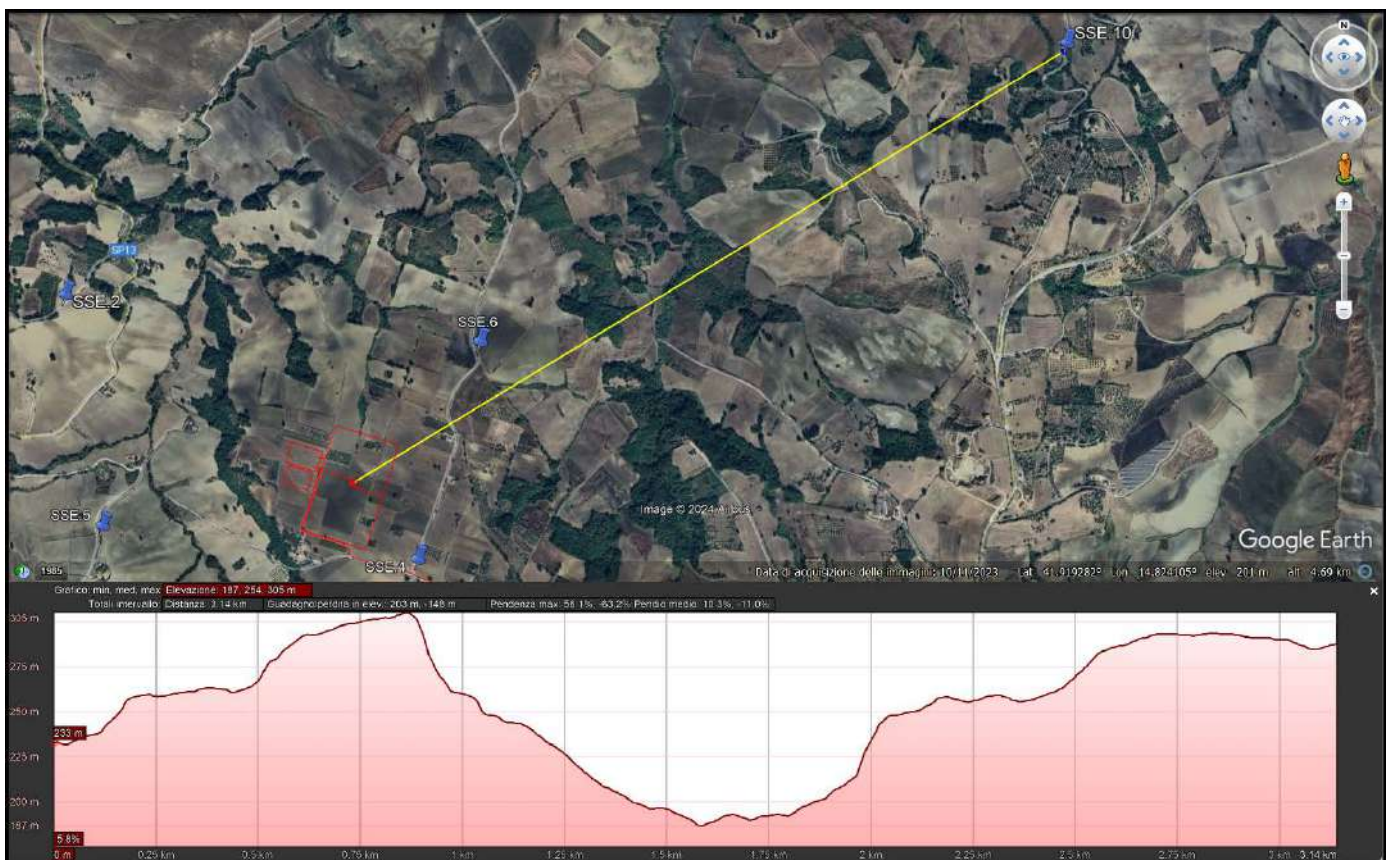


Fig. 172 Punto di presa n. 10 sezione illustrative della morfologia del terreno

PUNTI DI PRESA DELLA STAZIONE



Fig. 173 Punto di presa n. 10 stato di fatto (Tratturo Centurelle - Montesecco)



Fig. 174 Punto di presa n. 10 stato di progetto (Tratturo Centurelle - Montesecco)

PUNTI DI PRESA DELLA STAZIONE

- Punto di Presa n°11

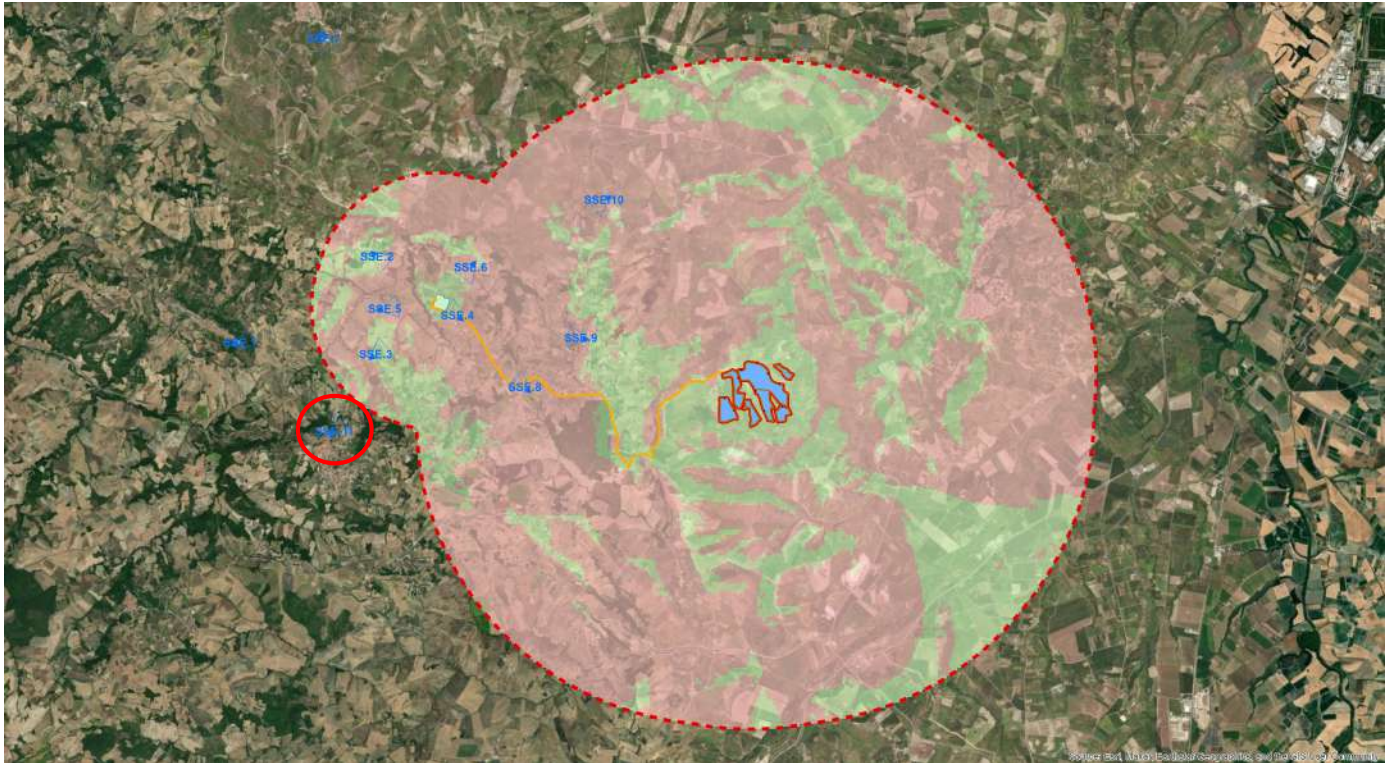


Fig. 175 Inquadramento punto di presa con cono ottico n. 11

Coordinate: 41,89299 - 14,78739

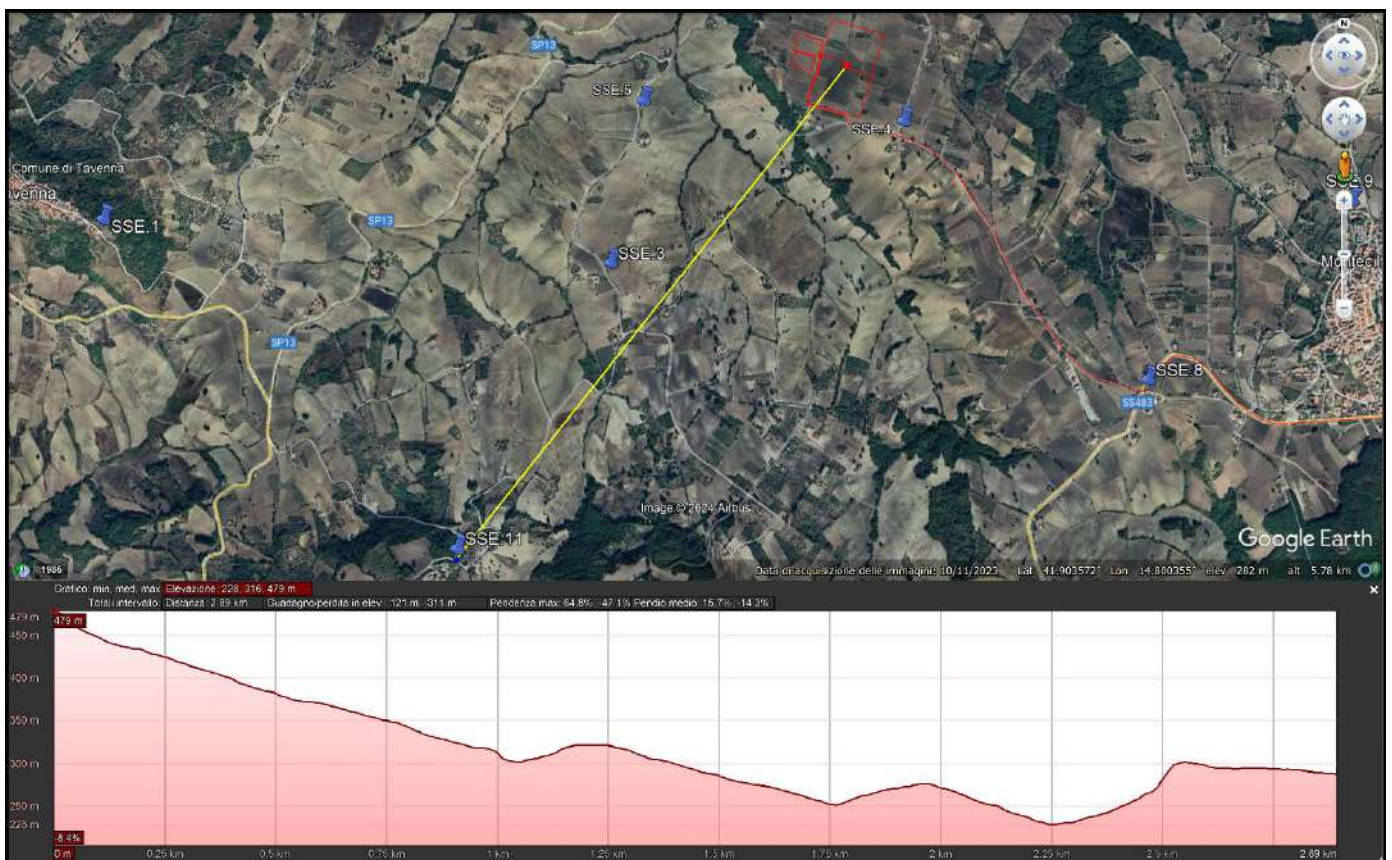


Fig. 176 Punto di presa n. 11 sezione illustrative della morfologia del terreno

PUNTI DI PRESA DELLA STAZIONE



Fig. 177 Punto di presa n. 11 stato di fatto (Punto panoramico del comune di Tavenna)



Fig. 178 Punto di presa n. 11 stato di progetto (Punto panoramico del comune di Tavenna)